

1 POLITECNICO DI TORINO

2 Corso di Laurea Magistrale
3 in Ingegneria Matematica

4 Tesi di Laurea Magistrale

5 **Modellizzazione della dinamica di orientazione**
6 **di cellule sotto sforzo**



8 **Relatori**

Prof. Luigi Preziosi
Prof. Alfio Grillo
Dott. Salvatore Di Stefano

Candidato
Pierluigi Rizza

9 Anno Accademico 2020-2021

Alla mia famiglia

12 **Sommario**

13 L'obiettivo della tesi è quello di fornire un modello matematico nel contesto dell'elasticità
14 non-lineare per studiare la risposta attiva delle cellule biologiche disposte al di sopra
15 o all'interno di un substrato: evidenze sperimentali hanno permesso di mostrare che le
16 cellule rispondono attivamente agli stimoli meccanici cui sono sottoposte per raggiungere
17 una orientazione ben definita come conseguenza di un processo di rimodellamento. In
18 particolare, il seguente lavoro si propone di fornire una rilettura dei dati sperimentali e
19 di evidenziare l'importanza concettuale tanto delle variabili costitutive quanto di quelle
20 configurazionali nella definizione del problema.

Indice

22	Elenco delle tabelle	7
23	Elenco delle figure	8
24	1 Presentazione del problema	11
25	1.1 Introduzione al problema e dati sperimentali	11
26	1.1.1 Osservazioni sperimentali e considerazioni statistiche	12
27	1.1.2 Rigidezza del substrato	14
28	1.2 Impostazione del lavoro	15
29	2 Nozioni preliminari di meccanica dei continui	17
30	2.1 Cinematica	17
31	2.2 Equazioni di Bilancio	21
32	2.2.1 Formulazione Euleriana	21
33	2.2.2 Formulazione Lagrangiana	22
34	2.2.3 Bilancio di energia	23
35	2.3 Relazioni termodinamiche	24
36	2.4 Principio di oggettività	25
37	2.5 Classi costitutive	26
38	2.5.1 Solido Iperelastico	26
39	2.5.2 Procedura di Coleman-Noll	26
40	2.6 Simmetria materiale	27
41	2.6.1 Materiale iperelastico isotropo	27
42	2.6.2 Materiale iperelastico trasversalmente isotropo	28
43	3 Relazioni Costitutive	31
44	3.1 Modello Neo-Hookeano quasi-incomprimibile	31
45	3.2 Modello Neo-Hookeano quasi-incomprimibile per materiali trasversalmente	
46	isotropi	32
47	4 Comportamento attivo della cellula	35
48	4.1 Equazioni di rimodellamento	35
49	4.1.1 Riflessioni termodinamiche	36
50	4.1.2 Forza di rimodellamento e configurazione target	37

51	4.2	Applicazione al caso di interesse	38
52	4.3	Analisi di stabilità dell'energia elastica	39
53	5	Simulazioni numeriche	43
54	5.1	Premesse	43
55	5.2	Struttura della sezione	44
56	5.3	Caso 0: cellula isotropa cilindrica a base circolare immersa nel substrato	44
57	5.4	Caso A: cellula anisotropa cilindrica a base circolare immersa nel substrato	48
58	5.5	Caso B: cellula anisotropa cilindrica a base ellittica immersa nel substrato	53
59	5.6	Caso C: cellula isotropa cilindrica a base ellittica immersa nel substrato	55
60	5.7	Caso D: cellula isotropa ellissoidale sopra il substrato	59
61	5.8	Caso E: cellula anisotropa ellissoidale sopra il substrato	64
62	6	Osservazioni e conclusioni	67

63 Elenco delle tabelle

64	5.1	Riassunto dei parametri adottati nelle simulazioni per il CASO 0.	45
65	5.2	Riassunto dei parametri adottati nelle simulazioni per il CASO A.	49
66	5.3	Riassunto dei parametri adottati nelle simulazioni per il CASO B.	54
67	5.4	Riassunto dei parametri adottati nelle simulazioni per il CASO C.	57
68	5.5	Riassunto dei parametri adottati nelle simulazioni per il CASO D.	60
69	5.6	Riassunto dei parametri adottati nelle simulazioni per il CASO E.	64

Elenco delle figure

71	1.1	Rappresentazione schematica di un generico set-up sperimentale [65]	13
72	1.2	Diversi tipi deformazioni del substrato: (a) trazione uni-assiale con vinco-	
73		lo <i>carrello</i> sui bordi laterali, (b) deformazione puramente uni-assiale, (c)	
74		allungamento uni-assiale, (d) deformazione bi-assiale.	14
75	1.3	Frequenza dei dati sperimentali in funzione dell'angolo $\Theta \in [-\frac{\pi}{2}, \frac{\pi}{2}]$. In blu	
76		si rappresentano i dati per $\Theta \in [-\pi/2, \pi/2]$, in giallo si rappresentano i	
77		dati riportandoli sull'intervallo $[0, \pi/2]$ [64].	14
78	1.4	(In alto) Evoluzione temporale dell'angolo di orientazione delle cellule [44].	
79		(In basso a sinistra) Distribuzione finale di orientazione cellulare a diverse	
80		frequenze a parità di deformazione [67]. (In basso a destra) Distribuzione	
81		finale di orientazione cellulare a parità di frequenza di deformazione, per	
82		diverse deformazioni massime [67].	15
83	4.1	Schematizzazione del problema bidimensionale. Con M si indica la dire-	
84		zione (nel primo quadrante) della cellula rispetto al sistema in cui gli assi	
85		x, y sono dirette secondo la direzione principale delle deformazioni [66]. . .	39
86	5.1	Cellula isotropa cilindrica a base circolare immersa nel substrato.	45
87	5.2	CASO 0, distribuzione superficiale (SUP. SUPERIORE) della componente u	
88		del campo di spostamento (a: $u_0 = 0$, b: $u_0 = 0.025$, c: $u_0 = 0.05$), fattore	
89		di scala unitario.	46
90	5.3	Cellula isotropa cilindrica a base circolare immersa nel substrato, anda-	
91		mento di $\bar{\sigma}_{xx}$ al variare di ε_{xx} , per diversi valori di $2r/l_{\text{sub}}$, nel caso di un	
92		substrato morbido $\mu_{\text{sub}} = \mu_{\text{cell}}/2$	47
93	5.4	Fitting lineare per l'andamento di E_{eq} in funzione della frazione di area,	
94		$E_{\text{eq}} = \beta E_{\text{cell}} \frac{A_{\text{cell}}}{A_{\text{tot}}} + E_{\text{sub}} \left(1 - \frac{A_{\text{cell}}}{A_{\text{tot}}}\right)$, con $\beta \approx 1.1$ per $E_{\text{cell}} \approx 24$ kPa, $E_{\text{sub}} 12$	
95		kPa.	48
96	5.5	Cellula anisotropa cilindrica a base circolare immersa nel substrato aniso-	
97		tropo.	49
98	5.6	A sinistra: densità di energia media della cellula e del substrato. A destra:	
99		densità di energia omogeneizzata equivalente ψ_{eq} . Si considera $2r/l_{\text{sub}} = 0.4$	
100		e per il substrato un modulo di taglio doppio rispetto a quello della cellula	
101		$\mu_{\text{sub}} = 2\mu_{\text{cell}}$	51

102	5.7	Densità media di energia della cellula anisotropa (in alto a sinistra) e del substrato isotropo (in alto a destra), per diversi valori di $2r/l_{\text{sub}}$. Densità di energia omogeneizzata equivalente ψ_{eq} (in basso). Il substrato ha modulo di taglio pari alla metà di quello del substrato.	51
103			
104			
105			
106	5.8	Cellula anisotropa a base circolare. Si rappresenta la distribuzione spaziale della componente v del campo di spostamento sulla SUP. SUPERIORE al variare dell'orientazione delle fibre per: in alto, il caso di substrato rigido $\mu_{\text{sub}} = 2\mu_{\text{cell}}$; in basso, il caso di substrato morbido $\mu_{\text{sub}} = \mu_{\text{cell}}/2$. Si osserva come il substrato morbido risenta maggiormente della presenza della cellula che perturba in maniera più significativa il campo di spostamento e che induce effetti di curvatura sul BORDO 2 e BORDO 4. Stesso fattore di scala per tutti i risultati.	52
107			
108			
109			
110			
111			
112			
113			
114	5.9	Cellula anisotropa a base circolare. A sinistra: primo invariante di Cauchy-Green I1 medio per cellula e substrato al variare dell'angolo di orientazione delle fibre. A destra: secondo invariante di Cauchy-Green I2 medio per cellula e substrato al variare dell'angolo di orientazione delle fibre. Per entrambe i casi, si considera $2r/l_{\text{sub}} = 0.4$ e substrato morbido.	52
115			
116			
117			
118			
119	5.10	Cellula anisotropa cilindrica a base ellittica immersa nel substrato.	53
120	5.11	(Colonna a sinistra) Densità di energia media della cellula anisotropa ellittica e del substrato isotropo nel caso di $\mu_{\text{sub}} = \mu_{\text{cell}}/2$ (in alto a sinistra) e di $\mu_{\text{sub}} = 2\mu_{\text{cell}}$ (in basso a sinistra). (Colonna a destra) Densità di energia omogeneizzata equivalente ψ_{eq} , nel caso di $\mu_{\text{sub}} = \mu_{\text{cell}}/2$ (in alto a destra) e di $\mu_{\text{sub}} = 2\mu_{\text{cell}}$ (in basso a destra).	55
121			
122			
123			
124			
125	5.12	Cellula isotropa cilindrica a base ellittica immersa nel substrato isotropo.	56
126	5.13	Distribuzione superficiale (SUPERFICIE SUPERIORE) della componente u del campo di spostamento per $u_0 = \{0, 0.025, 0.05\}$ rispettivamente per la colonna di sinistra, di centro e di destra. Le immagini a, b, c si riferiscono a una orientazione iniziale nel piano dell'ellisse di 0° rispetto all'asse x ; per le immagini d, e, f l'orientazione iniziale è di 45° ; per le immagini g, h, i l'orientazione iniziale della cellula è di 90° . $2a/l_{\text{sub}} = 0.3$, $a/b = 2$ per tutte le figure. Fattore di scala unitario.	57
127			
128			
129			
130			
131			
132			
133	5.14	Distribuzione superficiale (SUP. SUPERIORE) della componente u del campo di spostamenti per $u_0 = 0.125$. La cellula è disposta a 45° rispetto all'orizzontale. Si osserva come la variazione di orientazione della cellula sia solo l'azione passiva di deformazione del complesso cellula-substrato	58
134			
135			
136			
137	5.15	A sinistra: densità media di energia della cellula isotropa e del substrato isotropo al variare dell'angolo che denota la configurazione della cellula nel substrato. A destra: densità media equivalente di energia ψ_{eq} in (5.42) rappresentata in funzione dell'angolo di orientazione della cellula. I risultati sono riportati per diversi rapporti $2a/l_{\text{sub}}$. Si osserva un minimo localizzato intorno a valori dell'angolo di orientazione tra 55° - 60°	58
138			
139			
140			
141			
142			
143	5.16	Cellula ellissoidale al di sopra del substrato, geometria per il CASO D e CASO E.	60
144			

145	5.17	Andamento della componente u del vettore spostamento sulla SUPERFICIE SUPERIORE* per: a $u_0 = 0$; b: $u_0 = 0.025$; c: $u_0 = 0.05$. Fattore di scala unitario.	61
146			
147	5.18	Definizione del piano di taglio (piano rosso) e della linea di taglio (linea tratteggiata) per i grafici in Fig.5.19.	62
148			
149	5.19	Componente u del campo di spostamento per i punti nell'intervallo $[l_{\text{sub}}/2, l_{\text{sub}}]$ della linea di taglio definita per piani di taglio disposti a specifiche altezze ($h = \{0.5h_{\text{sub}}, 0.8h_{\text{sub}}, h_{\text{sub}}\}$), come mostrato in Fig.5.18. $u_0 = 0.05$, ellissoide con $c = a/2 = b/2$	62
150			
151	5.20	E_{eq} in funzione della frazione di superficie $\hat{A}_{\text{cell}}/A_{\text{sub}}$ per diversi valori del semiasse verticale c con $\beta_{r/3} = 0.68$, $\beta_{r/2} = 0.70$, $\beta_r = 0.73$	63
152			
153	5.21	Densità di energia della cellula anisotropa al di sopra del substrato isotropo per diverse dimensioni dell'ellissoide, spostamento prescritto $u_0 = 0.05$	65
154			
155	5.22	Densità di energia omogeneizzata equivalente ψ_{eq} per una cellula anisotropa ellissoidale $c = a/2$ al di sopra del substrato isotropo, per $u_0 = 0.05$	66
156			
157			
158			
159			

Capitolo 1

Presentazione del problema

1.1 Introduzione al problema e dati sperimentali

Negli anni 80', le ricerche sulle malattie cardiovascolari hanno reso necessario lo studio del comportamento delle cellule sottoposte a uno sforzo ciclico, dovuto alla periodica pulsazione del cuore e delle arterie. Nel 1980 Buck [10, 11] ha studiato il problema in vitro, considerando cellule disposte sopra un substrato elastico sottoposto a uno spostamento imposto ciclico. Analogamente, [95] adoperando dei fibroblasti è stato documentato che circa l'81% delle cellule si orientava secondo un angolo tra $45^\circ \div 90^\circ$. Numerosi esperimenti sono stati condotti a riguardo per diverse tipologie di cellule e sembra che il comportamento cellulare sia quasi completamente indipendente dal tipo di cellula adoperata (nello specifico cellule epiteliali, endoteliali, fibroblasti, osteoblasti, melanociti, cellule muscolari [1, 7, 11, 12, 19, 33, 38, 44, 45, 50, 52, 55, 59, 60, 67, 71, 82, 86, 93, 96, 97, 99]). I risultati sperimentali ritrovano che le cellule rispondono allo stato di sforzo cui sono sottoposte per orientarsi secondo precise configurazioni. L'unico risultato negativo è stato riportato da Matsumoto et al. [70], in cui si sono impiegati dei macrofagi che non hanno presentato una visibile risposta agli stimoli meccanici cui il substrato era sottoposto, possibilmente a causa della scarsa adesione tra il macrofago (che non possiede un citoscheletro robusto) e il substrato. Al contrario, il comportamento dei fibroblasti [73, 95] è generalmente caratterizzato da un robusto citoscheletro, da forti legami di adesione con il substrato e presenta per sua natura degli evidenti comportamenti di rimodellamento attivo, così come le cellule muscolari che rispondono agli stimoli con il sistema actina-miosina [12, 18, 45, 60, 71]. Wang [94] ha osservato che l'uso di sostanze inibitrici della contrattilità cellulare può rallentare o persino annullare il comportamento di rimodellamento attivo delle cellule: in questi casi, le cellule raggiungono una configurazione che è dettata prevalentemente dalla deformazione geometrica del substrato e non da una risposta attiva della cellula.

In generale, i risultati sperimentali sembrano suggerire che un requisito necessario per una risposta cellulare apprezzabile sia un robusto citoscheletro e un forte legame di adesione focale in modo tale che la cellula possa essere più interessata dagli sforzi cui il substrato è sottoposto e rispondere riorganizzando attivamente la propria struttura [22]. In particolare, Livne et Al. [64] hanno osservato una relazione lineare tra $\cos^2 \Theta$, dove Θ rappresenta

191 l'angolo di orientazione formato tra l'asse maggiore della cellula e la direzione di stira-
 192 mento, e un parametro di deformazione bi-assiale. Più recentemente, Lucci e Preziosi [66]
 193 hanno generalizzato la relazione proposta in [64] nell'ambito dell'elasticità non-lineare
 194 per materiali microstrutturalmente ortotropi. Infine, la maggior parte delle esperienze è
 195 condotta in condizioni dinamiche, con l'applicazione ciclica di spostamenti o carichi sul
 196 substrato, per evidenziare in che modo la frequenza degli stimoli meccanici influenzi il
 197 problema. Si è osservato che tale risposta in certi regimi dinamici sembra legata al tipo
 198 di cellula studiata [50, 54, 60] e i meccanismi che interessano tale fenomeno non possono
 199 essere studiati nell'ambito di deformazioni puramente *elastiche* e in Lucci, Giverso e Pre-
 200 ziosi [65] si è, pertanto, proposto un modello viscoelastico di ri-orientazione cellulare.
 201 Nel corso del seguente lavoro, si studia il problema in ambito dell'elasticità non-lineare e
 202 si propone una modellizzazione sia della cellula che del substrato, in grado di esplorare
 203 una grande varietà di casi, soprattutto per quanto riguarda la rigidità del substrato in
 204 relazione a quella della cellula. In particolare, si concentra la propria attenzione al caso
 205 di materiali trasversalmente isotropi e si esplora come gli aspetti *configurazionali* e quelli
 206 *costitutivi* [13, 20, 23, 39, 40, 77] risultino strettamente legati nella comprensione com-
 207 plessiva del fenomeno.

208

209 1.1.1 Osservazioni sperimentali e considerazioni statistiche

210 Nella maggior parte dei casi [1, 7, 11, 12, 19, 33, 38, 44, 45, 50, 52, 55, 59, 60, 67, 71, 82,
 211 86, 93, 96, 97, 99], si studia un substrato a forma di parallelepipedo molto sottile realizzato
 212 in silicone e/o polidimetilsilossano (PDMS) ricoperto di collagene o fibroconnectina per
 213 favorire l'adesione della cellula sul substrato stesso. Le cellule possono essere immerse nel
 214 substrato oppure al di sopra di esso; inoltre si distingue il caso di cellule *sub-confluenti* da
 215 quello di cellule *confluenti*. Le prove sono svolte applicando al substrato uno spostamento
 216 o uno sforzo imposto, in condizioni statiche o cicliche. Generalmente, i dati sperimentali
 217 fanno riferimento alle cellule al centro del substrato, sufficientemente lontane dai bordi
 218 [18], come schematizzato in Fig.1.2. La maggior parte degli esperimenti studia il problema
 219 come bidimensionale [56, 60, 64], giustificando tale approssimazione con lo spessore esiguo
 220 degli elementi coinvolti (cellule e substrato) rispetto alle altre due dimensioni. Pertanto,
 221 riferendoci al caso stazionario, fissato un sistema di riferimento cartesiano sul piano del
 222 substrato in cui x coincide con la direzione di massima deformazione e y la direzione ad
 223 essa ortogonale, denotati con ε_{xx} , ε_{yy} rispettivamente le deformazioni in direzione x e y ,
 224 si introduce un rapporto di deformazione bi-assiale

$$\mathcal{R} = -\frac{\varepsilon_{yy}}{\varepsilon_{xx}} \quad (1.1)$$

225 Per esempio, il caso in cui $\mathcal{R} = 0$ implica una deformazione puramente uni-assiale, mentre
 226 il caso con $\varepsilon_{yy} = \varepsilon_{zz} = -\varepsilon_{xx}/2$ equivale a $\mathcal{R} = 0.5$ (Fig.1.2).

227

228 Sono doverose alcune osservazioni sulla presentazione dei dati ottenuti sperimentalmente.
 229 Analizzando le distribuzioni degli esiti sperimentali, è possibile notare una certa simme-
 230 tria: infatti, a causa della simmetria strutturale che alcune cellule presentano, dove è

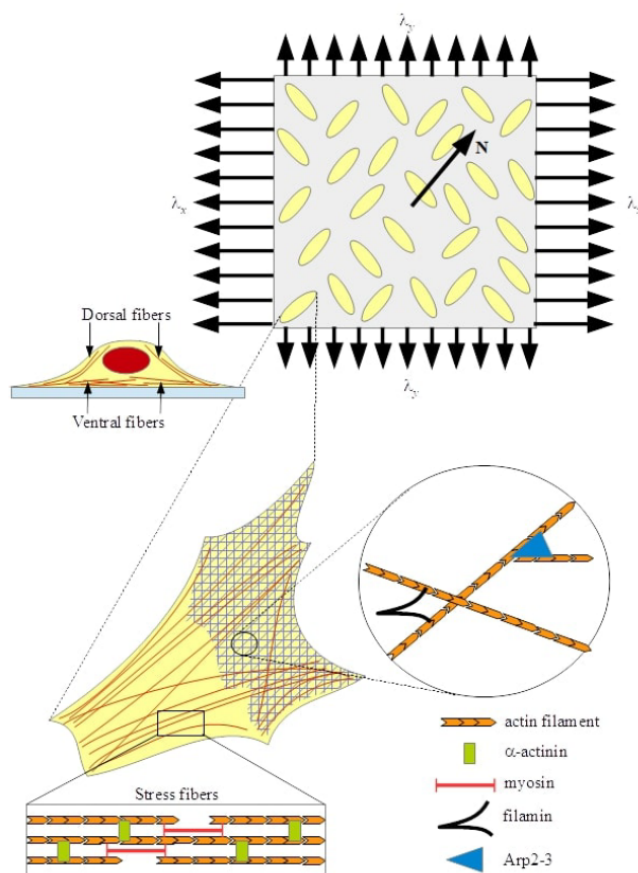


Figura 1.1. Rappresentazione schematica di un generico set-up sperimentale [65].

231 possibile identificare una *testa* e una *coda* [92], le orientazioni della cellula verso angoli di
 232 Θ , $-\Theta$, $\pi + \Theta$ e $\pi - \Theta$ rispetto all'asse principale degli sforzi risultano concettualmente
 233 indifferenti. Mentre, nel caso in cui la cellula non abbia visibilmente una forma con testa
 234 e coda, si sceglie la direzione principale di distribuzione delle sue fibre come riferimento
 235 in base al quale calcolare l'angolo di orientazione. Per questo motivo, alcuni dati speri-
 236 mentali sono riportati per $\Theta \in [0, \frac{\pi}{2}]$ o a volte per $\Theta \in [0, \pi]$ o, infine, per $\Theta \in [-\frac{\pi}{2}, \frac{\pi}{2}]$.
 237 Tale osservazione spiega perchè, riportando la frequenza dei dati sperimentali in un range
 238 del tipo $[-\frac{\pi}{2}, \frac{\pi}{2}]$, si ottengono istogrammi come quello in *blu* in Fig.1.3 [64] che presentano
 239 una distribuzione simmetrica e due massimi per $\Theta \approx -55^\circ$ e $\Theta \approx 55^\circ$. Tali dati, riportati
 240 nell'intervallo $[0, \pi/2]$ e rielaborati non distinguendo tra Θ e $-\Theta$, riportano l'istogramma
 241 in *giallo* in Fig.1.3 [64].

242 Gli esiti sperimentali forniti dalla letteratura, che pur sembrano suggerire la medesima
 243 idea riguardo il tentativo della cellula di orientarsi attivamente in accordo agli stimoli
 244 meccanici cui è sottoposta, presentano risultati diversi. Ad esempio, [67] riporta che le

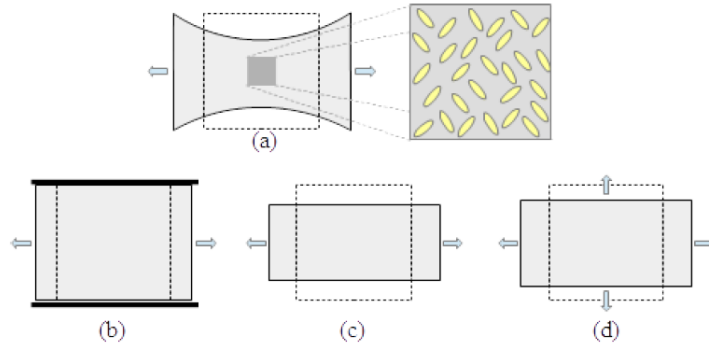


Figura 1.2. Diversi tipi deformazioni del substrato: (a) trazione uni-assiale con vincolo *carrello* sui bordi laterali, (b) deformazione puramente uni-assiale, (c) allungamento uni-assiale, (d) deformazione bi-assiale.

245 cellule si orientano secondo un angolo $\Theta \in [80^\circ, 100^\circ]$, come in Fig.1.4, mentre altri risul-
 246 tati sperimentali [33, 37, 38, 50, 54, 55, 59] riportano un angolo di orientazione cellulare
 247 $\Theta \approx 90^\circ$, infine la rimanente parte [5, 7, 11, 35, 44, 45, 72, 86, 92, 96, 97] riporta una
 248 orientazione preferenziale per $\Theta \approx 55^\circ \div 60^\circ$.

249

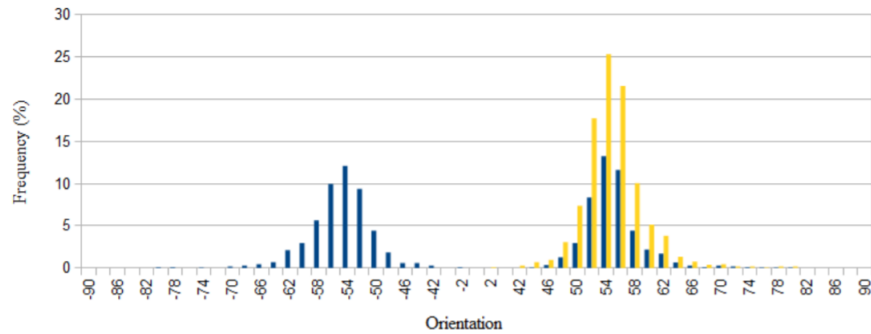


Figura 1.3. Frequenza dei dati sperimentali in funzione dell'angolo $\Theta \in [-\frac{\pi}{2}, \frac{\pi}{2}]$. In blu si rappresentano i dati per $\Theta \in [-\pi/2, \pi/2]$, in giallo si rappresentano i dati riportandoli sull'intervallo $[0, \pi/2]$ [64].

250 1.1.2 Rigidezza del substrato

251 La maggior parte degli esperimenti [1, 7, 11, 12, 19, 33, 38, 44, 45, 50, 52, 55, 59, 60,
 252 67, 71, 82, 86, 93, 96, 97, 99] non tiene in considerazione il comportamento meccanico del
 253 substrato, il quale è generalmente realizzato con silicone e/o PDMS ricoperti con collagene
 254 o fibroconnectina per favorire l'adesione cellulare. Generalmente, si stima per il substrato

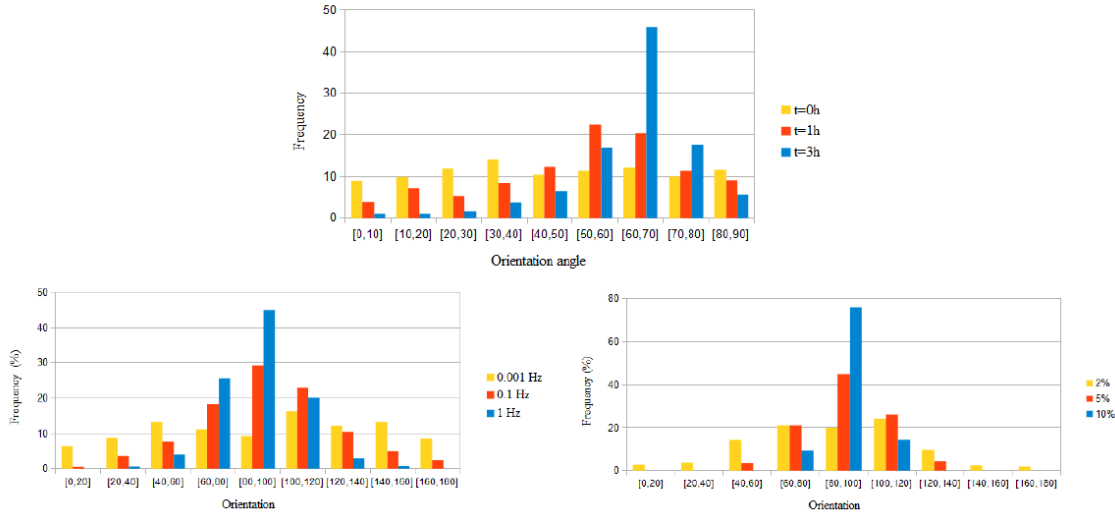


Figura 1.4. (In alto) Evoluzione temporale dell’angolo di orientazione delle cellule [44]. (In basso a sinistra) Distribuzione finale di orientazione cellulare a parità di deformazione [67]. (In basso a destra) Distribuzione finale di orientazione cellulare a parità di frequenza di deformazione, per diverse deformazioni massime [67].

255 un modulo elastico di poco superiore a 1 MPa. Tuttavia, la letteratura proposta presenta
 256 anche casi in cui si utilizzano dei substrati più morbidi [5, 15, 22, 37, 54, 64, 87, 88]. In
 257 quest’ultimo caso, si osserva che al ridursi della rigidità del substrato, la deformazione ad
 258 esso applicata non viene completamente trasferita alla cellula e a volte risulta inadeguata
 259 per indurre una ri-orientazione cellulare [22].

260 Vista l’abbondanza di dati sperimentali ottenuti con set-up spesso diversi, risulta neces-
 261 sario introdurre un modello che tenga conto tanto della cellula quanto del substrato, per
 262 esplorare in che modo il substrato possa influenzare l’esito della prova sperimentale.

263 1.2 Impostazione del lavoro

264 Con il seguente lavoro, si introduce l’apparato teorico necessario per modellizzare il pro-
 265 blema proposto nell’ambito dell’elasticità non-lineare. Nel CAPITOLO 2 si richiamano i
 266 concetti di base della *meccanica dei continui*, che verranno frequentemente ripresi nel cor-
 267 so del seguente lavoro. Nel CAPITOLO 3 si definiscono le equazioni costitutive utilizzate
 268 per modellizzare le cellule ed il substrato. Nel CAPITOLO 4 si introduce il problema del
 269 *rimodellamento attivo* della cellula e si definisce l’assetto teorico che prevede, nell’ambito
 270 dell’elasticità non-lineare, una analisi di stabilità energetica in linea con quella svolta in
 271 [65, 66]. Nel CAPITOLO 5 si presentano i risultati numerici delle simulazioni svolte. Infi-
 272 ne, nell’ultima sezione (CAPITOLO 6) si espongono i risultati e le principali considerazioni
 273 riguardo il problema analizzato.

Capitolo 2

Nozioni preliminari di meccanica dei continui

2.1 Cinematica

Si consideri lo spazio Euclideo tridimensionale \mathcal{S} . Siano $\mathcal{B}_R, \mathcal{B}$ due regioni dello spazio \mathcal{S} e siano $\mathbf{X} \in \mathcal{B}_R, \mathbf{x} \in \mathcal{B}$. Introduciamo la mappa [9, 27, 41]

$$\chi : \mathcal{B}_R \times \mathbb{R}_0^+ \rightarrow \mathcal{B} \quad (2.1)$$

tale per cui:

$$(\mathbf{X}, t) \mapsto \chi(\mathbf{X}, t) = \mathbf{x} \quad (2.2)$$

La relazione tra una configurazione \mathcal{B} a un generico tempo $t \in \mathbb{R}_0^+$ può essere vista mediante l'applicazione della mappa χ alla *configurazione di riferimento* denotata con \mathcal{B}_R :

$$\mathcal{B}(t) = \chi(\mathcal{B}_R, t) \quad (2.3)$$

Ci concentriamo nel caso in cui χ sia sufficientemente regolare e invertibile [41, 61, 69]. Differenziando entrambe i membri della (2.1), si ottiene [41]

$$dx_i = \frac{\partial \chi_i}{\partial X_L} dX_L \quad (2.4)$$

Definiamo, quindi, una applicazione multilineare [69] detta *tensore gradiente di deformazione* [9, 41, 69]

$$\mathbf{F}(\mathbf{X}, t) = \frac{\partial \chi}{\partial \mathbf{X}} \quad F_{iL} = \frac{\partial \chi_i}{\partial X_L} \quad (2.5)$$

e indichiamo con J il suo determinante

$$J = \det \mathbf{F} > 0 \quad (2.6)$$

289 Il determinante J , con il ruolo di *Jacobiano*, è associato alla variazione di volume del
 290 corpo dopo l'applicazione della mappa χ (supposta sufficientemente regolare e opportu-
 291 namente invertibile [41, 69]). Infatti, dette \mathcal{P}_R una parte del corpo nella configurazione
 292 di riferimento \mathcal{B}_R e \mathcal{P} una parte del corpo nella configurazione attuale \mathcal{B} , si ha [27]

$$\text{vol}(\mathcal{P}_R) = \int_{\mathcal{P}_R} dV_{\mathbf{X}} \quad \text{vol}(\mathcal{P}) = \int_{\mathcal{P}} dV_{\mathbf{x}} \quad (2.7)$$

$$\int_{\mathcal{P}} dV_{\mathbf{x}} = \int_{\chi^{-1}(\mathcal{P}_R)} \det \left[\frac{\partial x_i}{\partial X_j} \right] dV_{\mathbf{X}} = \int_{\mathcal{P}_R} J dV_{\mathbf{X}} \quad (2.8)$$

293 **Teorema 2.1.1** (Decomposizione polare)[9, 27, 41]

294 *Sia \mathbf{F} un tensore invertibile in uno spazio vettoriale euclideo \mathcal{S} per il quale sia $J =$*
 295 *$\det \mathbf{F} > 0$, allora esistono e sono unici due tensori \mathbf{U} e \mathbf{V} , simmetrici e definiti positivi*
 296 *e una rotazione \mathbf{R} per cui vale*

$$\mathbf{F} = \mathbf{R}\mathbf{U} = \mathbf{V}\mathbf{R} \quad (2.9)$$

297 *Inoltre, \mathbf{U}, \mathbf{V} sono determinati da \mathbf{F} come*

$$\mathbf{U} = \sqrt{\mathbf{F}^T \mathbf{F}} \quad \mathbf{V} = \sqrt{\mathbf{F} \mathbf{F}^T} \quad (2.10)$$

298 *e vale che*

$$\mathbf{V} = \mathbf{R}\mathbf{U}\mathbf{R}^T \quad (2.11)$$

299 A partire dal teorema (2.1.1), introduciamo il *tensore destro di Cauchy-Green*.

300 **Definizione 2.1.1** (Tensore destro di Cauchy-Green) [27, 41]

301 *Si definisce tensore destro di Cauchy-Green il tensore*

$$\mathbf{C} = \mathbf{U}^2 = \mathbf{F}^T \mathbf{F} \quad (2.12)$$

$$C_{AB} = F_{hA} F_{hB} = \frac{\partial \chi_h}{\partial X_A} \frac{\partial \chi_h}{\partial X_B} \quad (2.13)$$

302 Dalla (2.1) segue che

$$d\mathbf{x} = \mathbf{F}d\mathbf{X} \quad (2.14)$$

303 Analogamente, presi due vettori infinitesimi nella configurazione di riferimento, denotati
 304 con $d\mathbf{X}_1, d\mathbf{X}_2 \in \mathcal{B}_R$, e le rispettive trasformazioni spaziali nella configurazione attuale,
 305 denotate con i vettori $d\mathbf{x}_1, d\mathbf{x}_2 \in \mathcal{B}$, determiniamo l'angolo

$$\cos \theta(\mathbf{N}_1, \mathbf{N}_2) = \frac{d\mathbf{x}_1 \cdot d\mathbf{x}_2}{\|d\mathbf{x}_1\| \|d\mathbf{x}_2\|} = \frac{\mathbf{F}d\mathbf{X}_1 \cdot \mathbf{F}d\mathbf{X}_2}{\|\mathbf{F}d\mathbf{X}_1\| \|\mathbf{F}d\mathbf{X}_2\|} \quad (2.15)$$

306

307 **Definizione 2.1.2** (Stiramento) [9, 27, 41]

308 Siano \mathcal{B}_R e \mathcal{B} rispettivamente la configurazione di riferimento e la configurazione cor-
 309 rente, presi due vettori infinitesimi $d\mathbf{X} \in \mathcal{B}_R$ e $d\mathbf{x} \in \mathcal{B}$, definiamo stiramento nella
 310 direzione \mathbf{N} la quantità

$$\lambda(\mathbf{N}) = \frac{\|d\mathbf{x}\|}{\|d\mathbf{X}\|} = \frac{\|\mathbf{F}d\mathbf{X}\|}{\|d\mathbf{X}\|} = \|\mathbf{F}(\mathbf{X}) \cdot \mathbf{N}\| \quad (2.16)$$

311 *Segue che*

$$\lambda^2(\mathbf{N}) = \mathbf{F}\mathbf{N} \cdot \mathbf{F}\mathbf{N} = \mathbf{C}\mathbf{N} \cdot \mathbf{N} \quad (2.17)$$

312 **Definizione 2.1.3** (Angoli di scorrimento) [9, 27, 41]

313 Definiamo angolo di scorrimento la quantità

$$\gamma(\mathbf{N}_1, \mathbf{N}_2) = \frac{\pi}{2} - \theta(\mathbf{N}_1, \mathbf{N}_2) \quad (2.18)$$

314 dove $\theta(\mathbf{N}_1, \mathbf{N}_2)$ è data dalla (2.13).

315 Il tensore destro di Cauchy-Green [27] si rappresenta rispetto alla terna cartesiana orto-
 316 gonale $\{\tilde{\mathbf{E}}_A\}_{A=1}^3$ come

$$\mathbf{C} = C_{AB} \tilde{\mathbf{E}}_A \otimes \tilde{\mathbf{E}}_B \quad (2.19)$$

317 Il tensore \mathbf{C} ammette la seguente rappresentazione matriciale

$$[\widetilde{\mathbf{C}}] = \begin{bmatrix} \tilde{\lambda}_1^2 & \tilde{\lambda}_1 \tilde{\lambda}_2 \sin \gamma_{12} & \tilde{\lambda}_1 \tilde{\lambda}_3 \sin \gamma_{13} \\ \tilde{\lambda}_1 \tilde{\lambda}_2 \sin \gamma_{12} & \tilde{\lambda}_2^2 & \tilde{\lambda}_2 \tilde{\lambda}_3 \sin \gamma_{23} \\ \tilde{\lambda}_1 \tilde{\lambda}_3 \sin \gamma_{13} & \tilde{\lambda}_2 \tilde{\lambda}_3 \sin \gamma_{23} & \tilde{\lambda}_3^2 \end{bmatrix} \quad (2.20)$$

318 dove i pedici $i = \{1,2,3\}$ sono riferiti alle direzioni identificate dai versori $\tilde{\mathbf{E}}_i$.

319 Dal teorema di decomposizione spettrale [9, 21, 27, 41, 62], essendo \mathbf{F} un tensore del
 320 secondo ordine invertibile e con determinante positivo, i tensori \mathbf{U} e \mathbf{V} sono simmetrici e
 321 definiti positivi e poichè vale la (2.10), la simmetria di \mathbf{C} implica che esiste una terna di
 322 autovettori ortogonali, tale per cui è possibile scrivere

$$\mathbf{C} = \sum_{i=1}^3 \lambda_i^2 \mathbf{E}_i \otimes \mathbf{E}_i \quad (2.21)$$

323 rispetto alla terna $\{\mathbf{E}_i\}_{i=1}^3$ che identifica le tre *direzioni principali* ([9, 27, 41, 63]) e, di
 324 conseguenza, le quantità λ_i^2 rappresentano gli stiramenti principali. Il tensore \mathbf{C} , rispetto
 325 alla terna ortogonale principale, ammette la seguente rappresentazione matriciale [41]

$$\mathbf{C} = \begin{bmatrix} \lambda_1^2 & 0 & 0 \\ 0 & \lambda_2^2 & 0 \\ 0 & 0 & \lambda_3^2 \end{bmatrix} \quad (2.22)$$

326 Dalla (2.18) mostra come, nel sistema di riferimento principale, la diagonalità della rap-
 327 presentazione matriciale del tensore \mathbf{C} risulta in una *assenza di scorrimenti*.

328 **Definizione 2.1.4** (Campo di spostamento) [9, 27, 41, 63]

329 Dati $\mathbf{X} \in \mathcal{B}_R$ nella configurazione di riferimento e $\mathbf{x} \in \mathcal{B}$ nella configurazione attuale,
330 definiamo il vettore spostamento $\mathbf{u}(\mathbf{X})$

$$\mathbf{u}(\mathbf{X}) = \mathbf{x}(\mathbf{X}) - \mathbf{X} \quad (2.23)$$

331 **Definizione 2.1.5** (Tensore gradiente di spostamento) [9, 27, 41, 63]

332 Definiamo, quindi, il tensore gradiente di spostamento

$$\text{Grad } \mathbf{u} = \frac{\partial \mathbf{u}}{\partial \mathbf{X}} \quad (\text{Grad } \mathbf{u})_{ij} = \frac{\partial u_i}{\partial X_j} \quad (2.24)$$

333 Differenziando la (2.24) rispetto a \mathbf{X} , otteniamo

$$\frac{\partial u_i}{\partial X_L} = \frac{\partial x_i}{\partial X_L} - \delta_{iL} \quad \text{Grad } \mathbf{u} = \mathbf{F} - \mathbf{I} \quad (2.25)$$

334

335 **Definizione 2.1.6** (Tensore di Green-Lagrange) [9, 41, 63]

336 Definiamo tensore di Green-Lagrange il tensore

$$\mathbf{E} = \frac{1}{2}(\mathbf{C} - \mathbf{I}) \quad (2.26)$$

337 Se la mappa $\chi(\mathbf{X}, t)$ è tale per cui il campo di spostamento \mathbf{u} è infinitesimo (dominio
338 delle deformazioni infinitesime [9, 27, 41, 63, 81]), poichè

$$\text{Grad } \mathbf{u} = (\text{grad } \mathbf{u})\mathbf{F} = (\text{grad } \mathbf{u})(\mathbf{I} + \text{Grad } \mathbf{u}) \quad (2.27)$$

339 risulta

$$\text{Grad } \mathbf{u} = \text{grad } \mathbf{u} + o(\mathbf{u}) \quad (2.28)$$

340 Allo stesso modo [41], gli stiramenti in direzione \mathbf{N} si esprimono come

$$\lambda(\mathbf{N}) = 1 + \mathbf{N}\mathbf{E}\mathbf{N} + o(\mathbf{u}) \quad (2.29)$$

341

342 **Definizione 2.1.7** (Deformazione longitudinale e angolo di scorrimento infinitesimo) [9,
343 27, 41]

344 Chiamiamo deformazione longitudinale in direzione \mathbf{N} la quantità

$$\varepsilon(\mathbf{N}) = \lambda(\mathbf{N}) - 1 = \mathbf{N}\mathbf{E}\mathbf{N} \approx \frac{\|d\mathbf{x}\| - \|d\mathbf{X}\|}{\|d\mathbf{X}\|} \quad (2.30)$$

345 Definiamo angolo di scorrimento infinitesimo tra i vettori $\mathbf{N}_1, \mathbf{N}_2$ la quantità

$$\gamma(\mathbf{N}_1, \mathbf{N}_2) = 2\mathbf{N}_1\mathbf{E}\mathbf{N}_2 \quad (2.31)$$

346 Infine, riguardo il determinante J del tensore gradiente di deformazione, vale la seguente
347 considerazione [9, 27, 41, 63]

$$\begin{aligned} J = \det \mathbf{F} &\approx \det(\mathbf{I} + \text{Grad } \mathbf{u}) = 1 + \text{tr}(\text{Grad } \mathbf{u}) \\ &= 1 + \text{tr } \mathbf{E} = 1 + \text{Div } \mathbf{u} \end{aligned} \quad (2.32)$$

348 Pertanto

$$\text{Div } \mathbf{u} = \frac{dV_{\mathbf{x}} - dV_{\mathbf{X}}}{dV_{\mathbf{X}}} \quad \text{Div } \mathbf{u} = J - 1 = \frac{\delta V}{V} \quad (2.33)$$

2.2 Equazioni di Bilancio

Le definizioni e i teoremi riportati nella seguente sezione fanno riferimento alle ipotesi modellistiche racchiuse in quelli che la letteratura definisce come *postulati di Cauchy* [9, 27, 41, 61, 69]. Di seguito, invece, si riportano le leggi di bilancio di massa, di impulso e del momento della quantità di moto, distinguendo tra la formulazione *Euleriana* da quella *Lagrangiana* [6, 9, 27, 41, 61, 68, 69].

Definizione 2.2.1 (Forma Lagrangiana e forma Euleriana della velocità) [9, 27, 34, 41, 63, 76]

Sia \mathcal{B}_R la configurazione di riferimento di un continuo e \mathcal{B} la sua configurazione attuale e sia $\mathcal{B}(t) = \chi(\mathcal{B}_R, t)$ una mappa sufficientemente regolare e invertibile. Dato $\mathbf{X} \in \mathcal{B}_R$, la forma Lagrangiana della velocità del continuo rispetto al moto $\chi(\mathbf{X}, t)$ è data da

$$\mathbf{V}(\mathbf{X}, t) = \frac{\partial \chi}{\partial t}(\mathbf{X}, t) \quad (2.34)$$

Dato $\mathbf{x} \in \mathcal{B}$, introdotto il moto inverso $\chi^{-1}(\mathbf{x}, t)$, la forma Euleriana della velocità del continuo è data da

$$\mathbf{v}(\mathbf{x}, t) = \mathbf{V}(\chi^{-1}(\mathbf{x}, t), t) \quad (2.35)$$

Sia dato un continuo nella configurazione di riferimento \mathcal{B}_R nello spazio euclideo \mathcal{S} . Supponiamo che l'applicazione del moto (supposto sufficientemente regolare) $\chi(\mathbf{X}, t)$ risulti nell'identificazione della configurazione corrente \mathcal{B} . Denotiamo con $\rho(\mathbf{x}, t)$ la densità di massa del corpo nella configurazione \mathcal{B} e con $\rho_R(\mathbf{X})$ la densità di massa del corpo nella configurazione di riferimento \mathcal{B}_R .

2.2.1 Formulazione Euleriana

Definizione 2.2.2 (Bilancio di massa) [9, 27, 41, 63]

Sia un aperto $\mathcal{P} \subset \mathcal{B}$. In assenza di sorgenti e flussi di massa, diciamo che il bilancio di massa è soddisfatto se

$$\frac{d}{dt} \int_{\mathcal{P}} \rho(\mathbf{x}, t) dV_{\mathbf{x}} = 0 \quad (2.36)$$

se la (2.36) vale per ogni \mathcal{P} allora, si può scrivere il bilancio di massa in forma locale

$$\dot{\rho} + \rho \operatorname{div} \mathbf{v} = 0 \quad (2.37)$$

Supponiamo che esista un campo di forze esterne di volume $\mathbf{b}(\mathbf{x}, t)$ e supponiamo l'esistenza di campo vettoriale $\mathbf{t}(\mathbf{x}, t, \mathbf{n})$ che chiamiamo *vettore degli sforzi di Cauchy*, che rappresenta una forza per unità di superficie orientata con normale \mathbf{n} .

Definizione 2.2.3 (Bilancio di impulso) [9, 27, 41, 63, 69]

Diciamo che il bilancio di impulso è soddisfatto per ogni aperto $\mathcal{P} \subset \mathcal{B}$ del continuo nella configurazione corrente se vale

$$\frac{d}{dt} \int_{\mathcal{P}} \rho(\mathbf{x}, t) \mathbf{v}(\mathbf{x}, t) dV_{\mathbf{x}} = \int_{\mathcal{P}} \rho(\mathbf{x}, t) \mathbf{b}(\mathbf{x}, t) dV_{\mathbf{x}} + \int_{\partial \mathcal{P}} \mathbf{t}(\mathbf{x}, t, \mathbf{n}) dA_{\mathbf{x}} \quad (2.38)$$

378 **Teorema 2.2.1** *Supponiamo che il bilancio di impulso (2.38) sia soddisfatto, che $\chi(\mathbf{X}, t)$*
 379 *sia sufficientemente regolare e che $\mathbf{t}(\mathbf{x}, t, \mathbf{n})$ sia una funzione continua nei suoi argomenti,*
 380 *allora esiste un unico tensore del secondo ordine $\boldsymbol{\sigma}(\mathbf{x}, t)$ tale per cui*

$$\boldsymbol{\sigma}(\mathbf{x}, t) \cdot \mathbf{n}(\mathbf{x}, t) = \mathbf{t}(\mathbf{x}, t, \mathbf{n}) \quad (2.39)$$

381 *il tensore $\boldsymbol{\sigma}$ è detto tensore degli sforzi di Cauchy.*

382 La (2.38) si riscrive, pertanto, come

$$\frac{d}{dt} \int_{\mathcal{P}} \rho(\mathbf{x}, t) \mathbf{v}(\mathbf{x}, t) dV_{\mathbf{x}} = \int_{\mathcal{P}} \rho(\mathbf{x}, t) \mathbf{b}(\mathbf{x}, t) dV_{\mathbf{x}} + \int_{\partial \mathcal{P}} \boldsymbol{\sigma}(\mathbf{x}, t) \cdot \mathbf{n}(\mathbf{x}, t) dA_{\mathbf{x}} \quad (2.40)$$

383

384 **Teorema 2.2.2** *Supponendo che valgano la conservazione della massa e di impulso per*
 385 *ogni aperto $\mathcal{P} \subset \mathcal{B}$, vale la seguente forma localizzata*

$$\rho \dot{\mathbf{v}} = \rho \mathbf{b} + \operatorname{div} \boldsymbol{\sigma} \quad (2.41)$$

386 **Definizione 2.2.4** (Bilancio del momento della quantità di moto)[9, 27, 41, 63, 69]

387 *Dato un polo fisso \mathbf{o} , sia $\mathcal{P} \subset \mathcal{B}$, il bilancio del momento della quantità di moto si scrive*
 388 *come*

$$\begin{aligned} \frac{d}{dt} \int_{\mathcal{P}} (\mathbf{x} - \mathbf{o}) \times \rho(\mathbf{x}, t) \mathbf{v}(\mathbf{x}, t) dV_{\mathbf{x}} &= \int_{\mathcal{P}} (\mathbf{x} - \mathbf{o}) \times \rho(\mathbf{x}, t) \mathbf{b}(\mathbf{x}, t) dV_{\mathbf{x}} \\ &+ \int_{\partial \mathcal{P}} (\mathbf{x} - \mathbf{o}) \times (\boldsymbol{\sigma}(\mathbf{x}, t) \cdot \mathbf{n}(\mathbf{x}, t)) dA_{\mathbf{x}} \end{aligned} \quad (2.42)$$

389 **Teorema 2.2.3** *Supponiamo che valga la conservazione della massa e il bilancio di im-*
 390 *pulso. Allora il momento della quantità di moto è soddisfatto se e solo se*

$$\boldsymbol{\sigma} = \boldsymbol{\sigma}^T \quad (2.43)$$

391 Le precedenti definizioni (2.2.2-2.2.4) e i teoremi enunciati (2.2.1-2.2.3) possono essere
 392 riassunti nel prossimo teorema formulato per le equazioni cardinali in forma locale.

393 **Teorema 2.2.4** [27] *Le equazioni cardinali per un moto sufficientemente regolare sono*
 394 *soddisfatte per ogni $\mathbf{x} \in \mathcal{P} \subset \mathcal{B}$ se e solo se sono soddisfatte le seguenti relazioni*

$$\begin{cases} \boldsymbol{\sigma} \cdot \mathbf{n} = \mathbf{t} \\ \rho \dot{\mathbf{v}} = \operatorname{div} \boldsymbol{\sigma} + \mathbf{b} \\ \boldsymbol{\sigma}^T = \boldsymbol{\sigma} \end{cases} \quad (2.44)$$

395 2.2.2 Formulazione Lagrangiana

396 **Definizione 2.2.5** (Primo tensore degli sforzi di Piola-Kirchhoff) [41, 69]

397 *Il primo tensore degli sforzi di Piola-Kirchhoff è il tensore del secondo ordine dato da*

$$\mathbf{P} = J \boldsymbol{\sigma} \mathbf{F}^{-T} \quad (2.45)$$

398 **Teorema 2.2.5** [69] Sia $\mathcal{P}_R \subset \mathcal{B}_R$ un sottoinsieme aperto della configurazione di rife-
 399 rimento. Se vale il principio di conservazione della massa, detta ρ_R la densità di massa
 400 del continuo nella configurazione materiale, \mathbf{B} il campo di forze esterne agente sul conti-
 401 nuo nella configurazione iniziale e \mathbf{N} la normale uscente per ogni punto della superficie
 402 del continuo nella configurazione di riferimento, il bilancio di impulso (2.38) può essere
 403 riscritto come

$$\frac{d}{dt} \int_{\mathcal{P}_R} \rho_R \mathbf{V} dV_{\mathbf{X}} = \int_{\mathcal{P}_R} \rho_R \mathbf{B} dV_{\mathbf{X}} + \int_{\partial \mathcal{P}_R} \mathbf{P} \cdot \mathbf{N} dA_{\mathbf{X}} \quad (2.46)$$

404 **Teorema 2.2.6** [69] Se la (2.46) vale per ogni sottoinsieme $\mathbf{X} \in \mathcal{P}_R \subset \mathcal{B}_R$, allora essa
 405 può essere scritta in forma locale

$$\rho_R \dot{\mathbf{V}} = \rho_R \mathbf{B} + \text{Div } \mathbf{P} \quad (2.47)$$

406 **Teorema 2.2.7** [32, 41] Supposto valido il bilancio di massa e di impulso per ogni $\mathcal{P}_R \subset$
 407 \mathcal{B}_R il bilancio del momento della quantità di moto è localmente equivalente a

$$\mathbf{P} \mathbf{F}^T = \mathbf{P}^T \mathbf{F} \quad (2.48)$$

408 **Definizione 2.2.6** (Secondo tensore degli sforzi di Piola-Kirchhoff) [41, 69]
 409 Si definisce secondo tensore degli sforzi di Piola-Kirchhoff il tensore

$$\mathbf{S} = J \mathbf{F}^{-1} \boldsymbol{\sigma} \mathbf{F}^{-T} \quad (2.49)$$

410 Una immediata conseguenza della (2.48) riguarda la possibilità di riscrivere (2.49) come

$$\mathbf{S} = \mathbf{S}^T \quad (2.50)$$

411 2.2.3 Bilancio di energia

412 Si consideri il continuo nella configurazione attuale $\mathcal{B} \subset \mathcal{S}$. Sia $\mathbf{x} \in \mathcal{B}$, introduciamo la
 413 densità di energia cinetica e l'energia cinetica totale [27]

$$\kappa = \frac{1}{2} \rho \|\mathbf{v}\|^2 \quad \mathcal{K} = \int_{\mathcal{B}} \kappa dV_{\mathbf{x}} \quad (2.51)$$

414 Differenziando l'energia cinetica totale rispetto al tempo e tenendo conto del bilancio
 415 locale di impulso in forma Euleriana (2.38) otteniamo [27]

$$\dot{\mathcal{K}} = \int_{\mathcal{B}} (\mathbf{v} \cdot \text{div } \boldsymbol{\sigma} + \mathbf{b} \cdot \mathbf{v}) dV_{\mathbf{x}} \quad (2.52)$$

416 Riformulando, si ottiene

$$\dot{\mathcal{K}} = - \underbrace{\int_{\mathcal{B}} \text{grad}(\mathbf{v}) \cdot \boldsymbol{\sigma} dV_{\mathbf{x}}}_{\mathcal{P}_{\text{int}}} + \underbrace{\int_{\partial \mathcal{B}} \mathbf{v} \cdot \boldsymbol{\sigma} \mathbf{n} dA_{\mathbf{x}} + \int_{\mathcal{B}} \mathbf{v} \cdot \mathbf{b} dV_{\mathbf{x}}}_{\mathcal{P}_{\text{ext}}} \quad (2.53)$$

417 dove \mathcal{P}_{int} e \mathcal{P}_{ext} sono rispettivamente la potenza delle forze interne e la potenza delle forze
 418 esterne [27, 32].

419 **Teorema 2.2.8** [27] *Il teorema dell'energia cinetica per un continuo, può essere formu-*
 420 *lato come*

$$\dot{\mathcal{K}} = \mathcal{P}_{\text{int}} + \mathcal{P}_{\text{ext}} \quad (2.54)$$

421 In vista di considerazioni future, è utile riportare che si può dimostrare la seguente
 422 relazione per la potenza interna [9, 27, 41]

$$\mathcal{P}_{\text{int}} = - \int_{\mathcal{B}_R} \mathbf{P} : \dot{\mathbf{F}} \, dV_{\mathbf{X}} \quad (2.55)$$

423 2.3 Relazioni termodinamiche

424 **Definizione 2.3.1** (Primo principio della termodinamica) [27, 41]

425 *Definiamo con U l'energia interna del continuo e con Q il calore che esso scambia istan-*
 426 *taneamente con l'ambiente. Il primo principio della termodinamica si può scrivere nelle*
 427 *seguenti forme equivalenti*

$$\mathcal{P}_{\text{ext}} + Q = \dot{U} + \dot{\mathcal{K}} \quad Q = \mathcal{P}_{\text{int}} + \dot{U} \quad (2.56)$$

428 **Definizione 2.3.2** (Disuguaglianza entropica) [27, 41]

429 *Sia $\mathbf{x} \in \mathcal{B} \subset \mathcal{S}$. Indicata con $T(\mathbf{x}, t)$ la temperatura assoluta, con $\eta(\mathbf{x}, t)$ l'entropia per*
 430 *unità di massa e definita l'entropia totale come*

$$\mathcal{H} = \int_{\mathcal{B}} \rho(\mathbf{x}, t) \eta(\mathbf{x}, t) \, dV_{\mathbf{x}} \quad (2.57)$$

431 *la disuguaglianza entropica si scrive nella forma*

$$\dot{\mathcal{H}} \geq \frac{Q}{T} \quad (2.58)$$

432 **Definizione 2.3.3** (Energia libera di Helmholtz) [27, 41]

433 *Sia u la densità massica di energia interna, allora l'energia libera di Helmholtz è definita*
 434 *come*

$$\psi = u - T\eta \quad (2.59)$$

435 **Definizione 2.3.4** (Secondo principio della termodinamica)

436 *Definita l'energia Ψ come*

$$\Psi = \int_{\mathcal{B}} \psi \, dV_{\mathbf{x}} \quad (2.60)$$

437 *il secondo principio della termodinamica impone che*

$$\dot{\Psi} + \mathcal{P}_{\text{int}} \leq 0 \quad (2.61)$$

2.4 Principio di oggettività

Sia $\mathbf{X} \in \mathcal{B}_R$ un punto materiale nella configurazione di riferimento e $\mathbf{x} \in \mathcal{B} \subset \mathcal{S}$ un punto spaziale individuato nella configurazione corrente mediante l'applicazione $\chi(\mathbf{X}, t) = \mathbf{x} \in \mathcal{S}$, supposta sufficientemente regolare e invertibile [69]. Si vuole studiare quale sono le conseguenze della sovrapposizione di un moto rigido applicato su χ .

Denotato con \mathbf{x}_0 un polo fisso spaziale con $\tilde{\mathbf{x}} \in \mathcal{S}$ il punto individuato dopo l'applicazione del moto rigido a χ , abbiamo [41]

$$\tilde{\mathbf{x}} = \mathbf{x}_0 + \mathbf{Q}(t)(\mathbf{x} - \mathbf{x}_0) \quad (2.62)$$

dove \mathbf{Q} è una *rotazione propria* [41], cioè un tensore ortogonale con determinante positivo unitario.

Per semplicità, in questa sezione si utilizzerà il simbolo $\tilde{(\cdot)}$ per indicare l'applicazione di un moto rigido alla quantità (\cdot) . Studiare come il modello scritto per un fenomeno risponde all'applicazione di moti rigidi risulta di vitale importanza per verificare che il modelli fisico sia consistente [43, 51, 62, 89]. Per questo è necessario studiare le *leggi di trasformazione* delle quantità studiate, siano essi campi scalari o tensoriali [41, 46, 62, 83, 89].

Un campo scalare f risulta *invariante* rispetto all'applicazione di un moto rigido sovrapposto e vale

$$\tilde{f} = f \quad (2.63)$$

Dato un campo scalare g , si dice che esso *oggettivo* se [41]

$$\tilde{g} = \mathbf{Q}g \quad (2.64)$$

Infine, dato un campo tensoriale \mathbf{G} , esso è *oggettivo* se [41]

$$\tilde{\mathbf{G}} = \mathbf{Q}\mathbf{G}\mathbf{Q}^T \quad (2.65)$$

Si può dimostrare che dato un campo che soddisfa il principio di *oggettività* materiale [41], la sua rappresentazione rispetto alle basi che ruotano con il sistema di riferimento sono indipendenti dal sistema stesso [21, 41, 69, 89]. In base quanto a detto, si riportano le *leggi di trasformazione* dei seguenti campi tensoriali introdotti nei paragrafi precedenti [41]

$$\tilde{\mathbf{F}} = \mathbf{Q}\mathbf{F} \quad (2.66)$$

$$\tilde{\mathbf{C}} = \mathbf{C} \quad (2.67)$$

$$\tilde{\mathbf{E}} = \mathbf{E} \quad (2.68)$$

$$\tilde{\boldsymbol{\sigma}} = \mathbf{Q}\boldsymbol{\sigma}\mathbf{Q}^T \quad (2.69)$$

$$\tilde{\mathbf{P}} = \mathbf{Q}\mathbf{P} \quad (2.70)$$

$$\tilde{\mathbf{S}} = \mathbf{S} \quad (2.71)$$

461 2.5 Classi costitutive

462 Le leggi di bilancio fin'ora descritte sono valide per qualunque corpo che soddisfa le oppor-
 463 tune ipotesi di continuità. Le *classi costitutive* di un materiale, invece, fanno riferimento
 464 a una particolare classe di corpi che possono presentare dei comportamenti *simili*, ossia
 465 delle risposte concettualmente analoghe a un set di azioni esterne e/o interne [41]. Le
 466 *relazioni costitutive*, che si rendono necessarie per la chiusura delle equazioni di bilancio
 467 fin'ora introdotte [21], possono essere di diversa natura ma si fondano sulla ricerca di
 468 particolari *funzioni di risposta*. In generale, una funzione di risposta lega un campo \mathcal{Y} in
 469 termini di altri campi \mathcal{X}_i

$$\mathcal{Y}(\mathbf{X}, t) = \hat{\mathcal{Y}}(\mathcal{X}_1(\mathbf{X}, t), \dots, \mathcal{X}_n(\mathbf{X}, t), \mathbf{X}) \quad (2.72)$$

470 Il principio di oggettività è alla base del concetto di classi costitutive, in quanto *le equazioni*
 471 *costitutive devono essere oggettive*, pertanto si parla di *principio di indifferenza materiale*
 472 [21, 61, 62, 69], ossia la (2.72) deve essere invariante rispetto alla sovrapposizione di moti
 473 rigidi. Nel corso del lavoro, ci concentreremo sulla classe costitutiva inerente a quella dei
 474 solidi iperelastici.

475 2.5.1 Solido Iperelastico

476 Un continuo in cui lo sforzo è costitutivamente definito come funzione del gradiente di
 477 deformazione e del punto materiale è definito corpo *elastico semplice* [9, 41]

$$\mathbf{P} = \hat{\mathbf{P}}(\mathbf{F}(\mathbf{X}), \mathbf{X}) \quad (2.73)$$

478 Se, invece, lo sforzo è derivabile da una funzione costitutiva a partire dall'energia libera di
 479 Helmholtz, allora il corpo si dice *iperelastico* [9]. L'energia libera di Helmholtz è del tipo

$$\psi = \hat{\psi}(\mathbf{F}(\mathbf{X}), \mathbf{X}) \quad (2.74)$$

480 Per il principio di indifferenza materiale segue che [21, 61, 62, 69]

$$\hat{\psi}(\mathbf{F}(\mathbf{X}), \mathbf{X}) = \hat{\psi}(\mathbf{Q}\mathbf{F}(\mathbf{X}), \tilde{\mathbf{X}}) \quad (2.75)$$

$$\hat{\mathbf{P}}(\mathbf{F}(\mathbf{X}), \mathbf{X}) = \mathbf{Q}^T \hat{\mathbf{P}}(\mathbf{Q}\mathbf{F}(\mathbf{X}), \tilde{\mathbf{X}}) \quad (2.76)$$

481 il che si riduce a scrivere le relazioni costitutive nella forma [41]

$$\psi = \bar{\psi}(\mathbf{C}(\mathbf{X}), \mathbf{X}) \quad \mathbf{P} = \mathbf{F} \bar{\mathbf{S}}(\mathbf{C}(\mathbf{X}), \mathbf{X}) \quad (2.77)$$

482 2.5.2 Procedura di Coleman-Noll

483 La procedura di Coleman-Noll [16, 41] rappresenta una costante per la ricerca di relazioni
 484 costitutive *fisicamente coerenti* e si basa su principi dettati da restrizioni termodinamiche
 485 da implementare in congiunzione con il principio di oggettività. In particolare *tutte le*
 486 *relazioni costitutive devono essere in accordo con la disuguaglianza entropica* [41, 69, 89].

487 Supponendo per semplicità notazionale il caso di un corpo omogeneo, la disuguaglianza
 488 entropica si scrive come

$$\left[\left(2 \frac{\partial \bar{\psi}}{\partial \mathbf{C}} - \bar{\mathbf{S}} \right) \right] : \dot{\mathbf{C}} \leq 0 \quad (2.78)$$

489 la quale deve essere soddisfatta per ogni moto del corpo.

490 **Teorema 2.5.1** [9, 41] *Per un corpo iperelastico omogeneo, il secondo tensore di Piola-*
 491 *Kirchhoff si ottiene per derivazione del funzionale costitutivo dell'energia libera di Helm-*
 492 *holtz come segue*

$$\mathbf{S} = 2 \frac{\partial \psi^{\text{cost}}(\mathbf{C})}{\partial \mathbf{C}} \quad (2.79)$$

493 2.6 Simmetria materiale

494 **Definizione 2.6.1** (Gruppo delle rotazioni proprie) [41, 80]

495 *Sia $\mathbf{X} \in \mathcal{B}_{\mathbf{R}}$, definiamo gruppo di rotazioni proprie come*

$$\mathcal{R} : \{ \mathbf{H} \in \text{Unim} : \mathbf{H}\mathbf{H}^{\text{T}} = \mathbf{I}(\mathbf{X}) \} \quad (2.80)$$

496 *dove Unim rappresenta l'insieme dei tensori con determinanti positivo unitario e \mathbf{I} è il*
 497 *tensore identità.*

498 **Definizione 2.6.2** (Gruppo di simmetria del materiale)[41, 80]

499 *Sia $\mathbf{X} \in \mathcal{B}_{\mathbf{R}}$, si definisce gruppo di simmetria del materiale il gruppo*

$$\mathcal{G} = \{ \mathbf{H} \in \text{Unim} : \psi(\mathbf{F}(\mathbf{X})\mathbf{H}, \mathbf{X}) = \psi(\mathbf{F}(\mathbf{X}), \mathbf{X}) \} \quad (2.81)$$

500 *Analogamente, il principio di oggettività permette di riscrivere \mathcal{G} come*

$$\mathcal{G} = \{ \mathbf{H} \in \text{Unim} : \hat{\psi}(\mathbf{H}^{\text{T}}\mathbf{C}(\mathbf{X})\mathbf{H}, \mathbf{X}) = \hat{\psi}(\mathbf{C}(\mathbf{X}), \mathbf{X}) \} \quad (2.82)$$

501 In base alla definizione appena data, è possibile definire il concetto di materiale isotropo.

502 2.6.1 Materiale iperelastico isotropo

503 **Definizione 2.6.3** (Materiale isotropo) [41, 80]

504 *Un materiale si definisce isotropo in $\mathbf{X} \in \mathcal{B}_{\mathbf{R}}$ se*

$$\psi(\mathbf{H}^{\text{T}}\mathbf{C}(\mathbf{X})\mathbf{H}, \mathbf{X}) = \psi(\mathbf{C}(\mathbf{X}), \mathbf{X}) \quad \forall \mathbf{H} \in \mathcal{R}(\mathbf{X}) \quad (2.83)$$

505 *e quindi $\mathcal{G}(\mathbf{X}) = \mathcal{R}(\mathbf{X})$.*

506 Attraverso il teorema di rappresentazione, si può dimostrare che l'energia libera di Helm-
 507 holtz di un materiale iperelastico isotropo si possa scrivere come funzione dei tre invarianti
 508 principali del tensore destro di Cauchy-Green [9, 27, 61, 69].

509 **Definizione 2.6.4** (Invarianti principali del tensore destro di Cauchy-Green) [9, 27, 61,
510 69]

511 *I tre invarianti principali del tensore destro di Cauchy-Green \mathbf{C} sono definiti come segue:*

$$I_1 = \text{tr}\mathbf{C} = \mathbf{C} : \mathbf{I} \quad (2.84)$$

$$I_2 = \frac{1}{2} \left(I_1^2 - \text{tr}\mathbf{C}^2 \right) = \mathbf{C} : \mathbf{C} \quad (2.85)$$

$$I_3 = \det\mathbf{C} = J^2 \quad (2.86)$$

512 Quindi l'energia libera di Helmholtz per materiali elastici isotropi può essere riscritta
513 costitutivamente come

$$\psi = \bar{\psi}(I_1, I_2, I_3) \quad (2.87)$$

514 Il teorema (2.5.1) per un corpo iperelastico omogeneo permette di scrivere il secondo
515 tensore di Piola-Kirchhoff come [9, 27, 61, 69]

$$\begin{aligned} \mathbf{S} &= 2 \frac{\partial \bar{\psi}}{\partial \mathbf{C}}(I_1, I_2, I_3) \\ &= 2 \frac{\partial \bar{\psi}}{\partial I_1} \frac{\partial I_1}{\partial \mathbf{C}} + 2 \frac{\partial \bar{\psi}}{\partial I_2} \frac{\partial I_2}{\partial \mathbf{C}} + 2 \frac{\partial \bar{\psi}}{\partial I_3} \frac{\partial I_3}{\partial \mathbf{C}} \end{aligned} \quad (2.88)$$

516 Il calcolo delle derivate degli invarianti rispetto al secondo tensore destro di Cauchy-Green
517 porta ai seguenti risultati [9, 61]:

$$\frac{\partial I_1}{\partial \mathbf{C}} = \mathbf{I} \quad (2.89)$$

$$\frac{\partial I_2}{\partial \mathbf{C}} = 2\mathbf{C} \quad (2.90)$$

$$\frac{\partial I_3}{\partial \mathbf{C}} = J^2 \mathbf{C}^{-1} \quad (2.91)$$

518 2.6.2 Materiale iperelastico trasversalmente isotropo

519 Sulla linea delle definizioni appena date, introduciamo il concetto di materiale trasversal-
520 mente isotropo che rientra nella categoria più ampia di materiale *anisotropo* [23, 24, 25,
521 26, 30, 42, 47, 48, 49, 77].

522 **Definizione 2.6.5** (Materiale iperelastico trasversalmente isotropo) [48, 74]

523 *Sia $\mathbf{X} \in \mathcal{B}_R$ e sia \mathbf{M}_X un versore riferito alla configurazione \mathcal{B}_R e attaccato a \mathbf{X} .
524 Definito il seguente gruppo*

$$\mathcal{R}(\mathbf{M}_X) = \{ \mathbf{H} \in \mathcal{R}(\mathbf{X}) : \mathbf{H}\mathbf{M}_X = \mathbf{M}_X \} \quad (2.92)$$

525 *diciamo che un materiale iperelastico è trasversalmente isotropo rispetto a \mathbf{M}_X in \mathbf{X} se*

$$\psi(\mathbf{F}(\mathbf{X})\mathbf{H}, \mathbf{H}\mathbf{M}_X) = \psi(\mathbf{F}(\mathbf{X}), \mathbf{M}_X) \quad \forall \mathbf{H} \in \mathcal{R}(\mathbf{M}_X) \quad (2.93)$$

526 L'energia libera di Helmholtz per materiali iperelastici trasversalmente isotropi può essere
 527 riscritta in funzione dei tre invarianti principali del tensore destro di Cauchy-Green e altri
 528 due invarianti definiti come segue.

529 **Definizione 2.6.6** (Ulteriori invarianti per materiali iperelastici trasversalmente isotro-
 530 pi), [48, 74]

531 Sia $\mathbf{X} \in \mathcal{B}_R$, sia \mathbf{M}_X un versore riferito alla configurazione \mathcal{B}_R e attaccato a \mathbf{X} e sia \mathbf{M}
 532 il corrispondente campo riferito alla configurazione \mathcal{B}_R . Si definiscono altri due invarianti
 533 del tensore destro di Cauchy-Green \mathbf{C} :

$$I_4 = \mathbf{C} : (\mathbf{M} \otimes \mathbf{M}) \quad (2.94)$$

$$I_5 = \mathbf{C}^2 : (\mathbf{M} \otimes \mathbf{M}) \quad (2.95)$$

534 Per un materiale iperelastico trasversalmente isotropo, l'energia libera di Helmholtz è data
 535 costitutivamente a partire dai cinque invarianti introdotti fin'ora

$$\psi = \bar{\psi}(I_1, I_2, I_3, I_4, I_5) \quad (2.96)$$

536 Il teorema (2.57) per un corpo iperelastico omogeneo permette di scrivere il secondo
 537 tensore di Piola-Kirchhoff come [48, 74]

$$\begin{aligned} \mathbf{S} &= 2 \frac{\partial \bar{\psi}}{\partial \mathbf{C}}(I_1, I_2, I_3, I_4, I_5) \\ &= \left(2 \frac{\partial \bar{\psi}}{\partial I_1} \frac{\partial I_1}{\partial \mathbf{C}} + 2 \frac{\partial \bar{\psi}}{\partial I_2} \frac{\partial I_2}{\partial \mathbf{C}} + 2 \frac{\partial \bar{\psi}}{\partial I_3} \frac{\partial I_3}{\partial \mathbf{C}} + 2 \frac{\partial \bar{\psi}}{\partial I_4} \frac{\partial I_4}{\partial \mathbf{C}} + 2 \frac{\partial \bar{\psi}}{\partial I_5} \frac{\partial I_5}{\partial \mathbf{C}} \right) \end{aligned} \quad (2.97)$$

538 Il calcolo delle derivate degli invarianti rispetto al secondo tensore destro di Cauchy-Green
 539 porta ai seguenti risultati:

$$\frac{\partial I_4}{\partial \mathbf{C}} = \mathbf{M} \otimes \mathbf{M} \quad (2.98)$$

$$\frac{\partial I_5}{\partial \mathbf{C}} = (\mathbf{M} \otimes \mathbf{M}) \mathbf{C} + \mathbf{C} (\mathbf{M} \otimes \mathbf{M}) \quad (2.99)$$

Capitolo 3

Relazioni Costitutive

In questo capitolo si introducono le relazioni costitutive che verranno usate nel corso del lavoro proposto [9, 41, 69, 89]. In particolare, si introduce il modello di solido *Neo-Hookeano quasi-incomprimibile* per modellizzare un comportamento microstrutturalmente isotropo e si fornisce una forma costitutiva della densità di energia per un solido trasversalmente isotropo.

3.1 Modello Neo-Hookeano quasi-incomprimibile

Definizione 3.1.1 (Parte distorsionale del tensore destro di Cauchy-Green) [9, 41]
Sia \mathbf{C} il tensore destro di Cauchy-Green, si definisce la sua parte distorsionale come

$$\bar{\mathbf{C}} = I_3^{-1/3} \mathbf{C} = (\det \mathbf{C})^{-1/3} \mathbf{C} \quad (3.1)$$

Definiamo l'energia di deformazione elastica di un corpo iperelastico isotropo omogeneo quasi incomprimibile in funzione del tensore destro di Cauchy-Green \mathbf{C} . L'equazione costitutiva, che fa riferimento al modello *Neo-Hookeano quasi-incomprimibile* [9, 31, 75], si scrive come additivamente composto da una parte distorsionale $\hat{\psi}$ e da una parte volumetrica U

$$\psi^{\text{NH}} = \hat{\psi}(\bar{\mathbf{C}}) + U(J) \quad (3.2)$$

La parte distorsionale $\hat{\psi}$ è definita come

$$\hat{\psi}(\bar{\mathbf{C}}) = \frac{1}{2} \mu (\text{tr} \bar{\mathbf{C}} - 3) \quad (3.3)$$

da cui segue che la parte distorsionale del secondo tensore degli sforzi di Piola-Kirchhoff si ottiene derivando il funzionale appena introdotto [9]

$$\begin{aligned} \bar{\mathbf{S}} &= 2 \frac{\partial \hat{\psi}}{\partial \bar{\mathbf{C}}} \\ &= \mu \frac{\partial}{\partial \bar{\mathbf{C}}} \left((\det \mathbf{C})^{-1/3} \mathbf{C} : \mathbf{I} \right) \\ &= \mu (\det \mathbf{C})^{-1/3} \left(\mathbf{I} - \frac{1}{3} \text{tr} \mathbf{C} \mathbf{C}^{-1} \right) \end{aligned} \quad (3.4)$$

558 La parte volumetrica U è definita in funzione del determinante del gradiente di deformatio-
 559 ne $J = \det \mathbf{F}$ ed esplica un termine chiamato nella letteratura come numero *penalizzatore*
 560 [9], indicato con κ

$$U(J) = \frac{1}{2}\kappa(J - 1)^2 \quad (3.5)$$

561 κ è generalmente dell'ordine di $(10^3 \div 10^4)\mu$ e rafforza l'aspetto di incomprimibilità del
 562 modello. La parte volumetrica del secondo tensore degli sforzi di Piola-Kirchhoff viene
 563 così calcolata

$$\mathbf{S}^{\text{vol}} = \kappa \sqrt{\det \mathbf{C}} (\sqrt{\det \mathbf{C}} - 1) \mathbf{C}^{-1} \quad (3.6)$$

564 Il tensore degli sforzi totali di Piola-Kirchhoff si scrive come somma della parte volumetrica
 565 e deviatorica

$$\mathbf{S} = \mathbf{S}^{\text{vol}} + \bar{\mathbf{S}} \quad (3.7)$$

566 3.2 Modello Neo-Hookeano quasi-incomprimibile per 567 materiali trasversalmente isotropi

568 La descrizione di un materiale iperelastico trasversalmente isotropo omogeneo prevede che
 569 l'energia libera di Helmholtz sia scritta costitutivamente in funzione di cinque invarianti
 570 [8, 79] come espresso nella (2.96)

$$\psi = \hat{\psi}(I_1, I_2, I_3, I_4, I_5) \quad (3.8)$$

571 Il modello adottato nel seguente lavoro definisce l'energia libera di Helmholtz come compo-
 572 sta additivamente da una parte dipendente dai primi tre invarianti (e che quindi costituisce
 573 la parte isotropa) e una parte che dipende costitutivamente dai rimanenti invarianti [8, 79]

$$\psi = \hat{\psi}(I_1, I_2, I_3) + \hat{\psi}(I_4, I_5) \quad (3.9)$$

574 Per la parte isotropa si fa riferimento alla forma di energia Neo-Hookeana quasi incompri-
 575 mibile definita in (3.2). Per la parte anisotropa la rispettiva energia libera di Helmholtz
 576 si scrive come

$$\psi^{\text{An}} = \hat{\psi}(I_4, I_5) = \frac{1}{4}\alpha_1(I_4 - 1)^2 + \frac{1}{4}\alpha_2(I_5 - 1)^2 \quad (3.10)$$

577 Si considera il caso in cui il contributo più significativo sia quello dipendente dal quarto
 578 invariante [65, 66], quindi la parte anisotropa dell'energia si riscrive come

$$\psi^{\text{An}} = \hat{\psi}(I_4) = \frac{1}{4}\alpha_1(I_4 - 1)^2 \quad (3.11)$$

579 dove I_4 si scrive a partire dal vettore direzione della *fibra principale*, ossia della direzione di
 580 trasversa isotropia [8, 23, 24, 25, 26, 39, 65, 66, 79]. Secondo la (2.94), il quarto invariante

581 I_4 , definito a partire dal tensore destro di Cauchy-Green \mathbf{C} e dalla direzione di *trasversa*
 582 *isotropia* \mathbf{M} , si definisce come [8, 65, 66, 79]

$$I_4 = \mathbf{C} : (\mathbf{M} \otimes \mathbf{M}) \quad (3.12)$$

583 Data una terna ortogonale tridimensionale $\{\mathbf{e}_i\}_{i=1}^3$, il vettore \mathbf{M} si scrive in coordinate
 584 sferiche come

$$\mathbf{M} = \cos \Theta \sin \Phi \mathbf{E}_1 + \sin \Theta \sin \Phi \mathbf{E}_2 + \cos \Phi \mathbf{E}_3 \quad (3.13)$$

585 Pertanto, I_4 e la parte anisotropa dell'energia ψ^{An} si riscrivono costitutivamente in fun-
 586 zione degli angoli (Θ, Φ) e del tensore destro di Cauchy-Green

$$I_4 = \hat{I}_4(\mathbf{C}, \Theta, \Phi) \quad \psi^{\text{An}} = \hat{\psi}^{\text{An}}(\mathbf{C}, \Theta, \Phi) \quad (3.14)$$

587 Il quarto invariante, usando la notazione di Einstein, si riscrive operativamente come:

$$I_4(\mathbf{C}, \Theta, \Phi) = C_{AB} M_A(\Theta, \Phi) M_B(\Theta, \Phi) \quad (3.15)$$

588 Il secondo tensore degli sforzi di Piola-Kirchhoff per la parte anisotropa [8, 65, 66, 79] è
 589 ottenuto per derivazione della parte anisotropa dell'energia, come definito in (2.97)

$$\mathbf{S}^{\text{An}} = \alpha_1 [(I_4 - 1) \mathbf{M} \otimes \mathbf{M}] \quad (3.16)$$

590 Il tensore degli sforzi di Piola-Kirchhoff totale si scrive come somma della parte Neo-
 591 Hookeana quasi incomprimibile e della parte anisotropa

$$\mathbf{S} = \mathbf{S}^{\text{NH}} + \mathbf{S}^{\text{An}} \quad (3.17)$$

592 Per lo studio che verrà affrontato nella sezione successiva, si ricorda la relazione tra il
 593 primo e il secondo tensore degli sforzi di Piola-Kirchhoff

$$\mathbf{P} = \mathbf{F}\mathbf{S} \quad (3.18)$$

Capitolo 4

Comportamento attivo della cellula

La cellula riorganizza le proprie strutture in risposta agli stimoli meccanici cui è sottoposta, tentando di raggiungere una configurazione che ottimizzi la distribuzione degli stress: sotto sforzo, la cellula si *deforma come corpo geometrico* e si *ri-orienta come corpo anisotropo* (fibroso ad esempio)[40]. Pertanto, le *variabili di rimodellamento* (come, nel nostro caso, gli angoli (Θ, Φ) definiti nella (3.13)) rappresentano *a priori* delle variabili *costitutive* legate all'anisotropia microstrutturale della cellula, mentre *a posteriori* la loro dipendenza temporale (e quindi il loro rimodellamento) è manifestazione anche della *configurazione* del sistema [39].

In questa sezione, siamo interessati a studiare quale siano gli effetti del rimodellamento attuato attivamente dalle cellule biologiche [2, 3, 4, 17, 20, 28, 29, 36, 39, 40, 49, 57, 77, 78, 85, 90, 91]. Dopo aver derivato le equazioni generali di rimodellamento per un set di variabili tempo dipendenti, si adatta il modello al caso di interesse del lavoro proposto.

4.1 Equazioni di rimodellamento

Riprendendo la (2.54), si introduce il *principio dei lavori virtuali* [9, 32, 69].

Definizione 4.1.1 Principio dei lavori virtuali

Per processi quasi-statici, la somma delle potenze interne ed esterne è nulla per ogni velocità cinematicamente ammissibile

$$\tilde{\mathcal{P}}_{\text{int}} + \tilde{\mathcal{P}}_{\text{ext}} = 0 \quad (4.1)$$

In forma generale, il continuo $\mathcal{C}(t) \subset \mathcal{B}(t)$ può essere sottoposto a densità di forze di volume \mathbf{b} e sforzi \mathbf{t} . Nel nostro caso, una particolare attenzione è data agli effetti del rimodellamento attivo della cellula, che modellizziamo matematicamente come *forze di rimodellamento interne ed esterne* [39, 40, 77], che indichiamo rispettivamente con \mathbf{y} , \mathbf{h} . Supponiamo, inoltre, che esistano delle *variabili* che possano evolvere in tempo e che

619 collezioniamo in un vettore \mathbf{m} . A partire dalla definizione delle velocità generalizzate
 620 [39, 40, 77]

$$\mathbf{v} = \frac{\partial \mathcal{X}}{\partial t}(\mathbf{X}, t) \quad \boldsymbol{\omega} = \frac{\partial \mathbf{m}}{\partial t}(\mathbf{X}, t) \quad (4.2)$$

621 per adoperare il principio dei lavori virtuali, si introduce un set di velocità cinematicamente
 622 ammissibili che indichiamo con $(\tilde{\mathbf{v}}, \tilde{\boldsymbol{\omega}})$.
 623 Identifichiamo la potenza esterna come [39, 40, 77]

$$\tilde{\mathcal{P}}_{\text{ext}} = \int_{\mathcal{B}(t)} (\mathbf{b} \cdot \tilde{\mathbf{v}} + \mathbf{h} \cdot \tilde{\boldsymbol{\omega}}) dV_{\mathbf{x}} + \int_{\partial \mathcal{B}(t)} \mathbf{t} \cdot \tilde{\mathbf{v}} dA_{\mathbf{x}} \quad (4.3)$$

624 La potenza interna è definita, in linea con la (2.55) come

$$\tilde{\mathcal{P}}_{\text{int}} = - \int_{\mathcal{B}(t)} (\boldsymbol{\sigma} : \text{grad } \tilde{\mathbf{v}} + \mathbf{y} \cdot \tilde{\boldsymbol{\omega}}) dV_{\mathbf{x}} \quad (4.4)$$

625 Il principio dei lavori virtuali (4.1) porta alle seguenti equazioni di bilancio localizzate

$$\text{div } \boldsymbol{\sigma} + \mathbf{b} = \mathbf{0} \quad (4.5)$$

$$\boldsymbol{\sigma} \cdot \mathbf{n} = \mathbf{t} \quad (4.6)$$

$$\mathbf{y} = \mathbf{h} \quad (4.7)$$

626 dove \mathbf{n} è il versore normale uscente da $\partial \mathcal{B}(t)$. Le prime due equazioni (4.5, 4.6) sono
 627 le stesse equazioni per il bilancio di impulso che avevamo ottenuto in forma *Euleriana*
 628 (2.38), mentre l'ultima è legata all'effetto di rimodellamento che intendiamo studiare.
 629 In forma *Lagrangiana* le (4.5-4.7) si riscrivono [39, 40, 77]

$$\text{Div } \mathbf{P} + \mathbf{B} = \mathbf{0} \quad (4.8)$$

$$\mathbf{P} \cdot \mathbf{N} = \hat{\mathbf{t}} \quad (4.9)$$

$$\mathbf{Y} = \mathbf{H} \quad (4.10)$$

630 dove \mathbf{N} è il versore normale uscente da $\partial \mathcal{B}_R$, il campo $\mathbf{B}, \mathbf{Y}, \mathbf{H}$ sono rispettivamente
 631 la densità di forze di volume, la densità di forze di rimodellamento interna ed esterna
 632 applicate al continuo nella sua configurazione di riferimento \mathcal{B}_R .

633 4.1.1 Riflessioni termodinamiche

634 Una volta fissata l'equazione costitutiva per l'energia libera di Helmholtz ψ

$$\Psi(\mathbf{C}, \mathbf{m}) = \int_{\mathcal{C}_R} \psi(\mathbf{C}, \mathbf{m}) dV_{\mathbf{X}} \quad \mathcal{C}_R \subset \mathcal{B}_R \quad (4.11)$$

635 il soddisfacimento del secondo principio della termodinamica impone che

$$\dot{\Psi} + \mathcal{P}_{\text{int}} \leq 0 \quad (4.12)$$

636 Supposto che (4.12) valga $\forall \mathcal{C}_R \subset \mathcal{B}_R$, in forma locale *lagrangiana* scriviamo che

$$\dot{\psi} - \mathbf{Y} \cdot \dot{\mathbf{m}} \leq 0 \quad (4.13)$$

637 In particolare, la derivata temporale dell'energia libera di Helmholtz si scrive tenendo
638 conto della dipendenza temporale di \mathbf{m}

$$\dot{\psi}(t) = \left[\frac{\partial \psi}{\partial \mathbf{m}}(\mathbf{m}(t)) \right] \cdot \dot{\mathbf{m}}(t) \quad (4.14)$$

639 per cui la (4.13) si riscrive (riorganizzando i segni) come [39, 40, 77]

$$\left[\mathbf{Y}(t) - \frac{\partial \psi}{\partial \mathbf{m}}(\mathbf{m}(t)) \right] \cdot \dot{\mathbf{m}}(t) \geq 0 \quad (4.15)$$

640 4.1.2 Forza di rimodellamento e configurazione target

641 Secondo quanto modellizzato in [39, 40, 77], posto nella (4.15)

$$\mathbf{Y}_d(t) = \mathbf{Y}(t) - \frac{\partial \psi}{\partial \mathbf{m}}(\mathbf{m}(t)) \quad (4.16)$$

642 e denotando tale quantità come *parte dissipativa della forza di rimodellamento*, imponiamo
643 per $\mathbf{Y}_d(t)$ una relazione costitutiva nella forma

$$\mathbf{Y}_d(t) = \mathcal{Y}_d(\mathbf{m}(t), \dot{\mathbf{m}}(t)) \quad (4.17)$$

644 Supponiamo che tale relazione costitutiva per \mathbf{Y}_d si possa scrivere mediante l'introduzione
645 di una funzione non negativa \mathbf{K} e tale per cui

$$\mathbf{Y}_d(t) = [\mathbf{K}(\mathbf{m}(t))] \cdot \dot{\mathbf{m}}(t) \quad (4.18)$$

646 Ricordando la (4.16), l'equazione (4.18) si riscrive come

$$[\mathbf{K}(\mathbf{m}(t))] \cdot \dot{\mathbf{m}}(t) = \mathbf{H}(t) - \frac{\partial \psi}{\partial \mathbf{m}}(\mathbf{m}(t)) \quad (4.19)$$

647 Rimane da definire la forza di rimodellamento esterna \mathbf{H} . Nel caso più semplice, essa
648 può essere nulla o trascurabile [13]; oppure può essere dettata dal tentativo del sistema di
649 raggiungere istantaneamente una *configurazione target*, identificata per ogni istante t da
650 un set di *variabili configurazionali* del tipo \mathbf{m}_T , per cui

$$\mathbf{H}(t) = \frac{\partial \psi}{\partial \mathbf{m}}(\mathbf{m}_T(t)) \quad (4.20)$$

651 Pertanto, la (4.19) si riscrive come

$$[\mathbf{K}(\mathbf{m}(t))] \cdot \dot{\mathbf{m}}(t) = \frac{\partial \psi}{\partial \mathbf{m}}(\mathbf{m}_T(t)) - \frac{\partial \psi}{\partial \mathbf{m}}(\mathbf{m}(t)) \quad (4.21)$$

652 Analizzando la (4.21), mentre il secondo termine a secondo membro è funzione esclusiva
653 dalla scelta *costitutiva* della densità di energia del corpo soggetto a rimodellamento, il
654 primo termine a secondo membro è dettato interamente da aspetti *configurazionali*, come
655 ad esempio la particolare distribuzione degli sforzi che caratterizza la configurazione del
656 sistema ad ogni istante t [39, 40].

657 4.2 Applicazione al caso di interesse

658 Nel corso del seguente lavoro, siamo interessati a studiare in che modo la cellula si ri-orienta
 659 a seguito degli stimoli meccanici cui è sottoposta. Poichè spesso la cellula è modellizzata
 660 come materiale *fibroso*, quando si parla di orientazione cellulare si studia come la direzione
 661 delle fibre principali evolve nel tempo. Denotiamo con \mathbf{M} il versore (nel primo quadrante)
 662 che definisce l'orientazione media delle fibre della cellula in un sistema di riferimento in
 663 cui gli assi x, y coincidono con le direzioni principali delle deformazioni, come in Fig.4.1.
 664 Il versore \mathbf{M} è definito in coordinate polari in funzione dell'angolo Θ che esso forma con
 665 l'asse x

$$\mathbf{M} = \cos \Theta \mathbf{E}_1 + \sin \Theta \mathbf{E}_2 + 0 \mathbf{E}_3 \quad (4.22)$$

666 Secondo tali premesse, è possibile identificare l'angolo Θ come variabile interessata dal
 667 rimodellamento cellulare. Per cui, la (4.15) si presenta come

$$\left[Y(t) - \frac{\partial \psi}{\partial \Theta}(\Theta(t)) \right] \dot{\Theta}(t) \geq 0 \quad (4.23)$$

668 Analogamente, la (4.21) si riscrive nella forma

$$K(\mathbf{C}, \Theta) \dot{\Theta} = \frac{\partial \psi}{\partial \Theta}(\mathbf{C}, \Theta_T) - \frac{\partial \psi}{\partial \Theta}(\mathbf{C}, \Theta) \quad (4.24)$$

669 dove l'*angolo target* Θ_T è individuato ad ogni passo temporale in funzione della configu-
 670 razione del sistema, ad esempio in base alla direzione di *massimo sforzo*.

671 Nel caso in cui la forza di rimodellamento sia identicamente nulla, la (4.24) si riscrive
 672 come:

$$K_{\Theta\Theta} \dot{\Theta} = -\frac{\partial \psi}{\partial \Theta} \quad (4.25)$$

673 Si rende necessario svolgere una analisi di stabilità come quella condotta in [65, 66], adat-
 674 tandola al caso specifico di materiali trasversalmente isotropi.

675

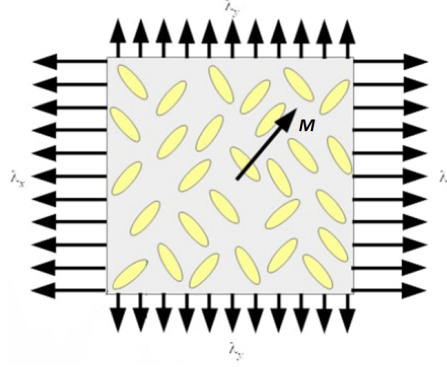


Figura 4.1. Schematizzazione del problema bidimensionale. Con M si indica la direzione (nel primo quadrante) della cella rispetto al sistema in cui gli assi x, y sono dirette secondo la direzione principale delle deformazioni [66].

676 4.3 Analisi di stabilità dell'energia elastica

677 Supponiamo che l'energia elastica del materiale sia scritta costitutivamente in funzione
 678 dei tre invarianti principali (I_1, I_2, I_3) del tensore destro di Cauchy-Green C e di ulteriori
 679 due invarianti (I_4, I_5) definiti a partire dal tensore C e dal versore M , che identifica
 680 l'orientazione della cella in un sistema di riferimento in cui gli assi x, y coincidono con
 681 le direzioni principali delle deformazioni, come in Fig.4.1. Pertanto l'energia elastica ψ si
 682 può scrivere costitutivamente come

$$\psi = \tilde{\psi}(I_1, I_2, I_3, I_4, I_5) \quad (4.26)$$

683 In particolare, si consideri il caso in cui la densità di energia elastica ψ si possa scrivere
 684 come additivamente costitutiva da una parte $\hat{\psi}$, funzione dei primi tre invarianti, e da una
 685 parte $\hat{\hat{\psi}}$ funzione dei due invarianti rimanenti

$$\psi = \hat{\psi}(I_1, I_2, I_3) + \hat{\hat{\psi}}(I_4, I_5) \quad (4.27)$$

686 nello specifico, introduciamo due parametri materiali α_1, α_2 che permettono di riscrivere
 687 la (4.27) nella forma

$$\psi = \hat{\psi}(I_1, I_2, I_3) + \frac{1}{4}\alpha_1(I_4 - 1)^2 + \frac{1}{4}\alpha_2(I_5 - 1)^2 \quad (4.28)$$

688 Si riportano di seguito le definizioni dei cinque invarianti introdotti nella (4.26):

$$I_1 = \text{tr}C = C : I \quad (4.29)$$

$$I_2 = \frac{1}{2} \left(I_1^2 - \text{tr}C^2 \right) = C : C \quad (4.30)$$

$$I_3 = \det C = J^2 \quad (4.31)$$

$$I_4 = C : (M \otimes M) \quad (4.32)$$

$$I_5 = C^2 : (M \otimes M) \quad (4.33)$$

689 Orientando l'asse x e l'asse y secondo le direzioni principali di stiramento, il tensore destro
 690 di Cauchy-Green ammette la seguente rappresentazione matriciale

$$[\mathbf{C}] = \begin{bmatrix} \lambda_x & 0 & 0 \\ 0 & \lambda_y & 0 \\ 0 & 0 & \lambda_z \end{bmatrix} \quad (4.34)$$

691 con le condizioni che $\lambda_x > \lambda_y$, $\lambda_x > 1$.

692 Mentre i primi tre invarianti (I_1, I_2, I_3) non dipendono costitutivamente dall'angolo Θ , il
 693 quarto e il quinto invariante, viste la (4.34) e la (4.22), si riscrivono come

$$I_4 = \lambda_x \cos^2 \Theta + \lambda_y \sin^2 \Theta = (\lambda_x - \lambda_y) \cos^2 \Theta + \lambda_y \quad (4.35)$$

$$I_5 = \lambda_x^2 \cos^2 \Theta + \lambda_y^2 \sin^2 \Theta = (\lambda_x^2 - \lambda_y^2) \cos^2 \Theta + \lambda_y^2 \quad (4.36)$$

694 Se si suppone l'indipendenza da \mathbf{C}^2 [65, 66], è possibile trascurare il contributo del quinto
 695 invariante nella definizione costitutiva della densità di energia elastica. Pertanto, la (4.25)
 696 porta a scrivere la derivata dell'energia elastica rispetto alla variabile di rimodellamento
 697 Θ come

$$\begin{aligned} \frac{\partial \psi}{\partial \Theta} &= \frac{\partial \hat{\psi}}{\partial \Theta}(I_1, I_2, I_3) + \frac{\partial \hat{\psi}}{\partial \Theta}(I_4, I_5) \\ &= \frac{\partial \hat{\psi}}{\partial \Theta}(I_4) \end{aligned} \quad (4.37)$$

698 e nello specifico

$$\frac{\partial \hat{\psi}}{\partial \Theta} = \frac{1}{2} \alpha_1 (I_4 - 1) \frac{\partial I_4}{\partial \Theta} \quad (4.38)$$

699 Il calcolo della derivata di I_4 rispetto all'angolo Θ [8, 65, 66, 79] conduce alla seguente
 700 relazione:

$$\frac{\partial I_4}{\partial \Theta} = 2\mathbf{C} : \left(\frac{\partial \mathbf{M}}{\partial \Theta} \otimes \mathbf{M} \right) = 2(\lambda_y - \lambda_x) \cos \Theta \sin \Theta \quad (4.39)$$

701 Calcolare quali valori di Θ annullano la (4.38) permette di identificare i punti di stazio-
 702 narietà della parte anisotropa dell'energia elastica:

$$\alpha_1 (\lambda_y - \lambda_x) \left[(\lambda_x - \lambda_y) \cos^2 \Theta + \lambda_y \right] \cos \Theta \sin \Theta = 0 \quad (4.40)$$

703 Nel caso in cui $\lambda_x = \lambda_y$ non si osserva una direzione principale di orientazione [93]; inoltre, i
 704 punti di stazionarietà non sono influenzati dal parametro materiale α_1 . L'equazione (4.40)
 705 permette di identificare tre punti stazionari tali per cui

$$\Theta = 0 \quad \cos^2 \Theta_{\text{obl}} = \frac{1 - \lambda_y}{\lambda_x - \lambda_y} \quad \Theta = \frac{\pi}{2} \quad (4.41)$$

706 Dalla definizione di rapporto di stiramento biassiale

$$\mathcal{R} = -\frac{\varepsilon_y}{\varepsilon_x} \quad (4.42)$$

707 e ricordando che $\lambda_x = 1 + \varepsilon_x$, $\lambda_y = 1 - \mathcal{R}\varepsilon_x$, allora la (4.41) si riscrive come

$$\Theta = 0 \quad \cos^2 \Theta_{\text{obl}} = \frac{\mathcal{R}}{1 + \mathcal{R}} \quad \Theta = \frac{\pi}{2} \quad (4.43)$$

708 Imponendo la positività della derivata seconda della densità di energia elastica rispetto a
709 Θ

$$\frac{\partial^2 \hat{\psi}}{\partial \Theta^2} = \frac{1}{2} \alpha_1 \left[\left(\frac{\partial I_4}{\partial \Theta} \right)^2 + \frac{\partial^2 I_4}{\partial \Theta^2} (I_4 - 1) \right] \geq 0 \quad (4.44)$$

710 si ottengono le seguenti condizioni di stabilità:

$$\begin{aligned} \Theta = 0 & \quad \text{STABILE SSE} \quad \frac{1}{1+\mathcal{R}} < 0 \\ \Theta = \Theta_{\text{obl}} & \quad \text{STABILE SSE} \quad \frac{1}{1+\mathcal{R}} \in [0, 1] \\ \Theta = \frac{\pi}{2} & \quad \text{STABILE SSE} \quad \frac{1}{1+\mathcal{R}} > 1 \end{aligned} \quad (4.45)$$

711 In particolare, se si considera il caso di solidi incomprimibili o quasi-incomprimibili, allora
712 essendo $\mathcal{R} \approx 0.5$ si ritrova il punto di equilibrio stabile non banale $\Theta_{\text{obl}} \approx 55^\circ$.

713 **Osservazione:** i risultati ottenuti dall'analisi di stabilità condotta, possono essere ge-
714 neralizzati al caso in cui la densità di energia elastica ψ dipenda da ulteriori invarianti
715 [65, 66], nella forma

$$\psi = \tilde{\psi}(I_1, I_2, I_3, I_4, I_5, I_6, I_7, I_8) \quad (4.46)$$

716 dove gli invarianti I_6, I_7, I_8 sono definiti a partire dalla direzione \mathbf{M}_\perp perpendicolare a
717 \mathbf{M} , in particolare

$$I_6 = \mathbf{C} : (\mathbf{M}_\perp \otimes \mathbf{M}_\perp) \quad (4.47)$$

$$I_7 = \mathbf{C}^2 : (\mathbf{M}_\perp \otimes \mathbf{M}_\perp) \quad (4.48)$$

$$I_8 = \mathbf{C} : (\mathbf{M}_\perp \otimes \mathbf{M}) \quad (4.49)$$

718 Denotato con $\mathbf{I} := (I_4 - 1, I_5 - 1, I_6 - 1, I_7 - 1, I_8 - 1)$ e con \mathbb{K} una matrice simmetrica
719 scritta in generale a partire da coefficienti e parametri materiali [66], la (4.46) si riscrive
720 come

$$\psi(I_1, I_2, I_3, I_4, I_5) = \hat{\psi}(I_1, I_2, I_3) + \frac{1}{2} \mathbf{I} \cdot \mathbb{K} \mathbf{I} \quad (4.50)$$

721 Trascurando la dipendenza da \mathbf{C}^2 ($k_{45} = k_{47} = k_{55} = k_{56} = k_{57} = k_{67} = k_{77} = 0$), si
722 ottengono tre punti stazionari $\Theta = 0$, $\Theta = \pi/2$ e $\Theta = \Theta_{\text{obl}}$ tale che

$$\cos^2 \Theta_{\text{obl}} = \frac{1}{2} + \frac{k_{44} - k_{66}}{k_{44} + k_{66} - 2k_{46} - k_{88}} \left(\frac{1}{2} - \frac{\lambda_x - 1}{\lambda_y - \lambda_y} \right) \quad (4.51)$$

723 Per una approfondita analisi di stabilità per il caso di energia definita come in (4.46), si
724 rimanda agli articoli di Lucci et Al. [65, 66].

725 **Conclusioni:** in questa sezione, si è sottolineato il ruolo *costitutivo* rivestito dall'angolo
726 Θ , che definisce la direzione di trasversa isotropia. Tuttavia, l'analisi di stabilità condot-
727 ta sulla parte anisotropa dell'energia elastica della cellula sembra prescindere da aspetti
728 *configurazionali* legati, ad esempio, da come la cellula si dispone nel (o sul) substrato,
729 concentrando la propria attenzione sul comportamento della sola cellula prima ancora che
730 essa venga studiata in relazione con il substrato. In generale, nel momento in cui la cellula
731 è studiata tenendo conto anche del comportamento del substrato, la configurazione del
732 sistema gioca un ruolo altrettanto fondamentale. Per maggiore chiarezza, si riporta un
733 concetto inerente alla definizione di rimodellamento proposta in [39]:

734 “*When a tissue deforms, its mechanical properties evolve in time. The deformation, in-*
735 *deed, drives the reorientation of the fibres, thereby modulating the mechanical behaviour*
736 *of the tissue also in response to the changes in its internal structure. If the deformation*
737 *is the only responsible for this structural reorganisation, the evolution of the fibre pattern*
738 *may be said to be a passive consequence of the deformation. If, however, as suggested in*
739 *[20], a tissue is supposed to possess also structural degrees of freedom, which exist inde-*
740 *pendently of deformation, then the reorientation of the fibres becomes part of the tissue*
741 *dynamics, and it interacts with the deformation and stress. This interaction, in turn, may*
742 *manifest itself in several ways, among which a relevant one is given by the identification*
743 *of a stress-driven pattern of fibre arrangement.”*

744 Secondo l'ottica proposta in [13, 20, 39, 40], la ri-orientazione cellulare, in generale,
745 non solo non può prescindere dalla *configurazione* del sistema, ma ne risulta *intimamente*
746 legata. La sezione successiva, dedicata alle simulazioni numeriche, si propone di mettere
747 in luce come l'aspetto *configurazionale*, in congiunzione con quello *costitutivo*, giochi un
748 ruolo importante nella descrizione nella comprensione del fenomeno.

Capitolo 5

Simulazioni numeriche

In questa sezione, si riportano i risultati delle simulazioni numeriche svolte mediante l'impiego del Software ad elementi finiti COMSOL MULTIPHYSICS. Per tutte le simulazioni si considera il substrato isotropo quasi-incomprimibile, con energia libera di Helmholtz data costitutivamente da

$$\psi_{\text{sub}}^{\text{NH}} = \frac{1}{2}\mu_{\text{sub}} \left(\text{tr}\overline{\mathbf{C}} - 3 \right) + \frac{1}{2}\kappa_{\text{sub}}(J - 1)^2 \quad (5.1)$$

La cellula è modellizzata sia come isotropa quasi-incomprimibile, con energia libera di Helmholtz data costitutivamente da

$$\psi_{\text{cell}}^{\text{NH}} = \frac{1}{2}\mu_{\text{cell}} \left(\text{tr}\overline{\mathbf{C}} - 3 \right) + \frac{1}{2}\kappa_{\text{cell}}(J - 1)^2 \quad (5.2)$$

sia come anisotropa quasi-incomprimibile, con parte trasversalmente isotropa assegnata costitutivamente da:

$$\psi_{\text{cell}}^{\text{An}} = \frac{1}{4}\alpha_1(I_4 - 1)^2 \quad (5.3)$$

Infine, si riporta che il quarto invariante I_4 si scrive costitutivamente a partire dal versore \mathbf{M} definito come

$$\mathbf{M} = \cos \Theta \mathbf{E}_1 + \sin \Theta \mathbf{E}_2 + 0 \mathbf{E}_3 \quad (5.4)$$

che identifica la direzione di trasversa isotropia e dove Θ è l'angolo che la *fibra principale* forma con la direzione di massimo stiramento.

5.1 Premesse

La letteratura propone alcuni modelli che concentrano la propria attenzione sulla modellizzazione esclusiva della cellula [58, 64] esplorando il caso in cui gli effetti del substrato si possano trascurare; altri ricorrono a un approccio *alla Tensegrity* [14, 53, 84, 98]. Le simulazioni numeriche che si presentano in questa sezione si propongono di modellizzare il comportamento dell'intero complesso cellula-substrato per prove in *controllo di spostamento*.

770 Riducendo il problema ad un caso puramente mono-dimensionale e trascurando gli effetti
 771 legati alle non-linearità, si può supporre che la deformazione totale imposta sul complesso
 772 cellula-substrato, in una data direzione, sia in parte dovuta al contributo della cellula e
 773 in parte a quello del substrato

$$\varepsilon_{\text{tot}} = \varepsilon_{\text{cell}} + \varepsilon_{\text{sub}} \quad (5.5)$$

774 dove i singoli termini dipendono da diversi fattori quali, ad esempio, le rigidzze (definite
 775 *costitutivamente*) dei corpi considerati e aspetti *configurazionali* che interessano le dimen-
 776 sioni della cellula e del substrato e la loro disposizione all'interno del dominio. Nel caso
 777 tridimensionale, risulta molto difficile identificare dalla deformazione totale quale siano
 778 i contributi espliciti singolarmente dal substrato e dalla cellula e si sottolinea come, in
 779 generale, tali aspetti *configurazionali* giocano un ruolo non trascurabile nella descrizione
 780 del problema.

781 5.2 Struttura della sezione

782 Si considera in prima battuta un caso di prova (CASO 0) per mostrare l'influenza della
 783 rigidzza della cellula isotropa rispetto a quella del substrato, quando la cellula è immersa
 784 nel substrato. Successivamente, nel CASO A si modella la cellula come anisotropa a
 785 forma cilindrica a base circolare immersa nel substrato. In seguito, nel CASO B si consi-
 786 dera la cellula modellizzata come anisotropa a forma cilindrica a base ellittica immersa
 787 nel substrato. Si considera, poi, nel CASO C la cellula microstrutturalmente isotropa ci-
 788 lindrica a base ellittica immersa nel substrato. Infine, nel CASO D e CASO E si presentano
 789 per completezza i casi in cui la cellula (rispettivamente isotropa e anisotropa) abbia una
 790 forma ellissoidale disposta al di sopra del substrato.

791 Riassumendo, le simulazioni sono organizzate come segue:

- 792 • CASO 0 - cellula isotropa cilindrica a base circolare immersa nel substrato
- 793 • CASO A - cellula anisotropa cilindrica a base circolare immersa nel substrato
- 794 • CASO B - cellula anisotropa cilindrica a base ellittica immersa nel substrato
- 795 • CASO C - cellula isotropa cilindrica a base ellittica immersa nel substrato
- 796 • CASO D - cellula isotropa ellissoidale sopra il substrato
- 797 • CASO E - cellula anisotropa ellissoidale sopra il substrato

798 5.3 Caso 0: cellula isotropa cilindrica a base circolare 799 immersa nel substrato

800 **Geometria del problema:** il dominio analizzato è costituito da un parallelepipedo sot-
 801 tile a base quadrata, volto a rappresentare il substrato. Immersa nel parallelepipedo, la
 802 cellula è simulata come un cilindro con altezza pari a quella del substrato, come indicato

803 in Fig.5.1. In Tab.5.1, si riportano i parametri adoperati per le simulazioni affrontate in
 804 questa sezione.

805

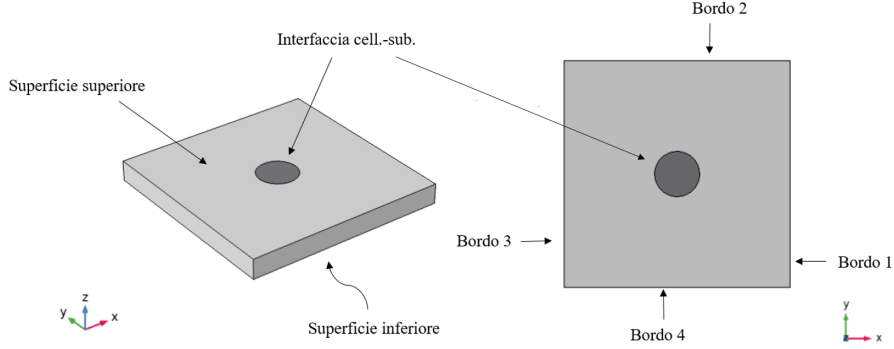


Figura 5.1. Cellula isotropa cilindrica a base circolare immersa nel substrato.

PARAMETRO	ESPRESSIONE	DESCRIZIONE
r	10^{-5} m	Raggio della cellula
$2r/l_{sub}$	$0.1 \div 0.5$	Rapporto diametro cellula/lato substrato
h_{sub}	10^{-5} m	Spessore substrato
μ_{cell}	8 kPa	Modulo di taglio cellula
κ_{cell}	$10^3 \mu_{cell}$	Modulo di comprimibilità (penalizzatore) cellula
μ_{sub}	4 kPa	Modulo di taglio substrato
κ_{sub}	$10^3 \mu_{sub}$	Modulo di comprimibilità (penalizzatore) substrato
u_0	$(0 \div 0.05) l_{sub}$	Spostamento imposto

Tabella 5.1. Riassunto dei parametri adottati nelle simulazioni per il CASO 0.

806 **Equazioni e condizioni al contorno:** per chiarezza di notazione, si sottolinea che il
 807 vettore spostamento ammette la seguente rappresentazione vettoriale

$$\mathbf{u} = (u, v, w) = u \hat{\mathbf{i}} + v \hat{\mathbf{j}} + w \hat{\mathbf{k}}$$

808 nella terna cartesiana ortogonale, in accordo con il sistema di riferimento riportato in
 809 Fig.5.1.

810 Le equazioni in forma Lagrangiana e le condizioni al bordo utilizzate sono riportate di
 811 seguito:

$$\text{Div } \mathbf{P} = \mathbf{0} \quad \text{TUTTO IL DOMINIO} \quad (5.6)$$

$$\mathbf{P} \cdot \mathbf{N} = \mathbf{0} \quad \text{SUP. SUPERIORE, BORDO 2 E 4} \quad (5.7)$$

$$w = 0 \quad \text{SUPERFICIE INFERIORE} \quad (5.8)$$

$$u = u_0 \quad \text{BORDO 1} \quad (5.9)$$

$$u = -u_0 \quad \text{BORDO 3} \quad (5.10)$$

$$(\mathbf{P} \cdot \mathbf{N})|_c = (\mathbf{P} \cdot \mathbf{N})|_s \quad \text{INTERFACCIA CELL.-SUB.} \quad (5.11)$$

$$\mathbf{u}|_c = \mathbf{u}|_s \quad \text{INTERFACCIA CELL.-SUB.} \quad (5.12)$$

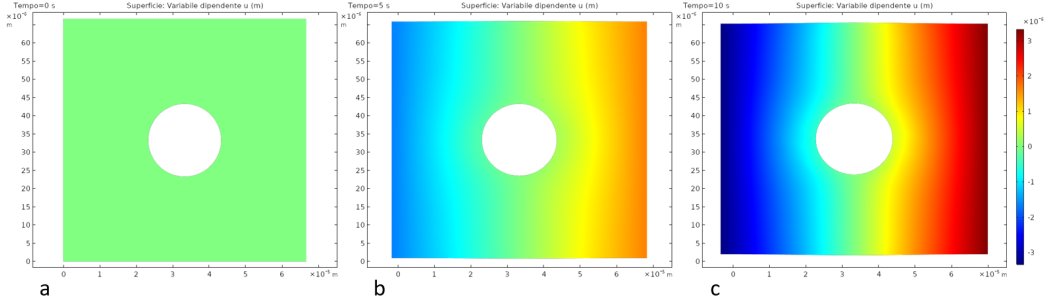


Figura 5.2. CASO 0, distribuzione superficiale (SUP. SUPERIORE) della componente u del campo di spostamento (a: $u_0 = 0$, b: $u_0 = 0.025$, c: $u_0 = 0.05$), fattore di scala unitario.

812 **Post-processing:** in Fig.5.2, si evidenzia la distribuzione della componente u del vet-
 813 tore spostamento sulla SUPERFICIE SUPERIORE per tre diversi spostamenti prescritti. Si
 814 osserva come l'applicazione di un carico in direzione $\hat{\mathbf{i}}$ deformi la sezione del cilindro, la
 815 quale si allunga in direzione della deformazione applicata e si accorcia in quella ad essa
 816 perpendicolare. Siamo interessati a indagare la relazione tra il tensore degli sforzi di Cau-
 817 chy e gli stiramenti principali. Riportiamo la definizione del tensore degli sforzi di Cauchy,
 818 calcolato a partire dal secondo tensore degli sforzi di Piola-Kirchhoff

$$\boldsymbol{\sigma} = J^{-1} \mathbf{F} \mathbf{S} \mathbf{F}^T \quad (5.13)$$

819 Estraiamo la componente $\sigma_{xx} = [\boldsymbol{\sigma}]_{xx}$ e calcoliamo la sua quantità mediata rispetto alla
 820 superficie spaziale del BORDO 1, indicata con Area_1

$$\bar{\sigma}_{xx}(t) = \frac{1}{\|\text{Area}_1\|} \int_{\text{Area}_1} \sigma_{xx} \, dydz \quad (5.14)$$

821 Ricorrendo alla definizione di *deformazione longitudinale* (2.30) si definisce la quantità

$$\varepsilon_{xx} \approx \frac{2u_0}{l_{sub}} \quad (5.15)$$

822 In figura Fig.5.3 si grafica l'andamento di $\bar{\sigma}_{xx}$ in funzione della deformazione longitudi-
 823 nale del substrato. Si osserva che, mantenendo costanti le singole rigidzze, il substrato
 824 si irrigidisce tanto più l'area della cellula immersa aumenta. Calcolando il coefficiente

825 angolare delle rette che caratterizzano l'andamento della componente $\bar{\sigma}_{xx}$ in funzione di
 826 ϵ_{xx} , si ottiene per ciascun valore di $2r/l_{sub}$ un *coefficiente di Young direzionale equivalente*
 827 che indichiamo con E_{eq} . In Fig.5.4, si grafica come E_{eq} varia in funzione della frazio-
 828 ne di superficie A_{cell}/A_{tot} . In particolare, il modulo di Young direzionale Equivalente si
 829 può scrivere come combinazione lineare dei moduli di Young della cellula e del substrato
 830 mediante la frazione di area A_{cell}/A_{tot} :

$$E_{eq} = E_{cell} \frac{A_{cell}}{A_{tot}} + E_{sub} \left(1 - \frac{A_{cell}}{A_{tot}} \right). \quad (5.16)$$

831 dove

$$E_{cell} = 2\mu_{cell}(1 + \nu) \quad E_{sub} = 2\mu_{sub}(1 + \nu) \quad (5.17)$$

832 e considerare approssimativamente $\nu \approx 0.5$ per tener conto dell'incomprimibilità del ma-
 833 teriale.

834 Il processo di *omogeneizzazione* attuto in (5.16) permette di ottenere un materiale che
 835 può essere descritto in prima approssimazione come microstrutturalmente isotropo e che
 836 aumenta la propria rigidezza in funzione delle dimensioni della cellula inclusa.

837

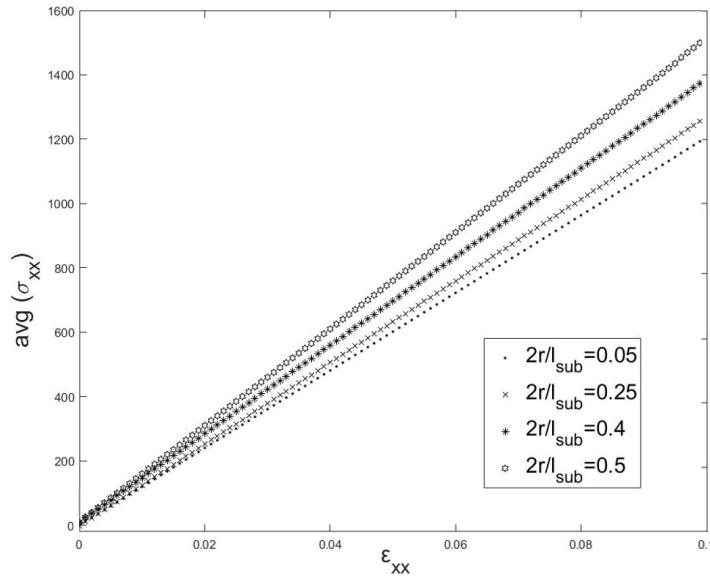


Figura 5.3. Cellula isotropa cilindrica a base circolare immersa nel substrato, andamento di $\bar{\sigma}_{xx}$ al variare di ϵ_{xx} , per diversi valori di $2r/l_{sub}$, nel caso di un substrato morbido $\mu_{sub} = \mu_{cell}/2$.

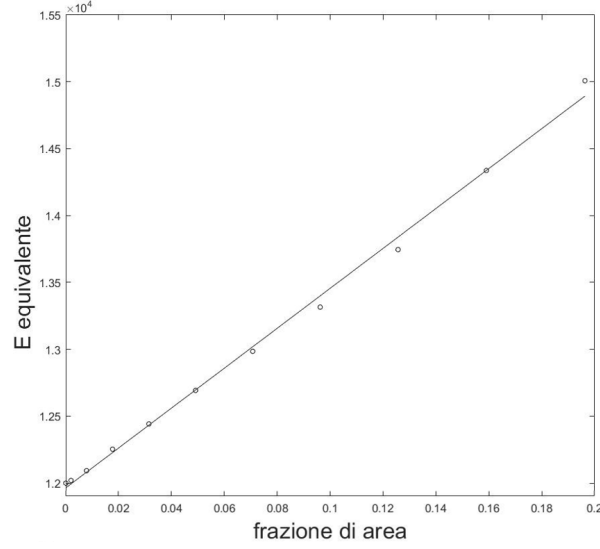


Figura 5.4. Fitting lineare per l'andamento di E_{eq} in funzione della frazione di area, $E_{eq} = \beta E_{cell} \frac{A_{cell}}{A_{tot}} + E_{sub} \left(1 - \frac{A_{cell}}{A_{tot}}\right)$, con $\beta \approx 1.1$ per $E_{cell} \approx 24$ kPa, $E_{sub} 12$ kPa.

838 5.4 Caso A: cellula anisotropa cilindrica a base cir- 839 colare immersa nel substrato

840 **Geometria del problema:** la cellula anisotropa cilindrica di raggio r è immersa in un
841 substrato a forma di parallelepipedo sottile di lato l_{sub} . Lo spessore del substrato (e della
842 cellula) è lasciato invariato per tutte le simulazioni, mentre il lato del substrato varia in
843 base a specifici valori del rapporto $2r/l_{sub}$. In Tab.5.2 sono riportati i parametri utilizzati
844 per le simulazioni concernenti il CASO A.

845 **Equazioni e condizioni al contorno:** facendo riferimento alla notazione riportata
846 in Fig.5.5, le equazioni in forma Lagrangiana e le rispettive equazioni al contorno sono
847 riportate di seguito:

$$\text{Div } \mathbf{P} = \mathbf{0} \quad \text{TUTTO IL DOMINIO} \quad (5.18)$$

$$\mathbf{P} \cdot \mathbf{N} = \mathbf{0} \quad \text{SUP. SUPERIORE, BORDO 2 E 4} \quad (5.19)$$

$$w = 0 \quad \text{SUPERFICIE INFERIORE} \quad (5.20)$$

$$u = u_0 \quad \text{BORDO 1} \quad (5.21)$$

$$u = -u_0 \quad \text{BORDO 3} \quad (5.22)$$

$$(\mathbf{P} \cdot \mathbf{N})|_c = (\mathbf{P} \cdot \mathbf{N})|_s \quad \text{INTERFACCIA CELL.-SUB.} \quad (5.23)$$

$$\mathbf{u}|_c = \mathbf{u}|_s \quad \text{INTERFACCIA CELL.-SUB.} \quad (5.24)$$

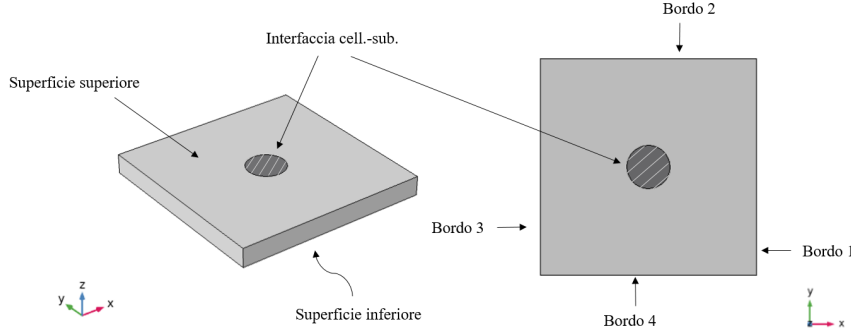


Figura 5.5. Cellula anisotropa cilindrica a base circolare immersa nel substrato anisotropo.

PARAMETRO	ESPRESSIONE	DESCRIZIONE
r	10^{-5} m	Raggio della cellula
$2r/l_{sub}$	$0.1 \div 0.5$	Rapporto diametro cellula/lato substrato
h_{sub}	10^{-5} m	Spessore substrato
μ_{cell}	8 kPa	Modulo di taglio cellula
κ_{cell}	$10^3 \mu_{cell}$	Modulo di comprimibilità (penalizzatore) cellula
α_1	32 kPa	Parametro materiale di anisotropia cellula
μ_{sub}	4 kPa, 16 kPa	Modulo di taglio substrato
κ_{sub}	$10^3 \mu_{sub}$	Modulo di comprimibilità (penalizzatore) substrato
u_0	$0.05 l_{sub}$	Spostamento imposto

Tabella 5.2. Riassunto dei parametri adottati nelle simulazioni per il CASO A.

848 **Post-processing:** in Fig.5.6, nel grafico a sinistra, si osserva come la densità di energia
 849 rispettivamente della cellula anisotropa e del substrato isotropo varino in funzione
 850 dell'angolo Θ (5.4) per $2r/l_{sub} = 0.4$ nel caso in cui il substrato presenti un modulo di
 851 taglio doppio rispetto a quello della cellula ($\mu_{sub} = 2\mu_{cell}$); nel grafico a destra, invece,
 852 si osserva come l'angolo Θ influenzi la densità di *energia omogeneizzata equivalente* ψ_{eq}
 853 definita come combinazione delle densità di energia della cellula e del substrato tramite
 854 la frazione di superficie A_{cell}/A_{tot}

$$\psi_{eq} = \psi_{cell} \frac{A_{cell}}{A_{tot}} + \psi_{sub} \left(1 - \frac{A_{cell}}{A_{tot}} \right) \quad (5.25)$$

855 Sia per le singole densità di energia della cellula e del substrato, sia per la densità di
 856 energia omogeneizzata equivalente ψ_{eq} , si riscontrano tre punti stazionari per $\Theta = 0^\circ$,
 857 $\Theta \approx 55^\circ \div 60^\circ$ e $\Theta = 90^\circ$ e si osserva un minimo energetico per $\Theta \approx 55^\circ \div 60^\circ$ (in accordo
 858 con [5, 7, 11, 35, 44, 45, 72, 86, 92, 96, 97]).

859 In Fig.5.7, invece si considera il caso di un substrato morbido ($\mu_{sub} = \mu_{cell}/2$) e si osserva
 860 come le densità di energia della cellula e del substrato prese singolarmente vedano i medesimi
 861 tre punti stazionari riportati in Fig.5.6 ($\Theta = 0^\circ$, $\Theta \approx 55 \div 60^\circ$ e $\Theta = 90^\circ$). Tuttavia, la

862 densità di energia media della cellula riscontra un massimo per $\Theta \approx 55^\circ \div 60^\circ$ e due minimi
 863 per $\Theta = 0^\circ$ e $\Theta = 90^\circ$ (che sembra in accordo con [33, 37, 38, 50, 54, 55, 59, 67]). Il com-
 864 portamento osservato nel caso di substrato rigido e di substrato morbido è eloquente per
 865 capire la diversa interazione tra cellula e substrato al variare delle loro rigidità, *a monte*
 866 del processo di omogeneizzazione. A riguardo, in Fig.5.8 si rappresenta la distribuzione
 867 superficiale della componente v del campo di spostamento, il quale risente significativa-
 868 mente della presenza della cellula nel caso di un substrato poco rigido e, insieme con fattori
 869 geometrici configurazionali, il substrato morbido mostra una curvatura pronunciata del
 870 BORDO 2 e del BORDO 4. Inoltre, sempre in Fig.5.8, si osserva come la scarsa rigidità del
 871 substrato non sia adeguata a permettere una apprezzabile deformazione della cellula. Per
 872 il caso di substrato morbido (ma in generale anche nel caso di substrato rigido), analizzan-
 873 do come gli invarianti I_1 e I_2 mediati per la cellula e per il substrato variano in funzione
 874 dell'angolo Θ (Fig.5.9) si osserva lo stesso andamento qualitativo delle densità di energia
 875 della cellula e del substrato. In base alle considerazioni fatte nella sezione riguardante il
 876 rimodellamento [39, 40] e in particolare per quanto riassunto nella (4.37), si sottolinea il
 877 ruolo *configurazionale* che l'angolo Θ assume per quantità che *costitutivamente* non dipen-
 878 dono dalle variabili di rimodellamento (come gli invarianti I_1, I_2). La dipendenza da Θ di
 879 I_1, I_2 e della densità di energia elastica del substrato isotropo non poteva essere prevista
 880 costitutivamente ma può essere analizzata solo nel momento in cui si studia il compor-
 881 tamento della cellula in *relazione* a quello del substrato e tale comportamento non può
 882 prescindere da fattori *configurazionali*. Proprio in questo caso, infatti, considerando la
 883 singola cellula, si trova una *inversione* di stabilità energetica, rispetto al caso di substrato
 884 rigido, frutto delle interazioni configurazionali tra la cellula e il substrato.

885 Non appena si attua un processo di *omogeneizzazione* per il complesso cellula-substrato,
 886 definendo una energia omogeneizzata equivalente ψ_{eq} come nella (5.25), le dipendenze
 887 configurazionali lasciano il posto a una esclusiva dipendenza costitutiva. In Fig.5.7 in
 888 basso, si osserva che l'energia omogeneizzata equivalente preserva i tre punti stazionari
 889 descritti in precedenza e vede un minimo per $\Theta \approx 55^\circ \div 60^\circ$ e che la variazione dell'energia
 890 omogeneizzata equivalente rispetto a Θ risulta sempre più accentuata all'aumentare delle
 891 dimensioni della cellula inclusa. Nel caso *omogeneizzato* si può supporre che per ogni pun-
 892 to del corpo la terna (x, y, z) , come rappresentato in Fig.5.5, sia una terna principale per
 893 gli stiramenti, cosa in generale non vera se si considera il sistema non omogeneizzato (che
 894 infatti presenta effetti di curvatura sui bordi liberi come in Fig.5.8). Pertanto, secondo
 895 questa approssimazione il tensore destro di Cauchy-Green risulta diagonale, nella forma
 896 presentata nella (4.34). In questa chiave, per il materiale omogeneizzato si può applicare
 897 l'analisi di stabilità proposta in [65, 66]. Ricordando la (4.43), ci aspettiamo tre punti di
 898 equilibrio [65, 66], $\Theta = 0, \Theta = \Theta_{obl}, \Theta = \frac{\pi}{2}$ dove

$$\cos^2 \Theta_{obl} = \frac{\mathcal{R}}{1 + \mathcal{R}} \quad (5.26)$$

899 Nel nostro caso, in cui $\mathcal{R} \approx 0.5$ per l'intero dominio omogeneizzato, si ottiene $\Theta_{obl} \approx 55^\circ$.
 900 Dalla (4.45) si deduce che Θ_{obl} rappresenta un punto di minimo energetico e tale risultato
 901 è in accordo con l'andamento mostrato per le densità di energia omogeneizzate equivalenti
 902 in Fig.5.6 e Fig.5.7.

903

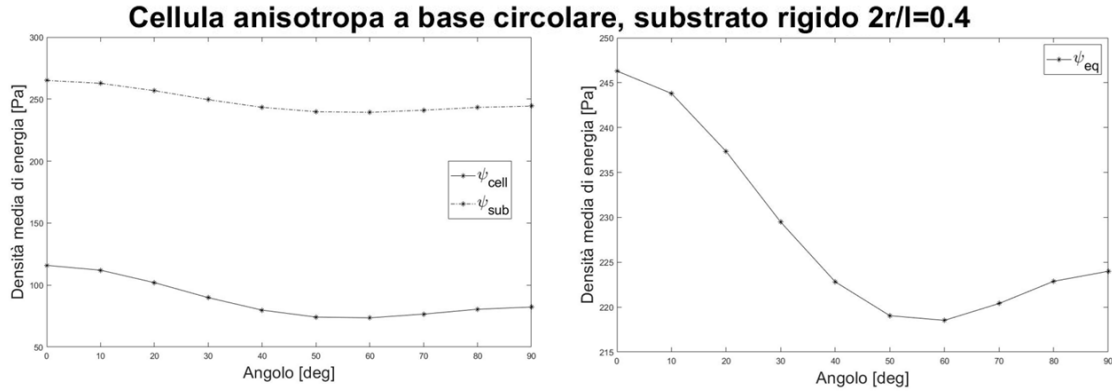


Figura 5.6. A sinistra: densità di energia media della cellula e del substrato. A destra: densità di energia omogeneizzata equivalente ψ_{eq} . Si considera $2r/l_{sub} = 0.4$ e per il substrato un modulo di taglio doppio rispetto a quello della cellula $\mu_{sub} = 2\mu_{cell}$.

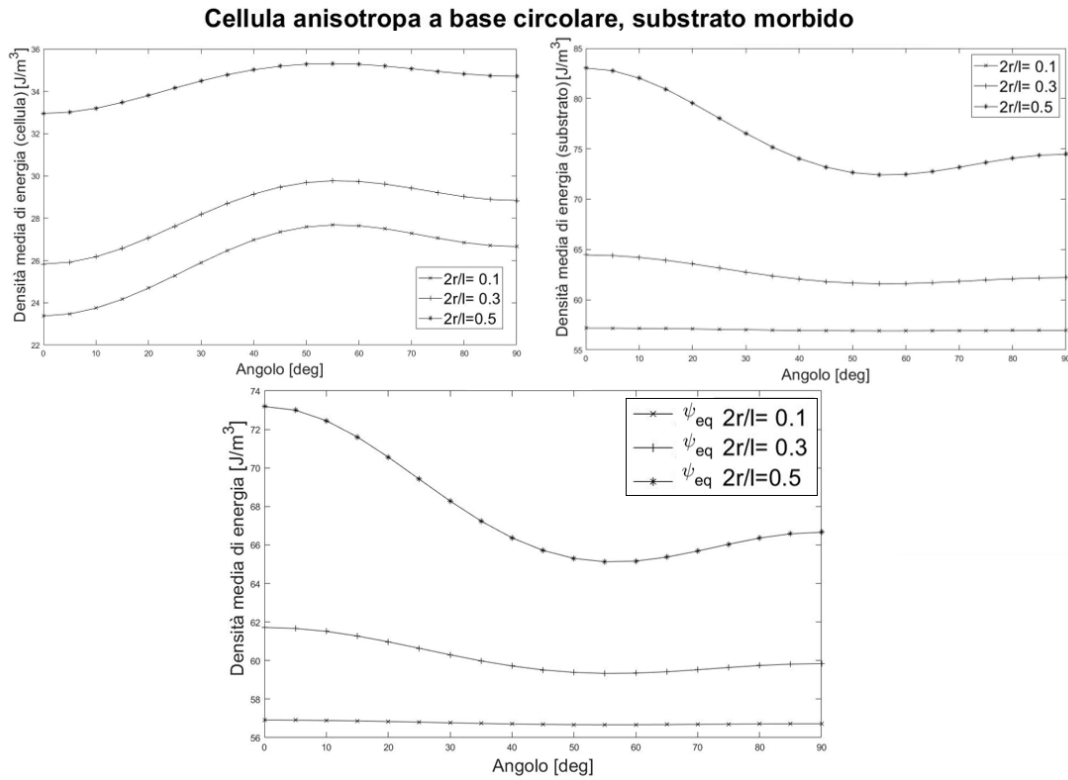


Figura 5.7. Densità media di energia della cellula anisotropa (in alto a sinistra) e del substrato isotropo (in alto a destra), per diversi valori di $2r/l_{sub}$. Densità di energia omogeneizzata equivalente ψ_{eq} (in basso). Il substrato ha modulo di taglio pari alla metà di quello del substrato.

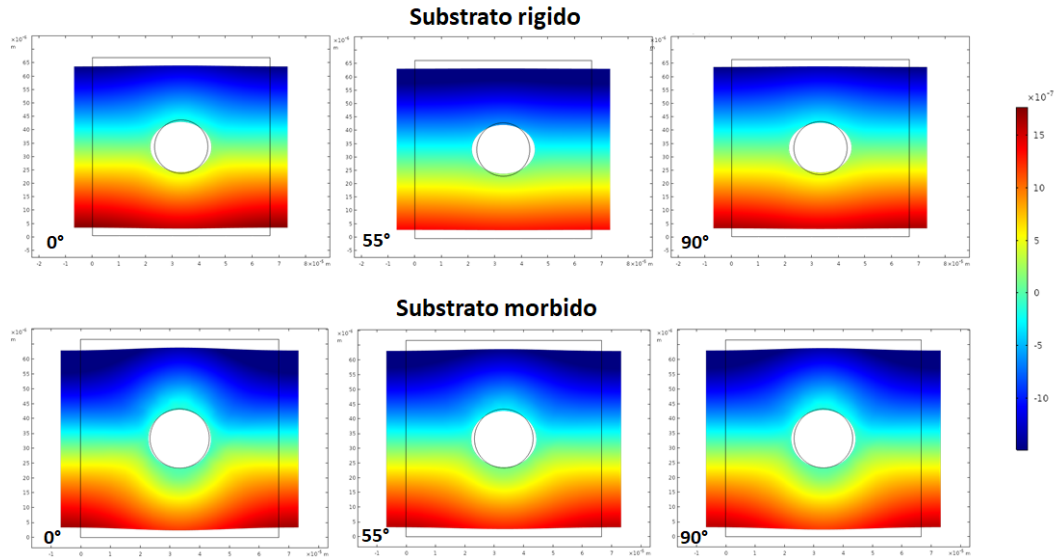


Figura 5.8. Cellula anisotropa a base circolare. Si rappresenta la distribuzione spaziale della componente v del campo di spostamento sulla SUP. SUPERIORE al variare dell'orientazione delle fibre per: in alto, il caso di substrato rigido $\mu_{\text{sub}} = 2\mu_{\text{cell}}$; in basso, il caso di substrato morbido $\mu_{\text{sub}} = \mu_{\text{cell}}/2$. Si osserva come il substrato morbido risenta maggiormente della presenza della cellula che perturba in maniera più significativa il campo di spostamento e che induce effetti di curvatura sul BORDO 2 e BORDO 4. Stesso fattore di scala per tutti i risultati.

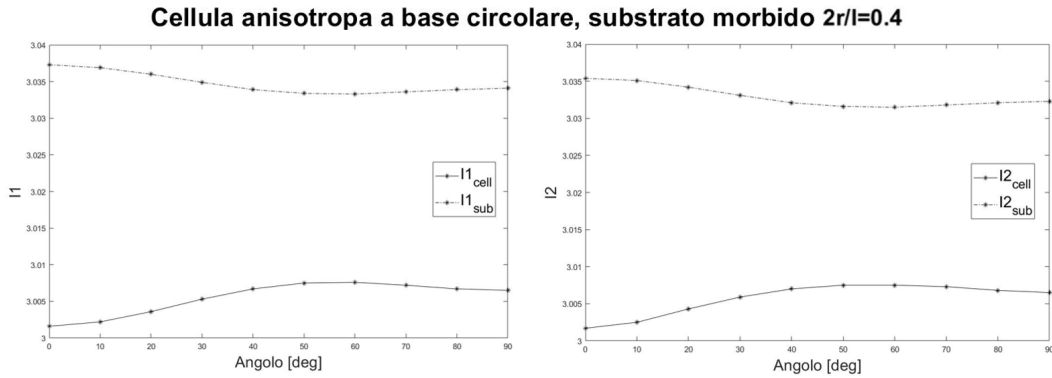


Figura 5.9. Cellula anisotropa a base circolare. A sinistra: primo invariante di Cauchy-Green I_1 medio per cellula e substrato al variare dell'angolo di orientazione delle fibre. A destra: secondo invariante di Cauchy-Green I_2 medio per cellula e substrato al variare dell'angolo di orientazione delle fibre. Per entrambe i casi, si considera $2r/l_{\text{sub}} = 0.4$ e substrato morbido.

904 **5.5 Caso B: cellula anisotropa cilindrica a base ellittica**
 905 **immersa nel substrato**

906 **Geometria del problema:** si considera una cellula trasversalmente isotropa cilindrica
 907 a base ellittica in un dominio isotropo a forma di parallelepipedo sottile. Il semiasse
 908 maggiore e minore sono denotati rispettivamente con a, b , con $a = 5b$, e sono tali per
 909 cui la direzione di trasversa isotropia \mathbf{M} coincide con la direzione dell'asse maggiore
 910 della cellula. Le simulazioni sono svolte ruotando la cellula ellittica in senso antiorario
 911 mantenendo la cellula sempre centrata nel substrato. Il lato del substrato l_{sub} è variato in
 912 base a specifici rapporti delle quantità $2a/l_{\text{sub}}$. Lo spessore del substrato (e quindi della
 913 cellula immersa) è supposto costante per tutte le simulazioni. In Fig.5.10 si schematizza
 914 geometricamente il problema in esame. In Tab.5.3 sono riportati i parametri utilizzati per
 915 le simulazioni inerenti al seguente caso.

916 **Equazioni e condizioni al contorno:** con riferimento alla notazione riportata in
 917 Fig.5.10, le equazioni in forma Lagrangiana e le rispettive condizioni al contorno sono
 918 le seguenti:

$$\text{Div } \mathbf{P} = \mathbf{0} \quad \text{TUTTO IL DOMINIO} \quad (5.27)$$

$$\mathbf{P} \cdot \mathbf{N} = \mathbf{0} \quad \text{SUP. SUPERIORE, BORDO 2 E 4} \quad (5.28)$$

$$w = 0 \quad \text{SUPERFICIE INFERIORE} \quad (5.29)$$

$$u = u_0 \quad \text{BORDO 1} \quad (5.30)$$

$$u = -u_0 \quad \text{BORDO 3} \quad (5.31)$$

$$(\mathbf{P} \cdot \mathbf{N})|_c = (\mathbf{P} \cdot \mathbf{N})|_s \quad \text{INTERFACCIA CELL.-SUB.} \quad (5.32)$$

$$\mathbf{u}|_c = \mathbf{u}|_s \quad \text{INTERFACCIA CELL.-SUB.} \quad (5.33)$$

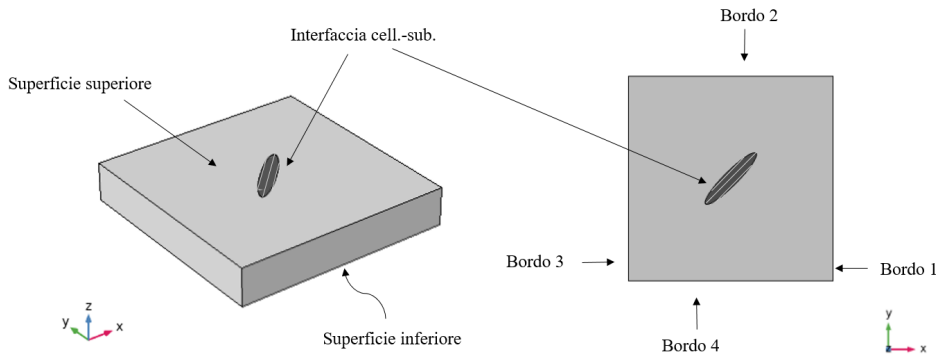


Figura 5.10. Cellula anisotropa cilindrica a base ellittica immersa nel substrato.

PARAMETRO	ESPRESIONE	DESCRIZIONE
a	10^{-5} m	Semiasse maggiore della cellula
b	$a/5$	Semiasse minore della cellula
$2a/l_{sub}$	0.5	Rapporto asse maggiore cellula/lato substrato
h_{sub}	10^{-5} m	Spessore substrato
μ_{cell}	8 kPa	Modulo di taglio cellula
κ_{cell}	$10^3 \mu_{cell}$	Modulo di comprimibilità (penalizzatore) cellula
α_1	32 kPa	Parametro materiale di anisotropia cellula
μ_{sub}	4 kPa, 16 kPa	Modulo di taglio substrato
κ_{sub}	$10^3 \mu_{sub}$	Modulo di comprimibilità (penalizzatore) substrato
u_0	$0.05 l_{sub}$	Spostamento imposto

Tabella 5.3. Riassunto dei parametri adottati nelle simulazioni per il CASO B.

919 **Post-processing:** in Fig.5.11 si mostra come la densità media di energia della cellula
 920 ellittica anisotropa e quella del substrato isotropo variano in funzione dell'orientazione
 921 della cellula nel substrato, sia nel caso di substrato morbido ($\mu_{sub} = \mu_{cell}/2$) che di sub-
 922 strato rigido ($\mu_{sub} = 2\mu_{cell}$). Si definisce una densità di *energia omogeneizzata equivalente*
 923 mediante la frazione di superficie A_{cell}/A_{tot} :

$$\psi_{eq} = \psi_{cell} \frac{A_{cell}}{A_{tot}} + \psi_{sub} \left(1 - \frac{A_{cell}}{A_{tot}} \right) \quad (5.34)$$

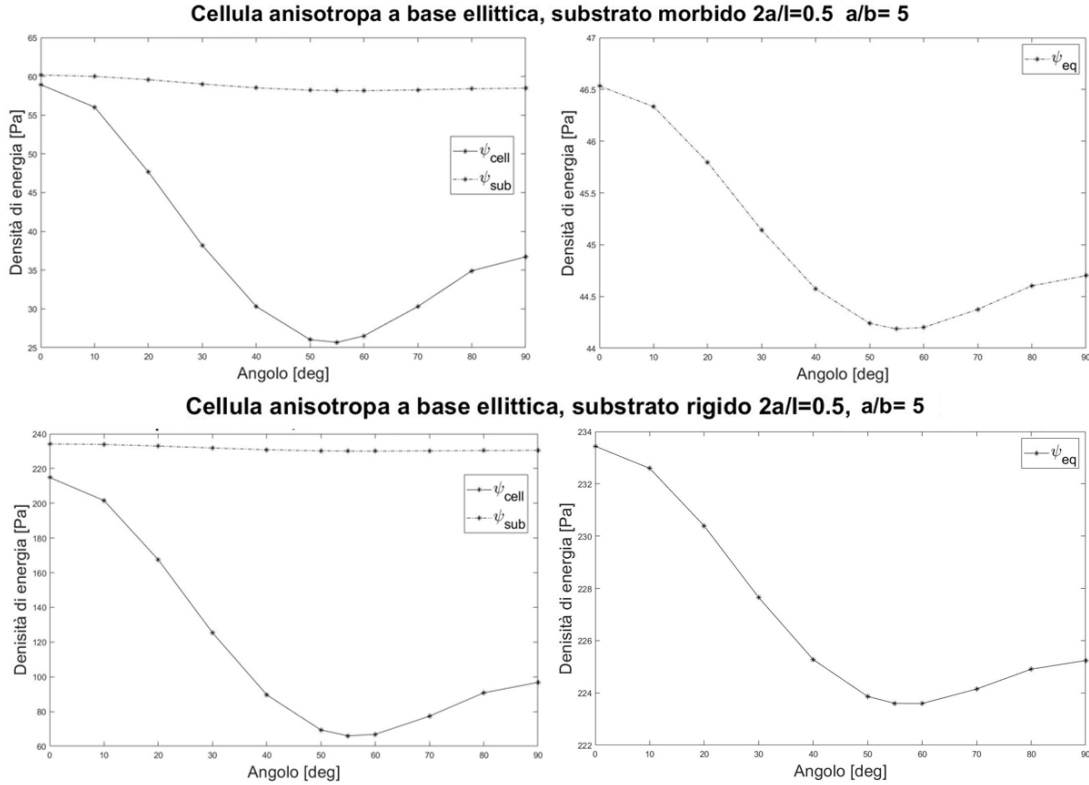
924 In questo caso, si osservano tre punti stazionari per $\Theta = 0^\circ$, $\Theta \approx 55^\circ \div 60^\circ$ e $\Theta = 90^\circ$ e un
 925 minimo energetico per $\Theta \approx 55^\circ \div 60^\circ$ (sia per le singole densità di energia, che per quella
 926 omogeneizzata, in accordo con [5, 7, 11, 35, 44, 45, 72, 86, 92, 96, 97]).

927 Secondo le medesime premesse del CASO A, supponendo che per ogni punto del materiale
 928 omogeneizzato il tensore destro di Cauchy-Green abbia rappresentazione matriciale dia-
 929 gonale nella terna (x, y, z) diposta come in Fig.5.10, si applicano i risultati nelle (4.43) e
 930 (4.45). Essendo $\mathcal{R} \approx 0.5$ per il corpo omogeneizzato, ci aspettiamo tre punti di equilibrio
 931 energetico secondo la (4.43) per $\Theta = 0^\circ$, $\Theta_{obl} \approx 55^\circ$, $\Theta = 90^\circ$ e dalla (4.45) si deduce che
 932 Θ_{obl} rappresenta un punto di minimo.

933 Si sottolinea come, l'aver considerato la cellula a forma di ellisse con asse maggiore coinci-
 934 dente con la direzione di trasversa isotropia (caso concettualmente molto ricorrente negli
 935 esperimenti), accentui maggiormente gli effetti di anisotropia e le variazioni energetiche
 936 della singola cellula e del substrato rispetto a quanto mostrato nel caso di cellula anisotro-
 937 pa cilindrica a base circolare (Fig.5.6 a parità di rigidezze del substrato, della cellula e del
 938 parametro di anisotropia della cellula). Infine, si osserva come l'aspetto configurazionale
 939 (ad esempio l'aver considerato una cellula a base ellittica piuttosto che circolare) abbia
 940 influenzato l'andamento *a posteriori* dell'energia elastica della cellula al variare dell'an-
 941 golo della fibra principale. Infatti, una combinazione di fattori che *costitutivamente* non
 942 poteva essere considerata a priori si esplica in maniera configurazionale portando a risul-
 943 tati diametralmente opposti rispetto a quelli presentati nel caso precedente (a riguardo ci
 944 riferiamo all'andamento dell'energia elastica anisotropa della cellula mostrata in Fig.5.7

945 confrontata con l'andamento in Fig.5.11).

946



949 Figura 5.11. (Colonna a sinistra) Densità di energia media della cellula anisotropa ellittica e del substrato isotropo nel caso di $\mu_{\text{sub}} = \mu_{\text{cell}}/2$ (in alto a sinistra) e di $\mu_{\text{sub}} = 2\mu_{\text{cell}}$ (in basso a sinistra). (Colonna a destra) Densità di energia omogeneizzata equivalente ψ_{eq} , nel caso di $\mu_{\text{sub}} = \mu_{\text{cell}}/2$ (in alto a destra) e di $\mu_{\text{sub}} = 2\mu_{\text{cell}}$ (in basso a destra).

947 **5.6 Caso C: cellula isotropa cilindrica a base ellittica**
 948 **immersa nel substrato**

949 **Geometria del problema:** si considera una cellula isotropa cilindrica a base ellittica
 950 in un dominio isotropo. Per uniformità di notazione, il semiasse maggiore e minore sono
 951 denotati rispettivamente con a, b e sono tali per cui $a = 2b$. Le simulazioni sono svolte
 952 ruotando la cellula ellittica in senso antiorario mantenendo la cellula sempre centrata nel
 953 substrato. Il lato del substrato l_{sub} è variato in base a specifici rapporti delle quantità
 954 $2a/l_{\text{sub}}$. L'altezza del substrato (e quindi della cellula immersa) è supposto costante per

955 tutte le deformazioni. In Fig.5.12 si rappresenta schematicamente la geometria del proble-
 956 ma considerato, mentre nella tabella Tab.5.4, si riportano schematicamente i parametri
 957 adoperati per le seguenti simulazioni.

958 **Equazioni e condizioni al contorno:** facendo riferimento alla notazione in Fig.5.12,
 959 le equazioni in forma Lagrangiana e le rispettive condizioni al contorno sono riportate di
 960 seguito:

$$\text{Div } \mathbf{P} = \mathbf{0} \quad \text{TUTTO IL DOMINIO} \quad (5.35)$$

$$\mathbf{P} \cdot \mathbf{N} = \mathbf{0} \quad \text{SUP. SUPERIORE, BORDO 2 E 4} \quad (5.36)$$

$$w = 0 \quad \text{SUPERFICIE INFERIORE} \quad (5.37)$$

$$u = u_0 \quad \text{BORDO 1} \quad (5.38)$$

$$u = -u_0 \quad \text{BORDO 3} \quad (5.39)$$

$$(\mathbf{P} \cdot \mathbf{N})|_c = (\mathbf{P} \cdot \mathbf{N})|_s \quad \text{INTERFACCIA CELL.-SUB.} \quad (5.40)$$

$$\mathbf{u}|_c = \mathbf{u}|_s \quad \text{INTERFACCIA CELL.-SUB.} \quad (5.41)$$

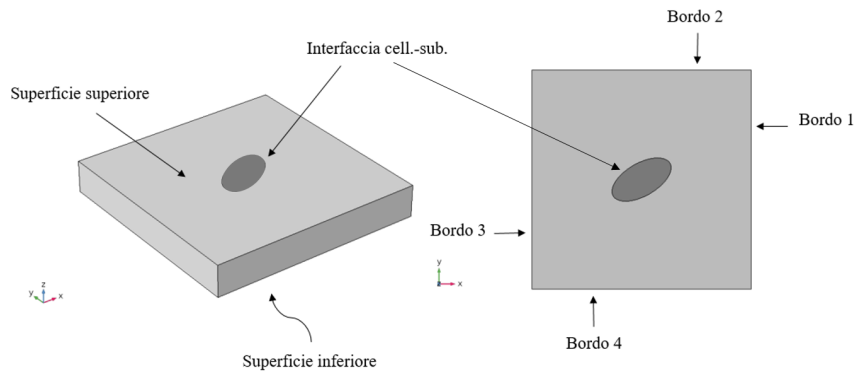


Figura 5.12. Cellula isotropa cilindrica a base ellittica immersa nel substrato isotropo.

961 **Post-processing:** si considera il caso di un substrato *morbido* ($\mu_{\text{sub}} = \mu_{\text{cell}}/2$). In
 962 Fig.5.13, si mostra la distribuzione superficiale della componente u del campo di sposta-
 963 mento per diversi valori di u_0 e per diverse orientazioni della cellula ellittica all'interno
 964 del substrato. Si sottolinea che la variazione di orientazione della cellula, visibile nella
 965 colonna situata a destra in Fig.5.13 e soprattutto nella Fig.5.14, sia solo legata ad aspetti
 966 *configurazionali* e non *costitutivi*, in quanto la cellula è stata studiata come microstruttu-
 967 ralmente isotropa. Secondo [13, 20, 39, 40], in questo caso non si parla di *rimodellamento*,
 968 ma si mette in evidenza solo il comportamento *passivo* che il complesso cellula-substrato
 969 esplica quando esso è sottoposto a stimoli meccanici.

970 In Fig.5.15, nella colonna a sinistra si osserva come la densità di energia della cellula e
 971 del substrato variano in funzione dell'orientazione della cellula; a destra si rappresenta in

PARAMETRO	ESPRESSIONE	DESCRIZIONE
a	10^{-5} m	Semiassa maggiore della cellula
b	$a/2$	Semiassa minore della cellula
$2a/l_{sub}$	$0.1 \div 0.5$	Rapporto asse maggiore cellula/lato sub.
h_{sub}	10^{-5} m	Spessore substrato
μ_{cell}	8 kPa	Modulo di taglio cellula
κ_{cell}	$10^3 \mu_{cell}$	Modulo di comprimibilità (penalizzatore) cellula
μ_{sub}	4 kPa	Modulo di taglio substrato
κ_{sub}	$10^3 \mu_{sub}$	Modulo di comprimibilità (penalizzatore) substrato
u_0	$(0 \div 0.05) l_{sub}$	Spostamento imposto

Tabella 5.4. Riassunto dei parametri adottati nelle simulazioni per il CASO C.

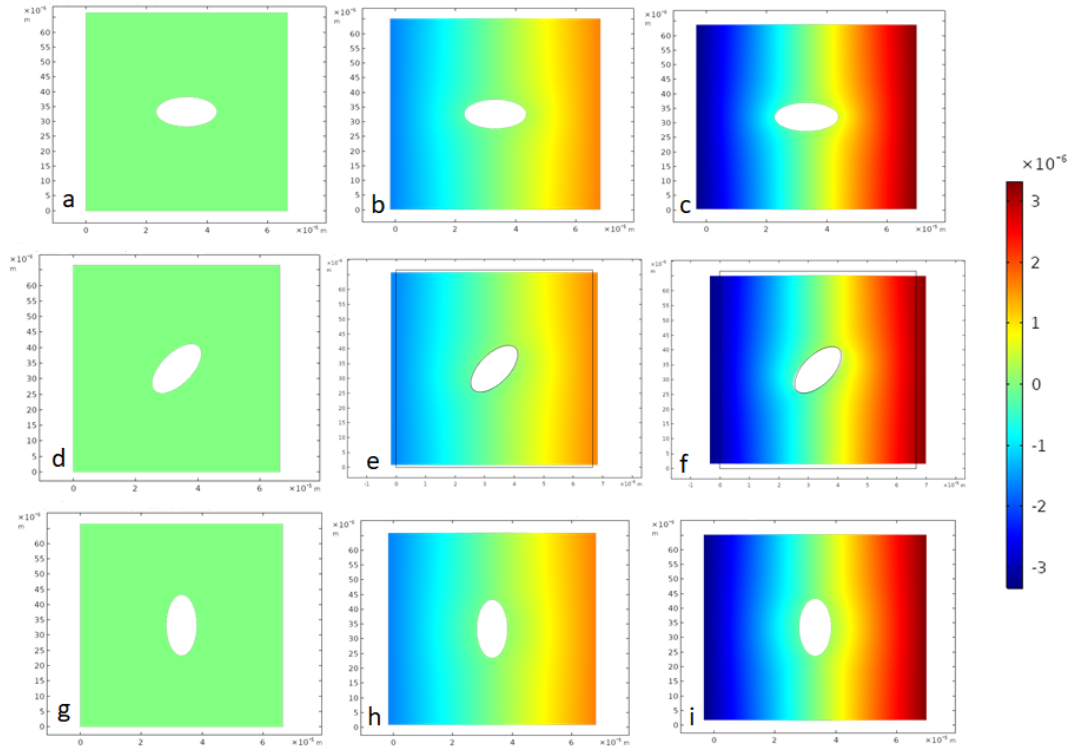


Figura 5.13. Distribuzione superficiale (SUPERFICIE SUPERIORE) della componente u del campo di spostamento per $u_0 = \{0, 0.025, 0.05\}$ rispettivamente per la colonna di sinistra, di centro e di destra. Le immagini a, b, c si riferiscono a una orientazione iniziale nel piano dell'ellisse di 0° rispetto all'asse x ; per le immagini d, e, f l'orientazione iniziale è di 45° ; per le immagini g, h, i l'orientazione iniziale della cellula è di 90° . $2a/l_{sub} = 0.3$, $a/b = 2$ per tutte le figure. Fattore di scala unitario.

972 che modo l'orientazione della cellula influenzi l'energia omogeneizzata equivalente definita

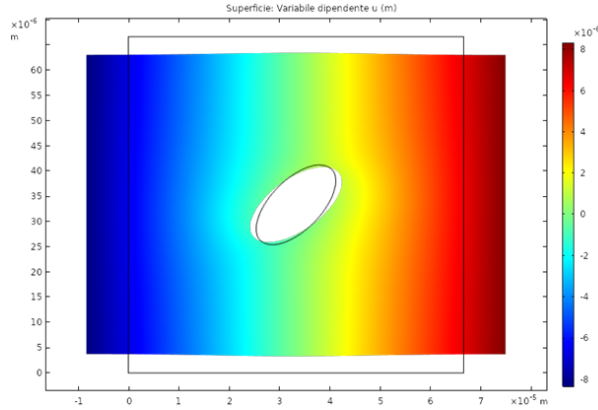


Figura 5.14. Distribuzione superficiale (SUP. SUPERIORE) della componente u del campo di spostamenti per $u_0 = 0.125$. La cellula è disposta a 45° rispetto all'orizzontale. Si osserva come la variazione di orientazione della cellula sia solo l'azione passiva di deformazione del complesso cellula-substrato

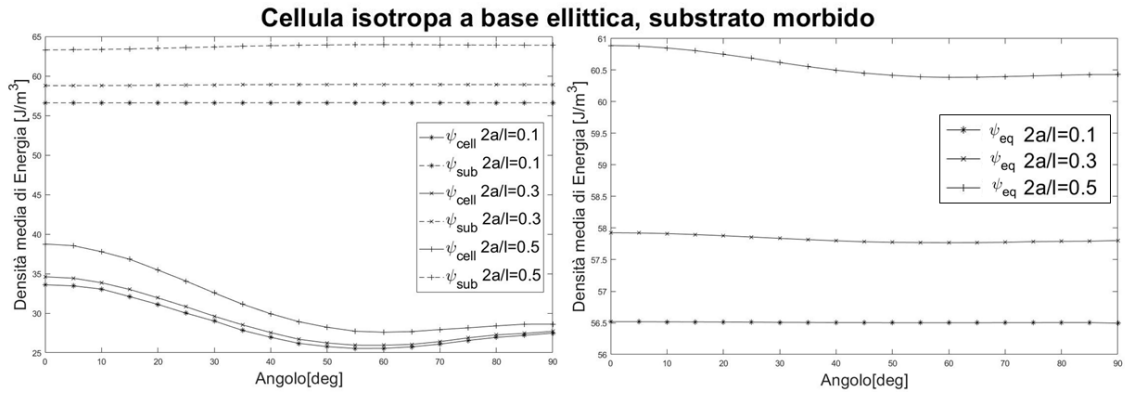


Figura 5.15. A sinistra: densità media di energia della cellula isotropa e del substrato isotropo al variare dell'angolo che denota la configurazione della cellula nel substrato. A destra: densità media equivalente di energia ψ_{eq} in (5.42) rappresentata in funzione dell'angolo di orientazione della cellula. I risultati sono riportati per diversi rapporti $2a/l_{sub}$. Si osserva un minimo localizzato intorno a valori dell'angolo di orientazione tra 55° - 60° .

973 come combinazione lineare della densità di energia della cellula e del substrato tramite la
 974 frazione di superficie A_{cell}/A_{tot}

$$\psi_{eq} = \psi_{cell} \frac{A_{cell}}{A_{tot}} + \psi_{sub} \left(1 - \frac{A_{cell}}{A_{tot}} \right) \quad (5.42)$$

975 Il caso in esame, in cui sia cellula che il substrato sono studiati come corpi microstruttu-
 976 ralmente isotropi (nel range in cui la rigidezza del substrato sia inferiore o paragonabile

977 a quella della cellula) è eloquente per capire come il ruolo dell'angolo che definisce l'o-
 978 rientazione della cellula nel substrato sia (in questo caso) una variabile puramente *confi-*
 979 *gurazionale*, non *costitutiva*: la variazione dell'energia elastica isotropa non poteva essere
 980 considerata attraverso considerazioni meramente costitutive, ma si esplica solamente nel
 981 momento in cui i due corpi definiscono una determinata configurazione. Per questo, *a*
 982 *posteriori* si osserva una dipendenza delle densità di energia rispetto all'angolo Θ an-
 983 che se i singoli componenti (cellula e substrato) sono isotropi. Se si considera il sistema
 984 cellula-substrato come un complesso omogeneizzato, si osserva come l'omogeneizzazione
 985 di materiali isotropi non porta necessariamente a definire un materiale omogeneizzato
 986 isotropo: si è messo in evidenza come la particolare struttura della cellula, sebbene iso-
 987 tropa, renda anisotropo il materiale omogeneizzato. Tuttavia, si sottolinea che sebbene
 988 a posteriori il materiale omogeneizzato risulta costitutivamente anisotropo, non ha senso
 989 parlare di *rimodellamento* per come definito in [13, 20, 39, 40], ma si fa riferimento più
 990 correttamente a un comportamento *passivo* in cui la orientazione della cellula è il frutto
 991 solo della configurazione del sistema.

992 Nello specifico, per uno spostamento imposto dell'ordine del 10%, considerando il substrato
 993 meno rigido della cellula e con una frazione di superficie dell'ordine del 3%, gli effetti di
 994 variazione dell'energia equivalente in funzione dell'angolo sono poco accentuate e risultano
 995 sempre più visibili con l'aumentare della rigidità della cellula e delle sue dimensioni. Nel
 996 caso esaminato, si trova un minimo energetico per $\Theta \approx 50^\circ - 60^\circ$.

997 Per cellule ellittiche molto sottili assimilabili a fibre e per cui la frazione di superficie
 998 tende ad annullarsi, il minimo energetico della cellula si sposta per valori dell'angolo
 999 $\Theta \approx 45^\circ - 50^\circ$ tuttavia, l'energia equivalente ottenuta tramite la procedura di omogeneiz-
 1000 zazione non viene influenzata significativamente dalla presenza della fibra.

1001 *Si sottolinea che tali considerazioni sono la conseguenza del modo in cui il processo di*
 1002 *omogeneizzazione è stato definito.*

1003 5.7 Caso D: cellula isotropa ellissoidale sopra il sub- 1004 strato

1005 **Geometria del problema:** la cellula è modellizzata come un ellissoide con semiassi
 1006 $a = b$ sul piano XY . Il lato del substrato l_{sub} è variato in base a specifici valori assunti
 1007 dal rapporto $2r/l_{\text{sub}}$. Lo spessore del substrato è mantenuto invariato per tutte le simula-
 1008 zioni, mentre il semiasse verticale c rappresenta un ulteriore grado di libertà. In Fig.5.16
 1009 si schematizza la geometria del problema; in tabella Tab.5.5 si riassumono i parametri
 1010 utilizzati nelle seguenti simulazioni.

1011 **Equazioni e condizioni al contorno:** le equazioni in forma Lagrangiana e le condizioni
 1012 al bordo applicate sono riportate di seguito:

$$\text{Div } \mathbf{P} = \mathbf{0} \quad \text{TUTTO IL DOMINIO} \quad (5.43)$$

$$\mathbf{P} \cdot \mathbf{N} = \mathbf{0} \quad \text{SUP. SUPERIORE*}, \text{ BORDO 2 E 4} \quad (5.44)$$

$$w = 0 \quad \text{SUPERFICIE INFERIORE} \quad (5.45)$$

$$u = u_0 \quad \text{BORDO 1} \quad (5.46)$$

$$u = -u_0 \quad \text{BORDO 3} \quad (5.47)$$

$$(\mathbf{P} \cdot \mathbf{N})|_c = (\mathbf{P} \cdot \mathbf{N})|_s \quad \text{INTERFACCIA CELL.-SUB.} \quad (5.48)$$

$$\mathbf{u}|_c = \mathbf{u}|_s \quad \text{INTERFACCIA CELL.-SUB.} \quad (5.49)$$

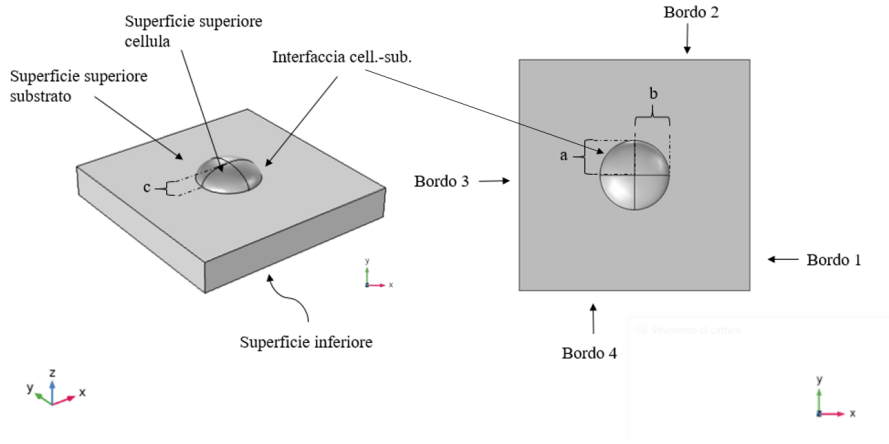


Figura 5.16. Cellula ellissoidale al di sopra del substrato, geometria per il CASO D e CASO E.

PARAMETRO	ESPRESSIONE	DESCRIZIONE
$a = b$	10^{-5} m	Semiassi orizzontali cellula, piano XY
c	$(0.5 \div 1) \cdot 10^{-5} \text{ m}$	Semiassse verticale cellula, direzione Z
$2a/l_{sub}$	$0.1 \div 0.5$	Rapporto diametro di base cellula/lato substrato
h_{sub}	10^{-5} m	Spessore substrato
μ_{cell}	8 kPa	Modulo di taglio cellula
κ_{cell}	$10^3 \mu_{cell}$	Modulo di comprimibilità (penalizzatore) cellula
μ_{sub}	4 kPa	Modulo di taglio substrato
κ_{sub}	$10^3 \mu_{sub}$	Modulo di comprimibilità (penalizzatore) substrato
u_0	$(0 \div 0.05) l_{sub}$	Spostamento imposto

Tabella 5.5. Riassunto dei parametri adottati nelle simulazioni per il CASO D.

1013 In questo caso, SUP. SUPERIORE* indica la superficie superiore del substrato privata
 1014 della regione denominata INTERFACCIA CELL.-SUB. a contatto con la cellula unita con la
 1015 superficie superiore della cellula.

1016 **Post-processing:** in Fig.5.17, si evidenzia la distribuzione della componente u del vet-
 1017 tore spostamento sulla superficie superiore del substrato per tre diversi spostamenti pre-
 1018 scritti. Si osserva come la cellula, inizialmente a base circolare, deforma la propria sezione

1019 allungandosi in direzione dello spostamento applicato ed accorciandosi in direzione per-
 1020 pendicolare (nel piano). La variazione del semiasse verticale c rappresenta un ulteriore

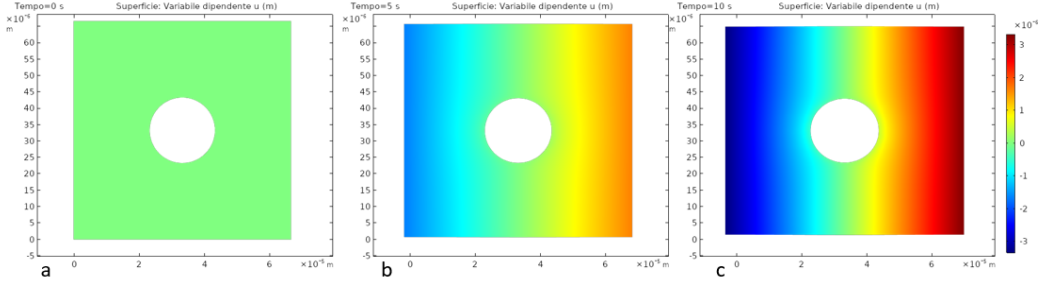


Figura 5.17. Andamento della componente u del vettore spostamento sulla SUPERFICIE SUPERIORE* per: a $u_0 = 0$; b $u_0 = 0.025$; c: $u_0 = 0.05$. Fattore di scala unitario.

1020 grado di libertà rispetto ai casi in cui la cellula è immersa nel substrato. In Fig.5.19
 1021 si rappresenta la componente u del campo di spostamento per i punti nell'intervallo
 1022 $[l_{\text{sub}}/2, l_{\text{sub}}]$ della linea di taglio definita per piani di taglio disposti a specifiche altez-
 1023 ze ($h = \{0.5h_{\text{sub}}, 0.8h_{\text{sub}}, h_{\text{sub}}\}$), come mostrato in Fig.5.18. Si osserva (Fig.5.19) che il
 1024 campo di spostamento \mathbf{u} risulta perturbato solo in una ristretta regione in corrispondenza
 1025 della superficie di contatto tra la cellula e il substrato. Pertanto, in questo caso risulta
 1026 meccanicamente più intuitivo dividere il problema tridimensionale in una parte bidimen-
 1027 sionale, che tiene conto esclusivamente della regione di contatto tra il substrato e la cellula,
 1028 e di una correzione β che tenga conto dall'altezza della cellula stessa. Per cui, definita
 1029 una frazione di superficie $\hat{A}_{\text{cell}}/A_{\text{sub}}$, dove \hat{A}_{cell} fa riferimento alla superficie di contatto
 1030 tra il substrato e la cellula, scriviamo il modulo di Young *equivalente direzionale* come
 1031

$$E_{\text{eq}} = \beta E_{\text{cell}} \frac{\hat{A}_{\text{cell}}}{A_{\text{sub}}} + E_{\text{sub}} \left(1 - \frac{\hat{A}_{\text{cell}}}{A_{\text{sub}}} \right) \quad (5.50)$$

1032 In Fig.5.20 si propone un fitting lineare dei dati ottenuti tramite le simulazioni per il
 1033 caso corrente. Si osserva come i coefficienti correttivi β_i crescano monotonamente al-
 1034 l'aumentare dell'altezza della cellula. La (5.50) scritta in funzione di opportune frazioni
 1035 di superficie con *correzioni in altezza* presenta un quadro concettualmente più chiaro di
 1036 quello che verrebbe mostrato usando le frazioni di volume: a parità di frazione di volume
 1037 e di spessore h_{sub} , la rigidezza del substrato risente maggiormente di una cellula con una
 1038 maggiore estensione superficiale e un minore spessore piuttosto che una cellula con una
 1039 maggiore estensione verticale e una minore superficie di contatto.
 1040

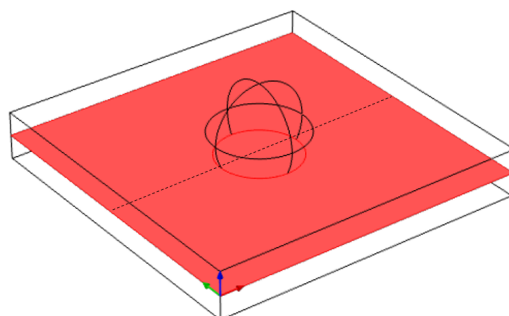


Figura 5.18. Definizione del piano di taglio (piano rosso) e della linea di taglio (linea tratteggiata) per i grafici in Fig.5.19.

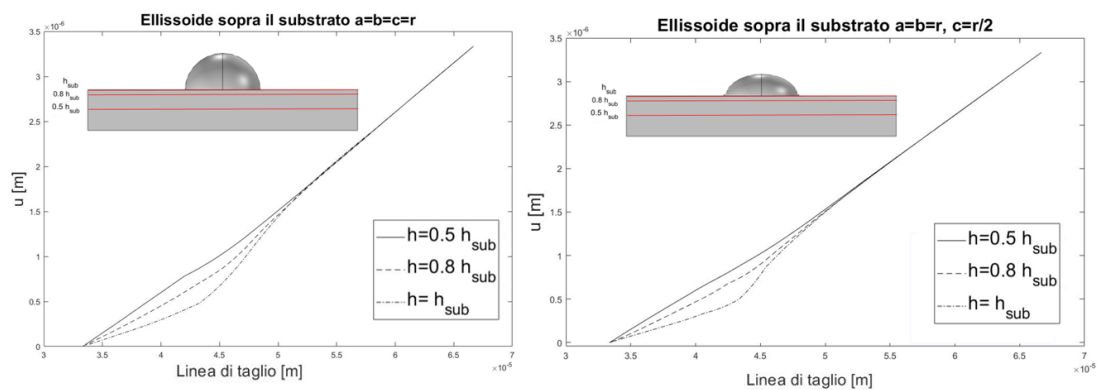


Figura 5.19. Componente u del campo di spostamento per i punti nell'intervallo $[l_{sub}/2, l_{sub}]$ della linea di taglio definita per piani di taglio disposti a specifiche altezze ($h = \{0.5h_{sub}, 0.8h_{sub}, h_{sub}\}$), come mostrato in Fig.5.18. $u_0 = 0.05$, ellissoide con $c = a/2 = b/2$.

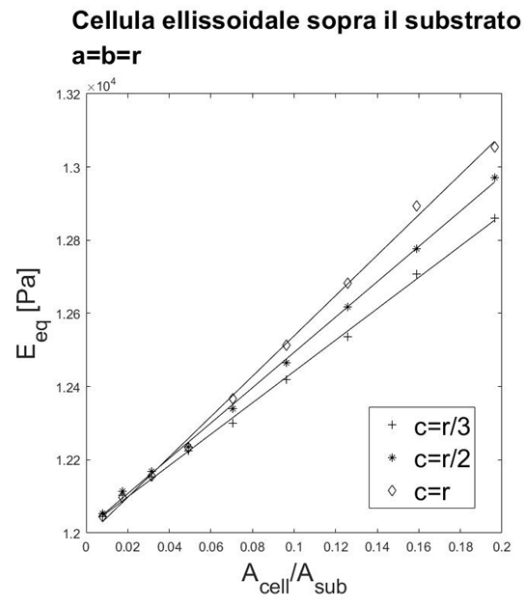


Figura 5.20. E_{eq} in funzione della frazione di superficie $\hat{A}_{\text{cell}}/A_{\text{sub}}$ per diversi valori del semiasse verticale c con $\beta_{r/3} = 0.68$, $\beta_{r/2} = 0.70$, $\beta_r = 0.73$.

5.8 Caso E: cellula anisotropa ellissoidale sopra il substrato

Geometria del problema: la geometria è la stessa del CASO E e fa riferimento alla Fig.5.16. In tabella Tab.5.6 si riassumono i parametri utilizzati nella seguente simulazione.

PARAMETRO	ESPRESSIONE	DESCRIZIONE
$a = b$	10^{-5} m	Semiassi orizzontali cellula, piano XY
c	$(0.5 \div 1) \cdot 10^{-5}$ m	Semiassa verticale cellula, direzione Z
$2r/l_{sub}$	$0.1 \div 0.5$	Rapporto diametro di base cellula/lato substrato
h_{sub}	10^{-5} m	Spessore substrato
μ_{cell}	8 kPa	Modulo di taglio cellula
κ_{cell}	$10^3 \mu_{cell}$	Modulo di comprimibilità (penalizzatore) cellula
α_1	32 kPa	Parametro materiale di anisotropia cellula
μ_{sub}	4 kPa	Modulo di taglio substrato
κ_{sub}	$10^3 \mu_{sub}$	Modulo di comprimibilità (penalizzatore) substrato
u_0	$0.05 l_{sub}$	Spostamento imposto

Tabella 5.6. Riassunto dei parametri adottati nelle simulazioni per il CASO E.

Equazioni e condizioni al contorno le equazioni sono le stesse del CASO E, però la cellula è studiata come microstrutturalmente anisotropa. Le equazioni in forma Lagrangiana sono riportate di seguito e fanno riferimento alla notazione indicata in Fig.5.16:

$$\text{Div } \mathbf{P} = \mathbf{0} \quad \text{TUTTO IL DOMINIO} \quad (5.51)$$

$$\mathbf{P} \cdot \mathbf{N} = \mathbf{0} \quad \text{SUP. SUPERIORE*}, \text{ BORDO 2 E 4} \quad (5.52)$$

$$w = 0 \quad \text{SUPERFICIE INFERIORE} \quad (5.53)$$

$$u = u_0 \quad \text{BORDO 1} \quad (5.54)$$

$$u = -u_0 \quad \text{BORDO 3} \quad (5.55)$$

$$(\mathbf{P} \cdot \mathbf{N})|_c = (\mathbf{P} \cdot \mathbf{N})|_c \quad \text{INTERFACCIA CELL.-SUB.} \quad (5.56)$$

$$\mathbf{u}|_c = \mathbf{u}|_c \quad \text{INTERFACCIA CELL.-SUB.} \quad (5.57)$$

Post-processing: in Fig.5.21, si mostra la densità di energia della cellula anisotropa disposta sopra il substrato per diverse dimensioni dell'ellissoide: anche in questo caso il minimo di energia si ritrova tra i 55° – 60° per la singola cellula [5, 7, 11, 35, 44, 45, 72, 86, 92, 96, 97]. Attuando nuovamente il processo di omogeneizzazione, tenendo conto della correzione in altezza tramite il parametro β come nella (5.50), introduciamo una densità di *energia omogeneizzata equivalente*

$$\psi_{eq} = \beta \psi_{cell} \frac{\hat{A}_{cell}}{A_{sub}} + \psi_{sub} \left(1 - \frac{\hat{A}_{cell}}{A_{sub}} \right) \quad (5.58)$$

Supponendo che per ogni punto del materiale omogeneizzato il tensore destro di Cauchy-Green abbia rappresentazione matriciale diagonale nella terna (x, y, z) diposta come in Fig.5.16, si applicano i risultati riportati nelle (4.43),(4.45). Essendo $\mathcal{R} \approx 0.5$, ci aspettiamo tre punti di equilibrio energetico secondo la (4.43) per $\Theta = 0^\circ$, $\Theta_{obl} \approx 55^\circ \div 60^\circ$, $\Theta = 90^\circ$ e dalla (4.45) si deduce che Θ_{obl} rappresenta un punto di minimo, come si riscontra in Fig.5.22.

Si osserva, secondo quanto esposto nel CASO D, che se la cellula è al di sopra del substrato la perturbazione del campo di spostamento \mathbf{u} appare molto più contenuta rispetto al caso di cellula inclusa e pertanto nel caso di substrato meno rigido della cellula si osserva un comportamento diverso rispetto a quello in Fig.5.7. Tale aspetto, ancora una volta legato a considerazioni *configurazionali*, potrebbe spiegare perchè dati sperimentali con cellula immersa o con cellula al di sopra del substrato diano risultati diversi anche adoperando la stessa tipologia di cellula e di substrato.

1067

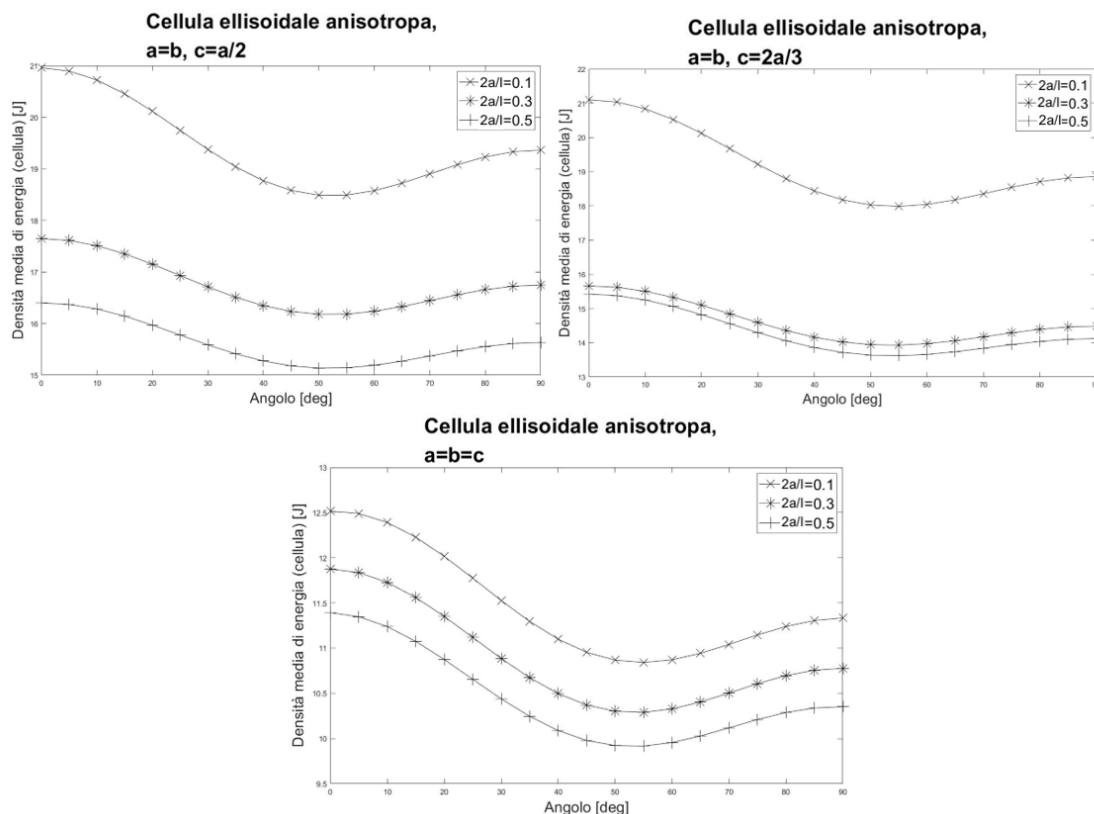


Figura 5.21. Densità di energia della cellula anisotropa al di sopra del substrato isotropo per diverse dimensioni dell'ellissoide, spostamento prescritto $u_0 = 0.05$.

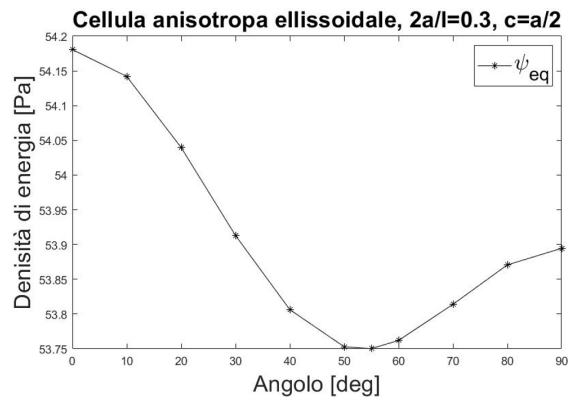


Figura 5.22. Densità di energia omogeneizzata equivalente ψ_{eq} per una cellula anisotropa ellissoidale $c = a/2$ al di sopra del substrato isotropo, per $u_0 = 0.05$.

Capitolo 6

Osservazioni e conclusioni

Il lavoro proposto fornisce un modello matematico nell'ambito dell'elasticità non-lineare per rispondere al problema della modellizzazione della dinamica di cellule sotto sforzo. In particolare, si è osservato sperimentalmente che le cellule sembrano rispondere attivamente agli stimoli meccanici cui sono sottoposti, riorganizzando le proprie strutture per raggiungere una configurazione ben definita. Tuttavia, la letteratura propone risultati sperimentali ottenuti in condizioni spesso diverse, soprattutto per quanto riguarda le caratteristiche dei substrati adoperati [1, 5, 7, 11, 12, 19, 33, 35, 38, 44, 45, 50, 52, 55, 59, 60, 64, 67, 71, 72, 82, 86, 93, 96, 97, 99] e con risultati non sempre concordi. Alcuni tra i modelli proposti in letteratura concentrano la propria attenzione sulla modellizzazione quasi esclusiva delle cellule [58, 64] esplorando il caso in cui gli effetti del substrato si possano trascurare; altri ricorrono a un approccio *alla Tensegrity* [14, 53, 84, 98]. Nel lavoro proposto si presenta un modello che descrive tanto la cellula quanto il substrato. Analizzando i risultati ottenuti in fase di post-processing, studiando la cellula come trasversalmente isotropa e operando un processo di *omogeneizzazione* dell'energia elastica, si ritrovano dei minimi energetici per angoli Θ di $55^\circ \div 60^\circ$, in accordo con l'analisi di stabilità condotta sulla parte anisotropa dell'energia elastica [65, 66] e con una grande parte dei dati sperimentali [5, 7, 11, 35, 44, 45, 72, 86, 92, 96, 97]. Tuttavia, considerando singolarmente l'energia elastica della cellula, non sempre il minimo energetico si osserva per $\Theta \approx 55^\circ \div 60^\circ$ ma si ritrova per $\Theta = 0^\circ$ oppure $\Theta = 90^\circ$, il che è in accordo con la rimanente parte dei dati sperimentali [33, 37, 38, 50, 54, 55, 59, 67] e pertanto sembra che il modello proposto riesca a contemplare le molteplici casistiche offerte dalla letteratura. Le osservazioni esposte trovano il loro fondamento nel significato concettuale del processo di *omogeneizzazione* e sul diverso ruolo che l'angolo Θ assume. Studiando la cellula come materiale trasversalmente isotropo, la parte anisotropa dell'energia elastica della cellula è scritta *costitutivamente* in funzione dell'angolo Θ che, nel caso proposto, definisce la direzione di trasversa isotropia. D'altra parte, la densità di energia elastica del substrato isotropo nella forma più generale è definita *costitutivamente* in funzione dei tre invarianti principali del tensore destro di Cauchy-Green (I_1, I_2, I_3) , i quali non presentano una dipendenza costitutiva dall'angolo Θ . Tuttavia, non appena si studia il comportamento della cellula anisotropa in relazione con il substrato isotropo (cellula immersa nel substrato o al di sopra di esso) i risultati mostrano la dipendenza dall'angolo Θ sia per la densità di

1101 energia elastica del substrato che per gli invarianti I_1, I_2 . Questo perchè l'angolo Θ assume
 1102 il significato di *variabile di configurazione* del continuo, ossia la variazione rispetto a Θ
 1103 della parte isotropa dell'energia elastica è dovuta alla configurazione della cellula. Quindi,
 1104 se *a priori* la dipendenza dall'angolo Θ è letta costitutivamente, *a posteriori* essa è letta
 1105 anche come dipendenza configurazionale [39, 40].

1106 Nel momento in cui si effettua il processo di omogeneizzazione proposto, il complesso
 1107 cellula-substrato è definito come materiale anisotropo e le dipendenze *costitutive* e *con-*
 1108 *figurazionali* che si presentano a monte del processo di omogeneizzazione si traducono a
 1109 valle in una dipendenza meramente *costitutiva* [39, 40] che prescinde da effetti configura-
 1110 zionali e per cui vale l'analisi di stabilità svolta in Lucci e Preziosi. [66]. Quanto detto,
 1111 in generale, si può osservare anche nel caso in cui sia la cellula che il substrato siano
 1112 studiati come materiali microstrutturalmente isotropi e in cui si elimina *a priori* qualsiasi
 1113 dipendenza costitutiva dall'angolo Θ . In questo caso, la variazione dell'orientazione Θ
 1114 della cellula è dettata solo dallo stato tensionale della configurazione in cui essa si trova
 1115 e le eventuali dipendenze da Θ sono da leggere in chiave esclusivamente *configurazionale*.
 1116 Tale risultato si fonda sull'osservazione che l'omogeneizzazione di materiali costitutiva-
 1117 mente isotropi non risulta necessariamente in un materiale omogeneizzato isotropo: può
 1118 succedere che almeno uno dei due materiali che costituiscono il sistema da omogeneizzare
 1119 abbia delle caratteristiche strutturali e geometriche tali per cui il materiale omogeneizzato
 1120 risulti anisotropo. Si sottolinea, però, che sebbene a valle del processo di omogeneizza-
 1121 zione il materiale si comporta come anisotropo, non si può parlare di *rimodellamento* nel
 1122 senso proposto da [13, 20, 39, 40, 77] perchè l'evoluzione temporale dell'orientazione della
 1123 cellula è solo il frutto delle azioni *passivamente* esplicate dagli stimoli cui il substrato è
 1124 sottoposto. Quanto detto si riassume in un concetto espresso da Grillo et Al. [39]:

1125 “[...] *If the deformation is the only responsible for this structural reorganisation, the evo-*
 1126 *lution of the fibre pattern may be said to be a passive consequence of the deformation.*
 1127 *If, however, as suggested in [20], a tissue is supposed to possess also structural degrees*
 1128 *of freedom, which exist independently of deformation, then the reorientation of the fibres*
 1129 *becomes part of the tissue dynamics, and it interacts with the deformation and stress.”*

1130 Pertanto, la stessa definizione di *rimodellamento* [13, 20, 39, 40, 77] sottolinea co-
 1131 me la attiva ri-orientazione cellulare, in generale, non solo non possa prescindere dalla
 1132 *configurazione* del sistema, ma risulti *profondamente* condizionata da essa. In conclusio-
 1133 ne, le osservazioni esposte si propongono di fornire una rilettura dei dati sperimentali e
 1134 di evidenziare l'importanza concettuale tanto delle variabili costitutive quanto di quelle
 1135 configurazionali [39, 40] nella definizione del problema.

Ringraziamenti

1137 Un ringraziamento speciale va indirizzato al Professore Luigi Preziosi, che ringrazio per
 1138 avermi sottoposto il problema che ho affrontato in questa Tesi e soprattutto per l'immensa
 1139 pazienza e disponibilità che ha dimostrato nei miei confronti. Lo ringrazio per i numerosi
 1140 incontri che mi ha concesso e per i fondamentali spunti e guide che mi hanno permesso di
 1141 iniziare, continuare e concludere il lavoro.

1142 Ringrazio il Professor Alfio Grillo e il Dottor Salvatore Di Stefano per i lunghi incontri e
 1143 le impagabili indicazioni che hanno reso possibile ottenere i risultati numerici presentati
 1144 in questa Tesi. Li ringrazio perché sono stati fondamentali nell'aiutarmi ad esprimere con
 1145 maggiore chiarezza le conseguenze dei risultati ottenuti.

1146 In egual misura, ringrazio nuovamente il Prof. Preziosi, il Prof. Grillo e il Dott. Di Stefano
 1147 per avermi accompagnato in questo percorso, per avermi fatto capire l'importanza di
 1148 avere delle guide da seguire e la necessità di contenere il mio *a volte* eccessivo entusiasmo.

1149 Ringrazio i membri del dipartimento di Meccanica dell'INRiM (Professor Alessandro Ger-
 1150 mak, Professor Alessandro Schiavi, Fabrizio Mazzoleni) per avermi sostenuto nel corso di
 1151 questi due anni e per avermi seguito e guidato nelle mie ricerche. In particolare ringrazio
 1152 il Dottor Andrea Prato, che mi è stato sempre molto vicino e che ha creduto in me anche
 1153 durante i miei momenti più bui.

1154 Ringrazio l'Architetto Mariagrazia D'Alberti per essere stata una costante fonte di ispi-
 1155 razione e una mente sempre disposta al confronto. Senza di lei molte delle mie idee non
 1156 si sarebbero concretizzate.

1157 Ringrazio Stefano Blandini, il cultore che mi ha accompagnato in tutti i miei ragionamenti
 1158 più tortuosi. Sono immensamente grato nei suoi confronti per aver sempre capito, dalle
 1159 mie parole non dette, quando fosse il momento di farmi alzare la testa dai libri e svagar-
 1160 mi. Ringrazio Giovanni Cicero, Lorenzo Savarino, Emanuele De Luca, Arcangelo Frigiola
 1161 e Alessandro Tofani per esserci sempre e per continuare a ricordarmi che nonostante le
 1162 infinite domande che la vita mi porrà, quella importante è sempre una.

1163 Concludo ringraziando infinitamente **la mia famiglia**: mia mamma Marinella, mio papà
 1164 Sergio, mio fratello Lorenzo, i miei nonni Pippo e Salvina, la mia famiglia torinese (Laura,
 1165 Marco e Matteo Bellone) e tutto il resto della mia numerosa famiglia per avermi regalato
 1166 la possibilità di vivere questa straordinaria esperienza. Non ci sono parole per descrivere
 1167 quanto io sia grato per tutto il supporto che mi hanno fornito.

1168

1169

Pierluigi Rizza, Siracusa, 27/09/2021

Bibliografia

1170

- 1171 [1] Rosalyn D Abbott, Alan K Howe, Helene M Langevin, and James C Iatridis. Live
1172 free or die: Stretch-induced apoptosis occurs when adaptive reorientation of annulus
1173 fibrosus cells is restricted. *Biochemical and biophysical research communications*,
1174 421(2):361–366, 2012.
- 1175 [2] D Ambrosi, Gerard A Ateshian, Ellen M Arruda, SC Cowin, J Dumais, A Goriely,
1176 Gerhard A Holzapfel, Jay D Humphrey, R Kemkemer, Ellen Kuhl, et al. Perspectives
1177 on biological growth and remodeling. *Journal of the Mechanics and Physics of Solids*,
1178 59(4):863–883, 2011.
- 1179 [3] D Ambrosi and A Guillou. Growth and dissipation in biological tissues. *Continuum*
1180 *Mechanics and Thermodynamics*, 19(5):245–251, 2007.
- 1181 [4] Frank Baaijens, Carlijn Bouten, and Niels Driessen. Modeling collagen remodeling.
1182 *Journal of biomechanics*, 43(1):166–175, 2010.
- 1183 [5] Valerie Barron, Claire Brougham, Karen Coghlan, Emily McLucas, Denis O’Mahoney,
1184 Catherine Stenson-Cox, and Peter E McHugh. The effect of physiological cyclic
1185 stretch on the cell morphology, cell orientation and protein expression of endothelial
1186 cells. *Journal of materials science: Materials in medicine*, 18(10):1973–1981, 2007.
- 1187 [6] GK Batchelor. Fluid mechanics. by ld landau and em lifshitz. 2nd english edition.
1188 pergamon press, 1987. 539 pp.£ 45 or 29.50 (paperback). *Journal of Fluid Mechanics*,
1189 205:593–594, 1989.
- 1190 [7] Francesca Boccafoschi, M Bosetti, S Gatti, and M Cannas. Dynamic fibroblast cul-
1191 tures: response to mechanical stretching. *Cell adhesion & migration*, 1(3):124–128,
1192 2007.
- 1193 [8] J Bonet and AJ Burton. A simple orthotropic, transversely isotropic hyperelastic
1194 constitutive equation for large strain computations. *Computer methods in applied*
1195 *mechanics and engineering*, 162(1-4):151–164, 1998.
- 1196 [9] Javier Bonet and Richard D Wood. *Nonlinear continuum mechanics for finite element*
1197 *analysis*. Cambridge university press, 1997.
- 1198 [10] Robert C Buck. The longitudinal orientation of structures in the subendothelial space
1199 of rat aorta. *American Journal of Anatomy*, 156(1):1–13, 1979.

- 1200 [11] Robert C Buck. Reorientation response of cells to repeated stretch and recoil of the
1201 substratum. *Experimental cell research*, 127(2):470–474, 1980.
- 1202 [12] Robert C Buck. Behaviour of vascular smooth muscle cells during repeated stretching
1203 of the substratum in vitro. *Atherosclerosis*, 46(2):217–223, 1983.
- 1204 [13] Paolo Cermelli, Eliot Fried, and Shaun Sellers. Configurational stress, yield and flow
1205 in rate-independent plasticity. *Proceedings of the Royal Society of London. Series A:
1206 Mathematical, Physical and Engineering Sciences*, 457(2010):1447–1467, 2001.
- 1207 [14] Christopher S Chen and Donald E Ingber. Tensegrity and mechanoregulation: from
1208 skeleton to cytoskeleton. *Osteoarthritis and Cartilage*, 7(1):81–94, 1999.
- 1209 [15] Yun Chen, Ana M Pasapera, Alan P Koretsky, and Clare M Waterman. Orientation-
1210 specific responses to sustained uniaxial stretching in focal adhesion growth and
1211 turnover. *Proceedings of the National Academy of Sciences*, 110(26):E2352–E2361,
1212 2013.
- 1213 [16] BD COLEMAN and W NOLL. Thermodynamics of viscosity, heat conduction and
1214 elasticity applied to elastic materials. 1963.
- 1215 [17] Eleonora Crevacore, Salvatore Di Stefano, and Alfio Grillo. Coupling among deforma-
1216 tion, fluid flow, structural reorganisation and fibre reorientation in fibre-reinforced,
1217 transversely isotropic biological tissues. *International Journal of Non-Linear
1218 Mechanics*, 111:1–13, 2019.
- 1219 [18] Peter C Dartsch, Hugo Hämmerle, and Eberhard Betz. Orientation of cultured ar-
1220 terial smooth muscle cells growing on cyclically stretched substrates. *Cells Tissues
1221 Organs*, 125(2):108–113, 1986.
- 1222 [19] Martin Deibler, Joachim P Spatz, and Ralf Kemkemer. Actin fusion proteins alter the
1223 dynamics of mechanically induced cytoskeleton rearrangement. *PloS one*, 6(8):e22941,
1224 2011.
- 1225 [20] Antonio DiCarlo and Sara Quiligotti. Growth and balance. *Mechanics Research
1226 Communications*, 29(6):449–456, 2002.
- 1227 [21] A Cemal Eringen. Mechanics of continua. *Huntington*, 1980.
- 1228 [22] Uta Faust, Nico Hampe, Wolfgang Rubner, Norbert Kirchgessner, Sam Safran, Bernd
1229 Hoffmann, and Rudolf Merkel. Cyclic stress at mhz frequencies aligns fibroblasts in
1230 direction of zero strain. *PloS one*, 6(12):e28963, 2011.
- 1231 [23] Salvatore Federico and T Christian Gasser. Nonlinear elasticity of biological tissues
1232 with statistical fibre orientation. *Journal of the Royal Society Interface*, 7(47):955–
1233 966, 2010.
- 1234 [24] Salvatore Federico and Alfio Grillo. Elasticity and permeability of porous fibre-
1235 reinforced materials under large deformations. *Mechanics of Materials*, 44:58–71,
1236 2012.

- 1237 [25] Salvatore Federico and Alfio Grillo. Erratum to:“elasticity and permeability of porous
1238 fibre-reinforced materials under large deformations [mech. mater., 44, 58–71, 2012]”.
1239 *Mechanics of Materials*, 126:86–87, 2018.
- 1240 [26] Salvatore Federico and Walter Herzog. Towards an analytical model of soft biological
1241 tissues. *Journal of biomechanics*, 41(16):3309–3313, 2008.
- 1242 [27] Sandra Forte, Luigi Preziosi, and Maurizio Vianello. *Meccanica dei continui*, volume
1243 114. Springer, 2019.
- 1244 [28] YC Fung. Elasticity of soft tissues in simple elongation. *American Journal of*
1245 *Physiology-Legacy Content*, 213(6):1532–1544, 1967.
- 1246 [29] K Garikipati, Ellen M Arruda, K Grosh, H Narayanan, and S Calve. A conti-
1247 nuum treatment of growth in biological tissue: the coupling of mass transport and
1248 mechanics. *Journal of the Mechanics and Physics of Solids*, 52(7):1595–1625, 2004.
- 1249 [30] T Christian Gasser, Ray W Ogden, and Gerhard A Holzapfel. Hyperelastic modelling
1250 of arterial layers with distributed collagen fibre orientations. *Journal of the royal*
1251 *society interface*, 3(6):15–35, 2006.
- 1252 [31] AN Gent. Engineering with rubber: How to design rubber components. 2-nd ed.
1253 *Cincinnati: HanserGardner Pub*, 2001.
- 1254 [32] Paul Germain. The method of virtual power in continuum mechanics. part 2:
1255 Microstructure. *SIAM Journal on Applied Mathematics*, 25(3):556–575, 1973.
- 1256 [33] Alexandra M Goldyn, Peter Kaiser, Joachim P Spatz, Christoph Ballestrem, and Ralf
1257 Kemkemer. The kinetics of force-induced cell reorganization depend on microtubules
1258 and actin. *Cytoskeleton*, 67(4):241–250, 2010.
- 1259 [34] A Golebiewska-Herrmann. On the lagrangian formulation of continuum mechanics.
1260 *Physica A: Statistical Mechanics and its Applications*, 118(1-3):300–314, 1983.
- 1261 [35] Zahra Goli-Malekabadi, Mohammad Tafazzoli-Shadpour, Mohsen Rabbani, and Mo-
1262 hsen Janmaleki. Effect of uniaxial stretch on morphology and cytoskeleton of human
1263 mesenchymal stem cells: static vs. dynamic loading. 2011.
- 1264 [36] Alain Goriely. *The mathematics and mechanics of biological growth*, volume 45.
1265 Springer, 2017.
- 1266 [37] Alexandra M Greiner, Sarah A Biela, Hao Chen, Joachim P Spatz, and Ralf Kemke-
1267 mer. Featured article: temporal responses of human endothelial and smooth muscle
1268 cells exposed to uniaxial cyclic tensile strain. *Experimental Biology and Medicine*,
1269 240(10):1298–1309, 2015.
- 1270 [38] Alexandra M Greiner, Hao Chen, Joachim P Spatz, and Ralf Kemkemer. Cyclic
1271 tensile strain controls cell shape and directs actin stress fiber formation and focal
1272 adhesion alignment in spreading cells. *PloS one*, 8(10):e77328, 2013.

- 1273 [39] Alfio Grillo, Melania Carfagna, and Salvatore Federico. An allen–cahn approach
1274 to the remodelling of fibre-reinforced anisotropic materials. *Journal of Engineering*
1275 *Mathematics*, 109(1):139–172, 2018.
- 1276 [40] Alfio Grillo, Gabriel Wittum, Aleksandar Tomic, and Salvatore Federico. Remodelling
1277 in statistically oriented fibre-reinforced materials and biological tissues. *Mathematics*
1278 *and Mechanics of Solids*, 20(9):1107–1129, 2015.
- 1279 [41] Morton E Gurtin, Eliot Fried, and Lallit Anand. *The mechanics and thermodynamics*
1280 *of continua*. Cambridge University Press, 2010.
- 1281 [42] Ilia Hariton, G Debotton, T Christian Gasser, and Gerhard A Holzapfel. Stress-
1282 driven collagen fiber remodeling in arterial walls. *Biomechanics and modeling in*
1283 *mechanobiology*, 6(3):163–175, 2007.
- 1284 [43] Peter Haupt. *Continuum mechanics and theory of materials*. Springer Science &
1285 Business Media, 2013.
- 1286 [44] Kimihide Hayakawa, Atsushi Hosokawa, Katsumi Yabusaki, and Takashi Obinata.
1287 Orientation of smooth muscle-derived a10 cells in culture by cyclic stretching: rela-
1288 tionship between stress fiber rearrangement and cell reorientation. *Zoological science*,
1289 17(5):617–624, 2000.
- 1290 [45] Kimihide Hayakawa, Naruki Sato, and Takashi Obinata. Dynamic reorientation
1291 of cultured cells and stress fibers under mechanical stress from periodic stretching.
1292 *Experimental cell research*, 268(1):104–114, 2001.
- 1293 [46] John Henry Heinbockel. *Introduction to tensor calculus and continuum mechanics*,
1294 volume 52. Trafford Victoria, Canada, 2001.
- 1295 [47] Gerhard A Holzapfel, T Christian Gasser, and Michael Stadler. A structural model for
1296 the viscoelastic behavior of arterial walls: continuum formulation and finite element
1297 analysis. *European Journal of Mechanics-A/Solids*, 21(3):441–463, 2002.
- 1298 [48] Gerhard A Holzapfel and Thomas C Gasser. A viscoelastic model for fiber-reinforced
1299 composites at finite strains: Continuum basis, computational aspects and applica-
1300 tions. *Computer methods in applied mechanics and engineering*, 190(34):4379–4403,
1301 2001.
- 1302 [49] Gerhard A Holzapfel, Thomas C Gasser, and Ray W Ogden. A new constitutive
1303 framework for arterial wall mechanics and a comparative study of material models.
1304 *Journal of elasticity and the physical science of solids*, 61(1):1–48, 2000.
- 1305 [50] Hui-Ju Hsu, Chin-Fu Lee, and Roland Kaunas. A dynamic stochastic model of
1306 frequency-dependent stress fiber alignment induced by cyclic stretch. *PloS one*,
1307 4(3):e4853, 2009.
- 1308 [51] Kolumban Hutter and Klaus Jöhnk. *Continuum methods of physical modeling: con-*
1309 *tinuum mechanics, dimensional analysis, turbulence*. Springer Science & Business
1310 Media, 2013.

- 1311 [52] Toshiaki Iba and Bauer E Sumpio. Morphological response of human endothelial cells
1312 subjected to cyclic strain in vitro. *Microvascular research*, 42(3):245–254, 1991.
- 1313 [53] Donald E Ingber. Cellular tensegrity: defining new rules of biological design that
1314 govern the cytoskeleton. *Journal of cell science*, 104(3):613–627, 1993.
- 1315 [54] Simon Jungbauer, Huajian Gao, Joachim P Spatz, and Ralf Kemkemer. Two cha-
1316 racteristic regimes in frequency-dependent dynamic reorientation of fibroblasts on
1317 cyclically stretched substrates. *Biophysical journal*, 95(7):3470–3478, 2008.
- 1318 [55] Roland Kaunas, Phu Nguyen, Shunichi Usami, and Shu Chien. Cooperative effects of
1319 rho and mechanical stretch on stress fiber organization. *Proceedings of the National
1320 Academy of Sciences*, 102(44):15895–15900, 2005.
- 1321 [56] Byung-Soo Kim, Janeta Nikolovski, Jeffrey Bonadio, and David J Mooney. Cyclic
1322 mechanical strain regulates the development of engineered smooth muscle tissue.
1323 *Nature biotechnology*, 17(10):979–983, 1999.
- 1324 [57] Anders Klarbring and Tobias Olsson. On compatible strain with reference to bio-
1325 mechanics of soft tissues. *ZAMM-Journal of Applied Mathematics and Mecha-
1326 nics/Zeitschrift für Angewandte Mathematik und Mechanik: Applied Mathematics
1327 and Mechanics*, 85(6):440–448, 2005.
- 1328 [58] Konstantinos A Lazopoulos and Dimitrije Stamenović. A mathematical model of cell
1329 reorientation in response to substrate stretching. *Molecular & Cellular Biomechanics*,
1330 3(1):43, 2006.
- 1331 [59] Chin-Fu Lee, Candice Haase, Shinji Deguchi, and Roland Kaunas. Cyclic stretch-
1332 induced stress fiber dynamics—dependence on strain rate, rho-kinase and mlck.
1333 *Biochemical and biophysical research communications*, 401(3):344–349, 2010.
- 1334 [60] Bo Liu, Ming-Juan Qu, Kai-Rong Qin, He Li, Zhen-Kun Li, Bao-Rong Shen, and
1335 Zong-Lai Jiang. Role of cyclic strain frequency in regulating the alignment of vascular
1336 smooth muscle cells in vitro. *Biophysical journal*, 94(4):1497–1507, 2008.
- 1337 [61] I-Shih Liu. *Introduction to continuum mechanics*. Instituto de matematica,
1338 Universidade federal de Rio de Janeiro, 1988.
- 1339 [62] I-Shih Liu. On euclidean objectivity and the principle of material frame-indifference.
1340 *Continuum Mechanics and Thermodynamics*, 16(1):177–183, 2004.
- 1341 [63] I-Shih Liu. *Continuum mechanics*. Springer Science & Business Media, 2013.
- 1342 [64] Ariel Livne, Eran Bouchbinder, and Benjamin Geiger. Cell reorientation under cyclic
1343 stretching. *Nature communications*, 5(1):1–8, 2014.
- 1344 [65] Giulio Lucci, Chiara Giverso, and Luigi Preziosi. Cell orientation under stretch:
1345 Stability of a linear viscoelastic model. *Mathematical Biosciences*, 337:108630, 2021.

- 1346 [66] Giulio Lucci and Luigi Preziosi. A nonlinear elastic description of cell preferential orientations over a stretched substrate. *Biomechanics and Modeling in Mechanobiology*, 20(2):631–649, 2021.
- 1347
1348
- 1349 [67] Tianjiao Mao, Yingning He, Yexin Gu, Yuqian Yang, Yue Yu, Xinlei Wang, and Jiandong Ding. Critical frequency and critical stretching rate for reorientation of cells on a cyclically stretched polymer in a microfluidic chip. *ACS Applied Materials & Interfaces*, 13(12):13934–13948, 2021.
- 1350
1351
1352
- 1353 [68] Enrico Marchi and Antonello Rubatta. *Meccanica dei fluidi: principi e applicazioni idrauliche*. Utet, 2000.
- 1354
- 1355 [69] Jerrold E Marsden and Thomas JR Hughes. *Mathematical foundations of elasticity*. Courier Corporation, 1994.
- 1356
- 1357 [70] Takeo Matsumoto, Patrice Delafontaine, Karen J Schnetzer, Betty C Tong, and Robert M Nerem. Effect of uniaxial, cyclic stretch on the morphology of monocytes/macrophages in culture. 1996.
- 1358
1359
- 1360 [71] Masataka Morioka, Harikrishnan Parameswaran, Keiji Naruse, Masashi Kondo, Masahiro Sokabe, Yoshinori Hasegawa, Béla Suki, and Satoru Ito. Microtubule dynamics regulate cyclic stretch-induced cell alignment in human airway smooth muscle cells. *PloS one*, 6(10):e26384, 2011.
- 1361
1362
1363
- 1364 [72] Kazuaki Nagayama, Yuki Kimura, Narutaka Makino, and Takeo Matsumoto. Strain waveform dependence of stress fiber reorientation in cyclically stretched osteoblastic cells: effects of viscoelastic compression of stress fibers. *American journal of physiology-cell physiology*, 302(10):C1469–C1478, 2012.
- 1365
1366
1367
- 1368 [73] C Neidlinger-Wilke, E Grood, L Claes, and R Brand. Fibroblast orientation to stretch begins within three hours. *Journal of Orthopaedic Research*, 20(5):953–956, 2002.
- 1369
- 1370 [74] Ray W Ogden. Nonlinear elasticity, anisotropy, material stability and residual stresses in soft tissue. In *Biomechanics of soft tissue in cardiovascular systems*, pages 65–108. Springer, 2003.
- 1371
1372
- 1373 [75] Raymond William Ogden. Large deformation isotropic elasticity—on the correlation of theory and experiment for incompressible rubberlike solids. *Proceedings of the Royal Society of London. A. Mathematical and Physical Sciences*, 326(1567):565–584, 1972.
- 1374
1375
- 1376 [76] RW Ogden and E Sternberg. Nonlinear elastic deformations. 1985.
- 1377 [77] Tobias Olsson and Anders Klarbring. Residual stresses in soft tissue as a consequence of growth and remodeling: application to an arterial geometry. *European Journal of Mechanics-A/Solids*, 27(6):959–974, 2008.
- 1378
1379
- 1380 [78] Tobias Olsson and J Stålhand A Klarbring. Modeling initial strain distribution in soft tissues with application to arteries. *Biomechanics and Modeling in Mechanobiology*, 5(1):27–38, 2006.
- 1381
1382

- 1383 [79] Daniel J O'Shea, Mario M Attard, and David C Kellermann. Hyperelastic constitutive
1384 modelling for transversely isotropic composites and orthotropic biological tissues.
1385 *International Journal of Solids and Structures*, 169:1–20, 2019.
- 1386 [80] Paolo Podio-Guidugli. On the aggregation state of simple materials. *Mathema-*
1387 *tical modeling of bodies with complicated bulk and boundary behavior*, *Quaderni di*
1388 *Matematica*, 20:159–168, 2007.
- 1389 [81] RS Rivlin. Forty years of non-linear continuum mechanics. In *Collected Papers of*
1390 *RS Rivlin*, pages 2783–2811. Springer, 1997.
- 1391 [82] Amir Roshanzadeh, Tham Thi Nguyen, Khoa Dang Nguyen, Dong-Su Kim, Bong-Kee
1392 Lee, Dong-Weon Lee, and Eung-Sam Kim. Mechanoadaptive organization of stress
1393 fiber subtypes in epithelial cells under cyclic stretches and stretch release. *Scientific*
1394 *reports*, 10(1):1–14, 2020.
- 1395 [83] Lee A Segel and George H Handelman. *Mathematics applied to continuum mechanics*.
1396 SIAM, 2007.
- 1397 [84] Dimitrije Stamenović and Donald E Ingber. Tensegrity-guided self assembly: from
1398 molecules to living cells. *Soft Matter*, 5(6):1137–1145, 2009.
- 1399 [85] Paul Steinmann. Views on multiplicative elastoplasticity and the continuum theory of
1400 dislocations. *International Journal of Engineering Science*, 34(15):1717–1735, 1996.
- 1401 [86] Charles K Thodeti, Benjamin Matthews, Arvind Ravi, Akiko Mammoto, Kaustabh
1402 Ghosh, Abigail L Bracha, and Donald E Ingber. Trpv4 channels mediate cyclic
1403 strain-induced endothelial cell reorientation through integrin-to-integrin signaling.
1404 *Circulation research*, 104(9):1123–1130, 2009.
- 1405 [87] Abhishek Tondon, Hui-Ju Hsu, and Roland Kaunas. Dependence of cyclic stretch-
1406 induced stress fiber reorientation on stretch waveform. *Journal of biomechanics*,
1407 45(5):728–735, 2012.
- 1408 [88] Abhishek Tondon and Roland Kaunas. The direction of stretch-induced cell and
1409 stress fiber orientation depends on collagen matrix stress. *PloS one*, 9(2):e89592,
1410 2014.
- 1411 [89] Clifford Truesdell and Walter Noll. The non-linear field theories of mechanics. In
1412 *The non-linear field theories of mechanics*, pages 1–579. Springer, 2004.
- 1413 [90] Ramesh N Vaishnav and Jafar Vossoughi. Estimation of residual strains in aortic
1414 segments. In *Biomedical engineering II*, pages 330–333. Elsevier, 1983.
- 1415 [91] Nicolas Van Goethem. The non-riemannian dislocated crystal: a tribute to ekkehart
1416 kr\ " oner (1919-2000). *arXiv preprint arXiv:1010.3655*, 2010.
- 1417 [92] Huicong Wang, Wallace Ip, Raymond Boissy, and Edward S Grood. Cell orientation
1418 response to cyclically deformed substrates: experimental validation of a cell model.
1419 *Journal of biomechanics*, 28(12):1543–1552, 1995.

- 1420 [93] James H-C Wang, Pascal Goldschmidt-Clermont, Jeremiah Wille, and Frank C-P
1421 Yin. Specificity of endothelial cell reorientation in response to cyclic mechanical
1422 stretching. *Journal of biomechanics*, 34(12):1563–1572, 2001.
- 1423 [94] James H-C Wang, Pascal Goldschmidt-Clermont, and Frank C-P Yin. Contractility
1424 affects stress fiber remodeling and reorientation of endothelial cells subjected to cyclic
1425 mechanical stretching. *Annals of biomedical engineering*, 28(10):1165–1171, 2000.
- 1426 [95] James H-C Wang, Guoguang Yang, Zhaozhu Li, and Wei Shen. Fibroblast responses
1427 to cyclic mechanical stretching depend on cell orientation to the stretching direction.
1428 *Journal of biomechanics*, 37(4):573–576, 2004.
- 1429 [96] James HC Wang and Edward S Grood. The strain magnitude and contact guidance
1430 determine orientation response of fibroblasts to cyclic substrate strains. *Connective
1431 tissue research*, 41(1):29–36, 2000.
- 1432 [97] Jeremiah J Wille, Christina M Ambrosi, and Frank CP Yin. Comparison of the effects
1433 of cyclic stretching and compression on endothelial cell morphological responses. *J.
1434 Biomech. Eng.*, 126(5):545–551, 2004.
- 1435 [98] Guang-Kui Xu, Bo Li, Xi-Qiao Feng, and Huajian Gao. A tensegrity model of cell
1436 reorientation on cyclically stretched substrates. *Biophysical journal*, 111(7):1478–
1437 1486, 2016.
- 1438 [99] Lei Zhang, Cyril JF Kahn, Huai-Qing Chen, Nguyen Tran, and Xiong Wang. Effect
1439 of uniaxial stretching on rat bone mesenchymal stem cell: orientation and expressions
1440 of collagen types i and iii and tenascin-c. *Cell biology international*, 32(3):344–352,
1441 2008.